UNIVERSIDADE TECNOLÓGICA	FEDERAL	DO PARANA	Á

JHONATAS WILLIAN GONÇALVES DE MORAES

PROJETO E DESENVOLVIMENTO DE UM VEÍCULO AUTÔNOMO DE SUPERFÍCIE PARA COLETA DE AMOSTRAS DE ÁGUA

APUCARANA

JHONATAS WILLIAN GONÇALVES DE MORAES

PROJETO E DESENVOLVIMENTO DE UM VEÍCULO AUTÔNOMO DE SUPERFÍCIE PARA COLETA DE AMOSTRAS DE ÁGUA

Design and Development of an Autonomous Surface Vehicle to Collect Water Samples

Trabalho de Conclusão de Curso de Graduação apresentado como requisito para obtenção do título de Bacharel em Engenharia Elétrica do Curso de Bacharelado em Engenharia Elétrica da Universidade Tecnológica Federal do Paraná.

Orientador: Prof. Dr. Thales Eugenio Portes de Almeida

APUCARANA 2023



Esta licença permite remixe, adaptação e criação a partir do trabalho, para fins não comerciais, desde que sejam atribuídos créditos ao(s) autor(es) e que licenciem as novas criações sob termos idênticos. Conteúdos elaborados por terceiros, citados e referenciados nesta obra não são cobertos pela licença.

JHONATAS WILLIAN GONÇALVES DE MORAES

PROJETO E DESENVOLVIMENTO DE UM VEÍCULO AUTÔNOMO DE SUPERFÍCIE PARA COLETA DE AMOSTRAS DE ÁGUA

Trabalho de Conclusão de Curso de Graduação apresentado como requisito para obtenção do título de Bacharel em Engenharia Elétrica do Curso de Bacharelado em Engenharia Elétrica da Universidade Tecnológica Federal do Paraná.

Data de aprovação: 15/junho/2023

Thales Eugenio Portes de Almeida Doutor em Engenharia Elétrica Universidade Tecnológica Federal do Paraná - Campus Apucarana

Fernando Barreto Doutor em Engenharia Elétrica e Informática Industrial Universidade Tecnológica Federal do Paraná - Campus Apucarana

Vinícius Dário Bacon Doutor em Engenharia Elétrica Universidade Tecnológica Federal do Paraná - Campus Apucarana

> APUCARANA 2023

Dedico este trabalho aos meus pais, Janethe e Jorge que me apoiaram com os estudos antes e durante toda a graduação. Dedico também a minha tia Leontina e ao meu tio Cláudio por estarem comigo em um dos momentos mais difíceis de minha vida, e também por me levantarem para continuar a minha carreira.

AGRADECIMENTOS

Agradeço primeiramente a Deus por me dar forças e motivação para concluir este trabalho dentro de minhas expectativas podendo demonstrar todo o esforço realizado em sua construção. Agradeço principalmente a minha família por enfrentarem junto comigo as dificuldades de distância e os desafios que foram passados durante todo o período de graduação.

Agradeço ao meu orientador Prof. Dr. Thales Eugênio Portes de Almeida pela orientação com a ideia inicial deste trabalho, atendendo as expectativas de desenvolvimento de produto. Agradeço aos meus amigos mais próximos Arthur Higino, Beatriz Martins, Mateus Milanez, Matheus Marques, Michael Nunes e Samuel Oliveira pelos bons momentos de estudos e diversão em que passamos juntos durante a graduação.

Agradeço também a coordenação de engenharia elétrica por sempre proporcionar desafios que trouxessem boas experiencias na formação de um engenheiro com as soluções aplicadas.

RESUMO

Com o cenário de evolução das tecnologias de geolocalização e automatização de processos torna-se mais importante a aplicação destas tecnologias em projetos que são capazes de uni-las de maneira concisa. O projeto apresentado neste trabalho consiste na construção de um veículo autônomo de superfície capaz de coletar amostras de água e informações sobre as condições climáticas em determinadas coordenadas. O veículo é equipado com sensores de temperatura, pressão atmosférica e umidade relativa do ar, além de um GPS e um magnetômetro, onde juntos são capazes de registrar em um cartão micro SD um pequeno relatório dos dados obtidos. A metodologia utilizada para a construção do veículo incluiu a seleção dos componentes necessários, a fabricação das peças em impressão 3D, a montagem dos componentes e a programação do sistema de controle. Foram realizados testes em piscina e lago para avaliar o desempenho do veículo, e os resultados foram satisfatórios. O projeto apresentado neste trabalho é uma demonstração do potencial das tecnologias de geolocalização e automatização de processos aplicadas a projetos de coleta de dados ambientais. A utilização de sensores e tecnologias já conhecidas em um modelo de estudo pode ser replicada em outras aplicações, contribuindo para o desenvolvimento de soluções sustentáveis e eficientes para o monitoramento ambiental.

Palavras-chave: veículos autônomos; água - qualidade - medição; motores; sistema de posicionamento global; engenharia de protótipos .

ABSTRACT

With the scenario of evolution of geolocation technologies and process automation, the application of these technologies in projects that are able to unite them in a concise way becomes more important. The project presented in this work consists of the construction of an autonomous surface vehicle capable of collecting water samples and information on weather conditions at certain coordinates. The vehicle is equipped with temperature, atmospheric pressure and relative humidity sensors, in addition to a GPS and a magnetometer, which together are capable of recording a small report of the data obtained on a microSD card. The methodology used to build the vehicle included selecting the necessary components, manufacturing the parts in 3D printing, assembling the components and programming the control system. Tests were carried out in swimming pool and lake to evaluate the vehicle's performance, and the results were satisfactory. The project presented in this work is a demonstration of the potential of geolocation technologies and process automation applied to environmental data collection projects. The use of already known sensors and technologies in a study model can be replicated in other applications, contributing to the development of sustainable and efficient solutions for environmental monitoring.

Keywords: automated vehicles; water quality - measurement; motors; global positioning system; prototypes, engineering.

LISTA DE FIGURAS

Figura 1 – Construção da barragem da usina de Itaipu.	15
Figura 2 – Posição dos satélites para triangularização	20
Figura 3 – Diferença do polo norte geográfico e o polo norte magnético	21
Figura 4 – Mapa indicando a variação de declinação magnética ao longo do	
globo	22
Figura 5 – Influência da interferência ferro duro.	23
Figura 6 – Influência da interferência ferro macio.	23
Figura 7 – Display OLED 128x64.	28
Figura 8 – Módulo GPS	28
Figura 9 – Módulo Magnetômetro QMC5883L	29
Figura 10 – Flutuadores de espuma de polietileno cortados.	31
Figura 11 – Vista frontal do motor sem escova com a hélice	32
Figura 12 – Vista traseira do motor sem escova.	33
Figura 13 – Controlador eletrônico de velocidade usado no projeto	33
Figura 14 – Impressora 3D utilizada na confecção de peças para o projeto	34
Figura 15 – Circuito com optoacopladores e mosfets.	35
Figura 16 – Circuito para sensor DS18S20.	36
Figura 17 – Tela de abertura desenhada	37
Figura 18 – Display OLED mostrando a tela de abertura	37
Figura 19 – Ícone de Bandeira.	38
Figura 20 – Ícone de bússola.	38
Figura 21 – Ícone de cartão de memória.	38
Figura 22 – Ícone para ajuste do parâmetro de controle P	38
Figura 23 – Ícone para ajuste do parâmetro de controle I	39
Figura 24 – Ícone para ajuste do parâmetro de controle D	39
Figura 25 – Ícone para ajuste do parâmetro de velocidade máxima	39
Figura 26 – Ícone da tela de informações.	39
Figura 27 – Ícone da tela para testes.	39
Figura 28 – Ícone para ação dos motores individualmente.	40
Figura 29 – Estrutura de suporte dos motores e espumas.	40

Figura 30 – Anel de sustentação.	41
Figura 31 – Chassi de união central.	41
Figura 32 – Chassi superior.	42
Figura 33 – Caixa das placas.	43
Figura 34 – Caixa das baterias.	43
Figura 35 – Caixa das bombas de água.	44
Figura 36 – Suporte de garrafas.	45
Figura 37 – Tampa para garrafa com respiro.	45
Figura 38 – Alojamento para magnetômetro (QMC5883) e sensor de umidade,	
temperatura e pressão (BME280)	46
Figura 39 – Suporte para barra de rosca em forma de X	47
Figura 40 – Alojamento mangueiras e sensor de temperatura.	47
Figura 41 – Montagem de todos os elementos por meio de software	48
Figura 42 – Curvas amostradas e corrigidas obtidas com magnetômetro	50
Figura 43 – Modelo de sistema semelhante ao encontrado no projeto	52
Figura 44 – Planilha com interface gráfica por VBA construída	55
Figura 45 – Vista superior da placa montada com os componentes	57
Figura 46 – Verso da placa montada com os componentes	58
Figura 47 – Montagem das duas primeiras bombas na caixa	58
Figura 48 – Bombas montadas com a trava central e a trava superior	59
Figura 49 – Bombas montadas na caixa e seladas com silicone.	60
Figura 50 – Flutuadores montados nos anéis de sustentação	61
Figura 51 – Vista lateral destacando os flutuadores e um dos motores	61
Figura 52 – Suporte de garrafas montado	62
Figura 53 – Montagem do suporte das garrafas com as garrafas posicionadas.	62
Figura 54 – Vista interna do sensor BME280	63
Figura 55 – Vista superior com o sensor posicionado e tampa montada	64
Figura 56 – Vista do suporte de mangueiras e sensor montado.	65
Figura 57 – Vista isométrica do projeto montado.	65
Figura 58 – Dados obtidos de posição e distancia do alvo.	67
Figura 59 – Coordenadas amostradas e apontadas	68

Figura 60 – Esquema de posicionamento do veículo para simulação de coleta	
de água.	69
Figura 61 – Piscina em que foi realizado o primeiro teste em água	70
Figura 62 – Veículo posicionado dentro da piscina.	70
Figura 63 – Altura de submersão do veículo.	71
Figura 64 – Vista do lago do Recanto Fritzke por satélite.	72
Figura 65 – Rota programada para o primeiro teste no lago	73
Figura 66 – Veículo durante o processo de navegação	74
Figura 67 – Rota do veículo durante a navegação do primeiro teste no lago	74
Figura 68 – Dados obtidos com a amostragem do primeiro teste no lago	75
Figura 69 – Diferença dos ângulos apontados para os ângulos alvos durante o	
primeiro teste no lago.	76
Figura 70 – Amostragem dos valores de erro durante o primeiro teste no lago.	77
Figura 71 – Amostra de água coletada do lago	78
Figura 72 – Rota programada para o segundo teste no lago	79
Figura 73 – Rota do veículo durante a navegação do segundo teste no lago	80
Figura 74 – Dados obtidos com a amostragem do segundo teste no lago	81
Figura 75 – Diferença dos ângulos apontados para os ângulos alvos durante o	
segundo teste no lago.	82
Figura 76 – Amostragem dos valores de erro durante o segundo teste no lago.	83
Figura 77 – Veículo armazenado dentro do baú da moto para transporte	84
Figura 78 – Local em que houve o dano durante transporte	84

LISTA DE TABELAS

Tabela 1 – Lista de materiais	56
Tabela 2 – Pontos de alvo para o primeiro teste no estacionamento	66
Tabela 3 – Relatório de amostras no primeiro teste (estacionamento)	67
Tabela 4 – Pontos de alvo para o primeiro teste no lago	73
Tabela 5 – Relatório de amostras do primeiro teste no lago.	77
Tabela 6 – Pontos de alvo para o segundo teste no lago	78
Tabela 7 – Relatório de amostras do segundo teste no lago.	80
Tabela 8 – Dados das células de baterias.	83

LISTA DE ABREVIATURAS E SIGLAS

Siglas

BLDC Brushless Direct Curent

CAD Computer Aided Design

CETES Companhia Ambiental do Estado de São Paulo

EEPROM Electrically-Erasable Programmable Read-Only Memory

ESC Electronic Speed Controller

GPS Global Positioning System

12C Inter-Integrated Circuit

IOC Initial Operational Capabiliy

OLED Organic Light-Emitting Diode

PID Proporcional Integral Derivativo

PVC Policloreto de Vinila

SD Secure Digital

SPI Serial Peripheral Interface

SWATH Small Waterplane Area Twin Hull

WMM World Magnetic Model

SUMÁRIO

1	INTRODUÇÃO	14
1.1	Objetivos	16
1.1.1	Objetivo geral	16
1.1.2	Objetivo específico	16
1.2	Justificativa	17
1.3	Estrutura do trabalho	18
2	REFERENCIAL TEÓRICO	19
2.1	GPS e Geolocalização	19
2.2	Orientação magnética	20
2.3	Princípio de Arquimedes	23
2.4	Controle PID	24
3	MATERIAIS E MÉTODOS	26
3.1	Materiais	26
3.1.1	Microcontrolador escolhido	26
3.1.2	Linguagem de programação	26
3.1.3	Bibliotecas	27
3.1.3.1	U8g2	27
3.1.3.2	TinyGPSPlus	27
3.1.3.3	QMC5883L Compass	28
3.1.3.4	ESP32 Servo	29
3.1.3.5	Adafruit BME280	29
3.1.3.6	Dallas Temperature	30
3.1.3.7	Bibliotecas nativas	30
3.1.4	Solução para flutuação e modelo de casco utilizado	30
3.1.5	Sistema de propulsão	31
3.1.6	Software de desenho 3D	33
3.1.7	Impressão 3D	34
3.2	Métodos	35
3.3	Elaboração dos circuitos eletrônicos	35
3.3.1	Subcircuito de mosfets	35

3.3.2	Sub circuito para uso do sensor de temperatura da água DS18S20	36
3.4	Construção do menu de interface	36
3.4.1	Tela de abertura	36
3.4.2	Ícones de menu	37
3.5	Modelagem e construção mecânica	40
3.5.1	Estrutura dos Motores e Espuma	40
3.5.2	Chassi de união central	41
3.5.3	Chassi superior	42
3.5.4	Caixa para as placas	42
3.5.5	Caixa para as baterias	42
3.5.6	Caixa para as bombas	44
3.5.7	Suporte e tampas para garrafas	45
3.5.8	Alojamento para magnetômetro e sensor de temperatura, umidade e pressão	46
3.5.9	Suporte para mangueiras e sensor de temperatura da água	46
3.5.10	Montagem dos modelos projetados	47
3.6	Algoritmos implementados no projeto	48
3.6.1	Rotina de calibração do magnetômetro	48
3.6.2	Calculo de angulo com relação ao norte geográfico	49
3.6.3	Leitura de coordenadas do cartão micro SD	50
3.6.4	Cálculo da direção entre a coordenada atual e coordenada alvo e a respec-	
	tiva distância	51
3.6.5	Controle de direção	51
3.6.6	Algoritmo para realização de atividades nos pontos escolhidos	53
3.6.7	Algoritmo de navegação	54
3.7	Programa criado em VBA e excel para a entrada de coordenadas	54
4	RESULTADOS	56
4.1	Montagem da placa	57
4.2	Montagem das bombas	58
4.3	Montagem dos flutuadores e motores	60
4.4	Montagem dos suportes de garrafas	61
4.5	Montagem do suporte do magnetômetro e sensor de temperatura,	
	umidade e pressão	62
		•

4.6	Montagem do suporte de mangueiras e sensor de temperatura 6	4
4.7	Montagem final	5
4.8	Testes em ambiente seguro (sem água) 6	6
4.8.1	Primeiras dificuldades encontradas	7
4.9	Testes fora da água para ajuste do tempo das bombas 6	8
4.10	Testes em piscina pequena com água 6	9
4.10.1	Dificuldades encontradas o teste realizado em água dentro de piscina 7	1
4.11	Testes do veículo em condições reais	2
4.11.1	Primeiro teste no lago	2
4.11.2	Segundo teste no lago	6
4.11.3	Desempenho das baterias	2
4.11.4	Dificuldades encontradas para os testes no lago	3
5	CONCLUSÃO 8	6
	REFERÊNCIAS	7
	APÊNDICE A DIAGRAMA E SILK PCB DA PLACA PRINCIPAL 9	1
	APÊNDICE B DIAGRAMA E SILK PCB DA PLACA DE IN-	
	TERFACE 9	5
	APÊNDICE C DIAGRAMA E SILK PCB DA PLACA DAS BA-	
	TERIAS9	9
	APÊNDICE D CÓDIGO ESCRITO PARA O PROGRAMA 10	3

1 INTRODUÇÃO

O escopo do trabalho apresentado é estudar o desenvolvimento do projeto de um veículo autônomo de superfície do qual tem como objetivo melhorar a qualidade de amostragem de água em reservatórios sem perturbação. Com um embasamento de desenvolvimento de mínimo produto viável, é importante estabelecer alguns objetivos e metas no estudo deste trabalho, onde o projeto precisa atender as necessidades básicas estipuladas e trazer ao respectivo usuário a possibilidade de realizar com sucesso o que é esperado sem grandes dificuldades. Ao levar isso em conta, espera-se que o projeto final seja capaz de com algumas instruções navegar do ponto A ao ponto B sucessivamente até a quantidade de pontos desejada e depois retornar a sua origem, podendo o número de destinos ser configurado e ajustado conforme a necessidade. Por fim, também deve ser possível em cada um dos pontos de parada coletar medições de temperatura, pressão, umidade relativa, e marcar a posição em que foi feita cada uma das medidas bem como ser capaz de realizar amostragem de água nos pontos escolhidos.

Atualmente os veículos autônomos são usados para diversas aplicações, como pode ser visto em carros autônomos que fazem entregas (RINALDI, 2021) ou então em atividades até mais complexas que consistem em transportar passageiros por meio de serviço de táxi ou similar como tem sido iniciado pela Ford nos Estados Unidos (Sá, 2021).

Fazendo um paralelo com o que acontece com os carros, os veículos autônomos de superfície (VAS) também estão em desenvolvimento a um tempo, sendo que já é possível encontrar projetos como o apresentado pela Holos Brasil (SILVEIRA, 2017), onde consiste de um modelo que possui módulos fotovoltaicos que dão a possibilidade do veículo passar longos períodos navegando sem precisar parar para recarregar as suas baterias. Veículos Autônomos de superfície vem sendo colocados em pauta, já que a sua existência proporciona operações que antes seriam perigosas e custosas de tempo para atividades mais simples que precisam ser direcionadas e precisas (RASHID *et al.*, 2022).

A coleta de amostras de água se torna interessante quando se coloca como temática a necessidade de monitorar a qualidade da água de diversos pontos com uma certa variedade de dados e com uma grande diversidade de ambientes para o mesmo efluente, sendo que cada ponto do efluente pode mostrar um comportamento diferente quando comparados entre si (JUNIOR; LIMA; OLIVEIRA, 2012).

Quando existe a construção de barragens em reservatórios ocorre uma mudança na geografia no local, sendo que começa a ser demonstrada uma diferença de como as substâncias são sedimentadas e distribuídas ao longo do reservatório de água. Um dos eventos em que isso se tornou um fator que pode ser considerado foi durante a construção da barragem da usina hidroelétrica de Itaipu conforme visto na Figura 1.

Uma das formas de se tornar possível a operação de um veículo autônomo é demostrada por Almeida (2014), apresentando uma abordagem de uso de sensores de baixo custo, usando

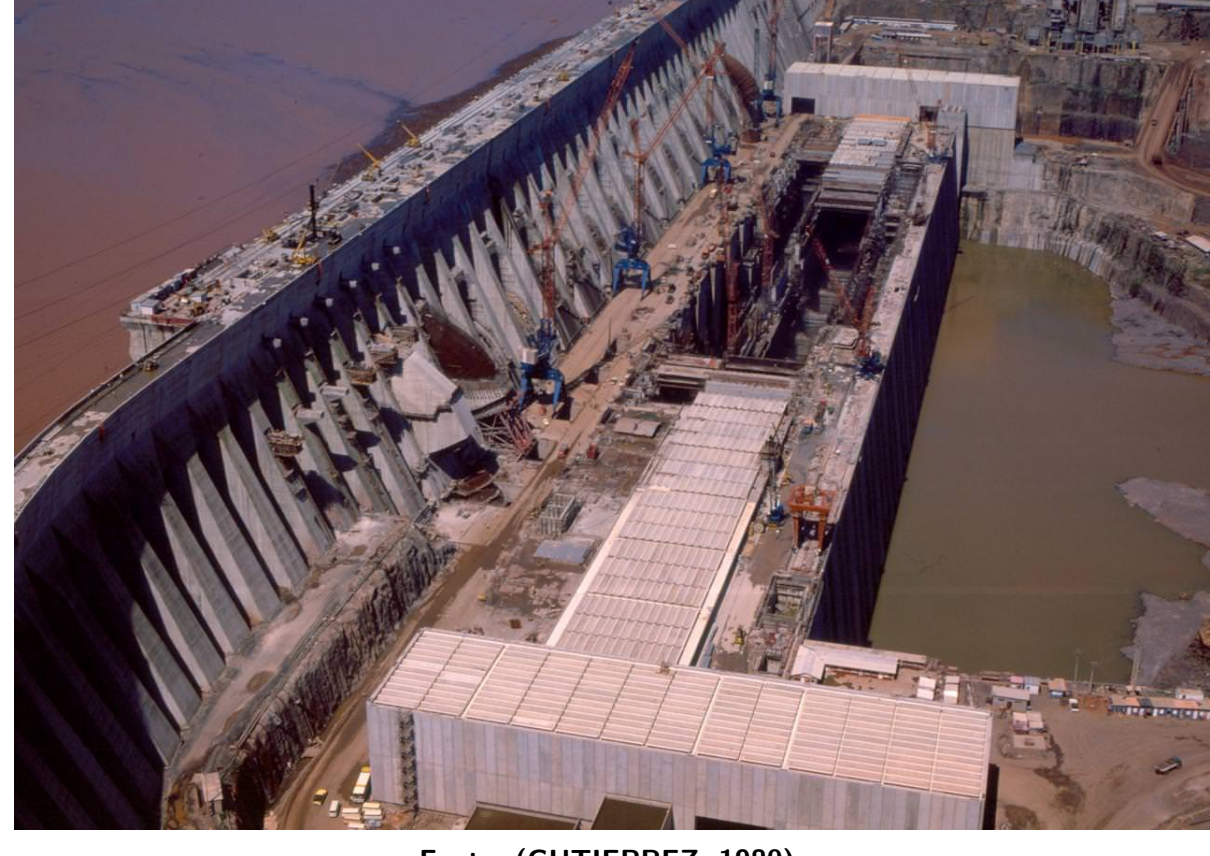


Figura 1 - Construção da barragem da usina de Itaipu.

Fonte: (GUTIERREZ, 1980).

tecnologia MEMS, com altas taxas de ruído e assim apresentando os métodos de filtragem. Neste caso o veículo possui a forma de trimarã, garantindo a sua estabilidade na navegação.

Também é apresentado por Oliveira (2021) uma outra maneira de se realizar a construção do veículo de superfície, porém o trabalho realizado mostra a construção do veículo controlado a distância, onde neste caso depende completamente de ter um operador mesmo que a distância dedicado a controlar o veículo durante a sua operação.

Outro trabalho interessante é o mostrado por Martins (2020) onde o autor também faz a construção do veículo autônomo fazendo do uso de um modelo de casco diferenciado, e também usando um motor de barco de maior porte. Um ponto importante a se observar neste trabalho é a funcionalidade de se coletar amostras de água por meio de bombas, e assim trazer de volta ao usuário as amostras coletadas não as testando diretamente no local como os demais trabalhos vistos.

O projeto mostrado por Amran et al. (2021) aborda um modelo de veículo subaquático que é capaz de realizar amostragem diretamente no local em que o veículo está por meio de sensores de pH, turbidez da água e temperatura. Este tem por vantagem poder verificar diretamente as amostras sem a interferência de ter carregado elas até o usuário, e assim não corrompendo as amostras por variações de características como por exemplo, a temperatura.

De forma a mostrar algumas aplicações deste trabalho, pode-se tomar como base a portaria de consolidação nº 5 (SAÚDE, 2017) da qual se discute a forma em que os parâmetros da água potável devem ser avaliados. Dentro dos parâmetros avaliados estão as características físicas, químicas e biológicas, onde os parâmetros físicos são a cor e a turbidez, os parâmetros químicos são o pH, o cloro livre e o fluoreto, e os biológicos representando a presença de coliformes totais no reservatório de água, sendo que todos estes na água potável devem estar dentro dos limites especificados pela portaria fazendo os testes e amostragens nas respectivas periodicidades citadas no documento.

Periodicamente, órgãos como a CETESB (ANA; CETESB, 2011) realizam o controle de amostragem de reservatórios com o intuito de avaliar a qualidade da água que está presente no local. Tal amostragem costuma ser feita sobre pontes, nas margens do reservatório, ou então por meio de embarcações tripuladas, onde a coleta é realizada de forma manual pelos operadores. Esta operação pode se tornar um pouco arriscada devido a necessidade do acesso humano no reservatório, bem como custosa devido a necessidade de locomoção de equipamentos e embarcações para o local de amostragem.

1.1 Objetivos

1.1.1 Objetivo geral

Mostrar o desenvolvimento de um projeto de um veículo autônomo de superfície, desde a sua concepção, desenhos, estrutura, programação e testes finais de modo que seja possível entender as tecnologias aplicadas reforçando e praticando as habilidades de engenharia em planejar e corrigir possíveis problemas durante a sua execução. Todos os procedimentos de rotinas elaboradas para o projeto serão realizado por meio de algoritmos de controle e atuação.

1.1.2 Objetivo específico

Traçando os objetivos específicos deste trabalho, é necessário fazer um estudo e projeto de construção de um Veículo Autônomo de Superfície tendo em vista a introdução de elementos para geolocalização e orientação espacial sobre corpos d'água rasos e sem turbulências significativas. Dessa forma, planeja-se usar do recurso de automação do veículo para coletar amostras de água em reservatórios para posterior análise em laboratório, bem como dados estáticos de temperatura, umidade relativa e pressão atmosférica no instante da coleta. Dessa forma devem ser satisfeitos os seguintes objetivos específicos:

Apresentar e justificar as tecnologias de comunicação utilizadas;

- Condicionar os dados fornecidos pelos sensores para que seja possível obter coordenadas de posição e orientação;
- Tornar possível a programação de missões em que o veículo fará a coleta de amostras na região escolhida;
- Validar a capacidade de autonomia do veículo, capacidade de controlar direções mesmo com pequenas perturbações, e de retorno ao ponto de origem.

Com estes objetivos alcançados, há a possibilidade de em trabalhos futuros atender maiores especificações e demandas de possíveis novas aplicações para o projeto.

1.2 Justificativa

Apresentar o projeto como solução para atender a atual demanda existente de se monitorar a qualidade de água em reservatórios diminuindo os custos necessários e aumentando a segurança para os operadores, bem como aumentar a quantidade de informações obtidas de um determinado local com poucas operações. Também aplicar os conhecimentos adquiridos durante a formação em bacharel em engenharia elétrica focando na aplicação de conceitos de eletrônica, desenvolvimento de produtos e projetos, programação e física.

O processo de amostragem de água em reservatórios para controle de qualidade pode ser uma tarefa complicada por diversos fatores, sendo alguns deles:

- Contaminação;
- Variação temporal;
- Dificuldades de acesso;
- Dificuldades na preservação das amostras;
- Custos;
- Habilidade técnica.

Destas dificuldades, a maioria delas pode ser constante no processo de amostragem de água, sendo que além de tudo, é uma atividade que pode tomar demasiado tempo em sua execução. Visando solucionar alguns destes problemas torna-se interessante a aplicação de veículos autônomos de superfície neste tipo de atividade, onde o veículo é capaz de ter uma boa acuracidade na coleta dos dados, ter uma velocidade de coleta razoável, necessitar de menos habilidade técnica dos operadores, além de dar maior segurança aos que são interessados na amostragem das respectivas fontes. As operações do veículo podem ser todas construídas por meio de algoritmos computacionais de controle e operação, dando assim a automatização de todos os processos usados no projeto.

1.3 Estrutura do trabalho

O presente trabalho se divide em capítulos com a revisão de todo o conteúdo mais fundamental do trabalho, sendo visto no capítulo 2, abordando alguns pontos sobre a orientação do veículo autônomo de superfície e um pouco sobre a técnica de controle, seguindo a discussão com os materiais e métodos no capítulo 3, onde são abordados todos os elementos escolhidos para a construção do trabalho, bem como a apresentação das etapas desenvolvidas para a montagem do projeto. Ainda neste capítulo é apresentado como que os recursos já apresentados são encaixados de forma que sejam capazes de atender as necessidades do projeto. Por fim, no capítulo 4 são apresentados os resultados do processo de construção e testes do projeto em algumas condições de operação, bem como as dificuldades encontradas em cada uma das etapas, e finalizando o trabalho com o texto apresentado no capítulo 5 dando os apontamentos finais de todo o projeto realizado e discutido ao longo do texto.

2 REFERENCIAL TEÓRICO

Para realizar os primeiros estudos de viabilidade de aplicação, foi necessário o entendimento de algumas tecnologias como GPS, magnetômetro, e alguns conceitos físicos de corpos flutuantes em meios aquáticos.

2.1 GPS e Geolocalização

O GPS (Global Positioning System) é um sistema de navegação por satélite que permite determinar a localização geográfica exata de um objeto, pessoa ou veículo em qualquer lugar do planeta. O sistema é composto por uma rede de satélites orbitando a Terra, estações de controle em solo e receptores GPS que estão localizados nos dispositivos utilizados pelos usuários. O funcionamento do GPS é baseado no conceito de triangulação e os satélites GPS transmitem sinais de rádio que contêm informações sobre sua posição e hora (ZOGG, 2009). O receptor GPS no dispositivo do usuário recebe os sinais de pelo menos quatro satélites e, a partir das informações contidas nesses sinais, é capaz de determinar a distância entre o receptor e cada um dos satélites. Usando a técnica de triangulação, o receptor pode então calcular sua própria posição geográfica com uma precisão menor que 20 metros, levando em consideração as informações de distância dos satélites. Para isso, o receptor precisa de informações precisas sobre a posição dos satélites, bem como do tempo exato em que os sinais foram emitidos. Os satélites GPS estão equipados com relógios atômicos altamente precisos que permitem que eles sincronizem seus sinais com um alto grau de precisão. O receptor GPS, por sua vez, possui um relógio interno que é sincronizado com o sinal do satélite. A partir das informações de distância e do tempo sincronizado, o receptor pode calcular sua posição geográfica com grande precisão. O GPS é utilizado em diversas aplicações, desde navegação veicular até aeronáutica, mapeamento, geodésia, monitoramento ambiental, entre outras. Atualmente, existem também dispositivos portáteis que integram GPS, como smartphones e relógios inteligentes, permitindo que qualquer pessoa possa determinar sua localização em qualquer lugar do mundo.

Basicamente o GPS opera comparando as diferenças entre o tempo em que o sinal foi emitido e o tempo em que o sinal foi recebido. Sabendo a velocidade de transmissão do sinal, e com mais de uma fonte de sinal, é possível saber por meio de triangularização em qual ponto um dispositivo está. O conceito é semelhante ao que acontece durante uma tempestade com raios, em que com o instante em que é visto o relâmpago, e com o tempo que leva até ouvi-lo é possível estimar a distancia do ponto atual até o ponto que foi atingido pelo raio em questão.

De acordo com o que é introduzido por (EL-RABBANY, 2002), um sistema de GPS válido é composto por um conjunto de pelo menos 24 satélites dos quais compõem uma constelação, sendo esta a capacidade operacional inicial, conhecida por IOC (*Initial Operational*

Capabiliy). A IOC foi finalizada em 1993, onde é distribuída por 4 satélites em cada um dos seis planos orbitais do planeta Terra.

Com isso, é importante levar em conta que para se ter informações de latitude e longitude é necessária a conexão com pelo menos 3 satélites, e caso a altitude também precise ser conhecida, é necessário a conexão com 4 satélites. Uma ilustração disso pode ser visto na Figura 2. Com as informações de Latitude e Longitude é possível calcular distâncias e até mesmo realizar medidas geográficas com uma precisão razoável.

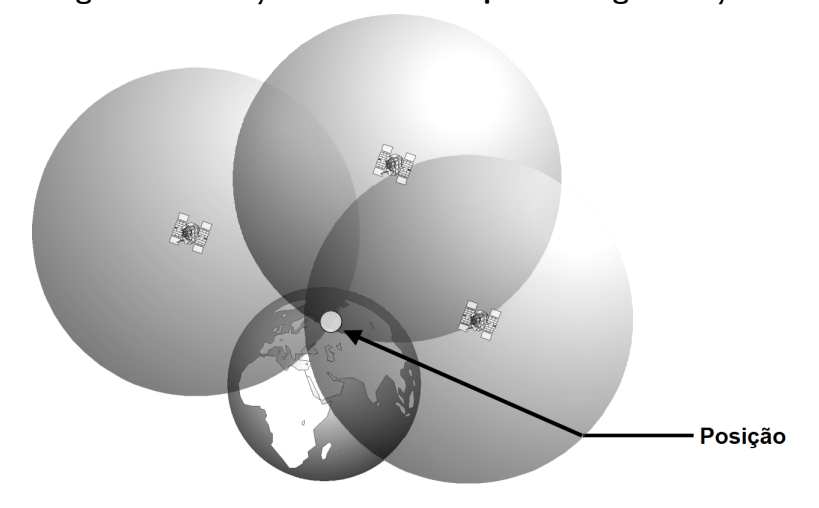


Figura 2 – Posição dos satélites para triangularização.

Fonte: Adaptado de (ZOGG, 2009).

2.2 Orientação magnética

Uma das possíveis formas de se ter um referencial de direção em qualquer lugar do planeta é por meio do campo magnético terrestre. Este por sua vez existe devido a grande massa de ferro presente no núcleo do planeta. O polo norte geográfico fica aproximadamente no meio do oceano ártico (GEOGRAPHY, 2022), onde é o ponto em que as linhas de longitude convergem. Já o polo norte magnético fica sobre a ilha Ellesmere, situada no note do Canadá, na região de Qikiqtaaluk do território de Nunavut. Este é o ponto em que as linhas magnéticas "entram" no plano terrestre e também este é o ponto para qual as bússolas tradicionais apontam. Assim como as bússolas, um magnetômetro bem calibrado pode cumprir a mesma função, dando informações sobre as direções em que existe um fluxo magnético próximo. O magnetômetro é um instrumento utilizado para medir o campo magnético em um determinado local por meio de sua intensidade. Ele é utilizado em diversas áreas, como geologia, exploração mineral, estudos de oceanografia, arqueologia, entre outras áreas de estudo.

Entre os dois polos já discutidos existe uma inclinação angular, chamada de "inclinação magnética" que se trata da diferença entre a direção do polo geográfico e o polo magnético, porém dependendo do local em que é realizada a medida, o valor pode variar, inclusive no

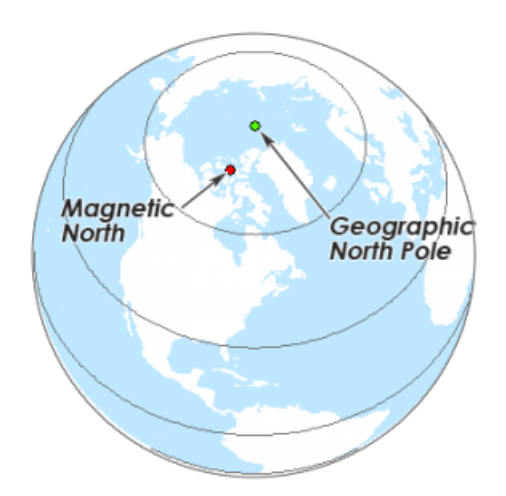


Figura 3 – Diferença do polo norte geográfico e o polo norte magnético.

Fonte: Adaptado de (GEOGRAPHY, 2022).

decorrer do tempo. A diferença entre o polo geográfico e a direção em que uma bússola aponta é chamada de "declinação magnética". Alguns métodos de cálculo já foram criados para se obter o valor angular de declinação magnética em determinado ponto do globo, porém estes métodos de cálculo possuem validade e não podem ser usados indefinidamente. Um dos métodos atualmente usados é o WMM 2020 (World Magnetic Model) do qual oferece uma precisão suficiente para a aplicação em dispositivos modernos. Um mapa mostrando a variação da declinação magnética pode ser visto na Figura 4, onde neste mapa é indicado as curvas de declinação magnética observadas em 2020, sendo que este método de cálculo é válido até 2025. As curvas em vermelho indicam uma declinação magnética positiva (leste), enquanto as curvas em azul indicam uma declinação magnética negativa (oeste). Cada uma das curvas possui um passo de 2 graus de declinação entre si.

Existem vários tipos de magnetômetros, cada um com sua própria técnica de medição. Alguns utilizam um magnetômetro de *fluxgate*, que mede a variação do campo magnético em uma bobina quando é submetida a um campo magnético externo. Outros utilizam um magnetômetro de prótons, que mede a frequência de precessão de prótons em um campo magnético uniforme (KHOSRAVI; ALIZADEH; POURMAHDIAN, 2020). O magnetômetro em questão a ser aplicado neste trabalho se trata de um modelo composto por sensores magneto resistivos de três eixos, onde basicamente o campo magnético aplicado é convertido em uma diferença de potencial (CORPORATION, 2016) que por sua vez pode ser convertido para um sinal digital e assim é possível medir a intensidade do campo, sabendo a sua direção.

Uma das aplicações mais importantes do magnetômetro é na navegação, pois ele pode ajudar a determinar a direção do campo magnético da Terra. No entanto, é importante considerar a declinação magnética ao utilizar um magnetômetro para navegação para determinar corretamente a direção do norte verdadeiro. Caso contrário, a direção indicada pelo magnetômetro pode estar deslocada em relação à direção correta.

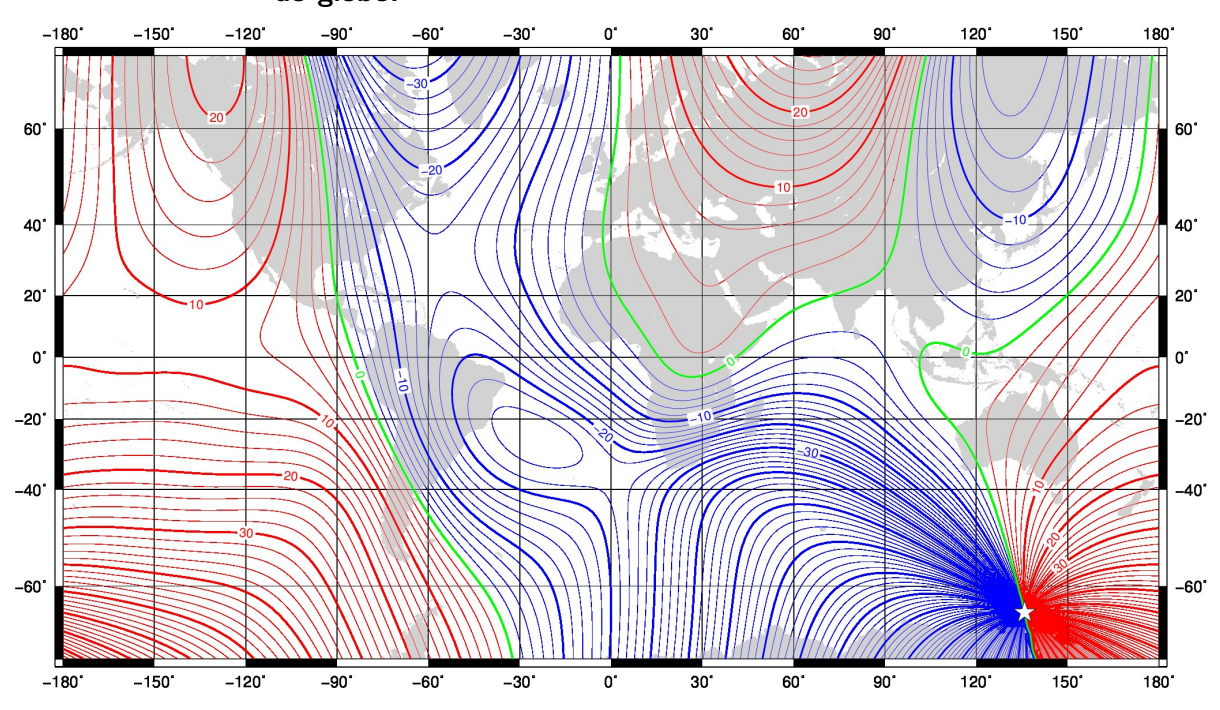


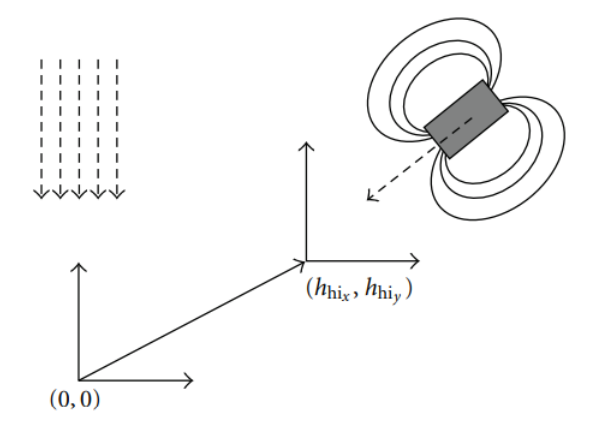
Figura 4 – Mapa indicando a variação de declinação magnética ao longo do globo.

Fonte: Adaptado de (SURVEY, 2020).

Para calibrar o magnetômetro são conhecidas diversas abordagens matemáticas e complexas como a apresentada por Liu e Zhu (2014), onde são aplicadas técnicas de calibração e de compensação de erro dos valores medidos considerando todos os três eixos, manipulando as coordenadas deslocadas antes da calibração de forma que seja possível se ter uma transformação referenciada nos valores corretos. Para o escopo do trabalho, por se tratar de um deslocamento apenas no plano de superfície da água, pode ser tomada uma abordagem mais simples. Como mostrado por ShawnHymel (2022) é possível tomar um caminho mais resumido para se conseguir sucesso na calibração. Basicamente o método consiste na consideração de dois fatores que causam as medidas errôneas, sendo elas chamadas por ferro duro (hard iron) ou ferro macio (soft iron).

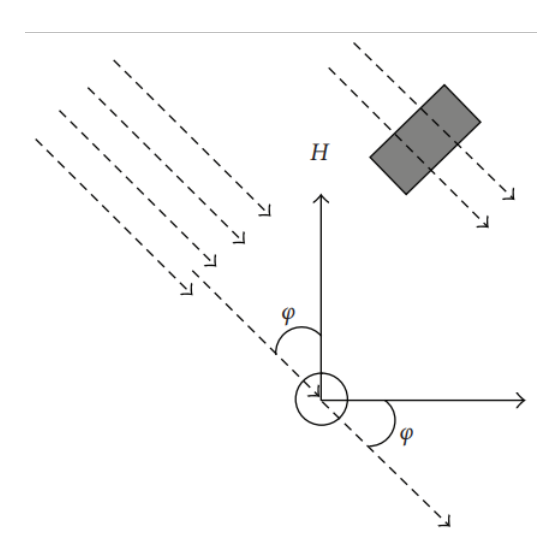
A interferência por ferro duro provém de fontes de campo magnético fixos, como ímãs, motores, alto falantes ou equipamentos que possuem tal efeito por natureza. Este por sua vez faz com que o valor médio medido por um magnetômetro fique fora da origem, ou seja, o valor entre o valor mínimo e o valor máximo não está localizado em zero quando o campo magnético terrestre é medido como indicado na Figura 5. Já a interferência por ferro macio ocorre devido a presença de materiais metálicos próximos ao magnetômetro, onde esta por sua vez tem um comportamento de condutor do campo magnético terrestre fazendo com que o campo seja no mesmo sentido do material ferromagnético conforme visto na Figura 6. Assim, como resultado da interferência, os valores máximos e mínimos não possuem simetria quando comparado entre os eixos medidos (x e y por exemplo) em que quando plotados em um plano, mostram um comportamento elíptico.

Figura 5 – Influência da interferência ferro duro.



Fonte: Adaptado de (RENAUDIN; AFZAL; LACHAPELLE, 2010).

Figura 6 - Influência da interferência ferro macio.



Fonte: Adaptado de (RENAUDIN; AFZAL; LACHAPELLE, 2010).

2.3 Princípio de Arquimedes

O princípio de Arquimedes é uma lei física formulada pelo famoso matemático e cientista grego Arquimedes. Esse princípio descreve o comportamento de corpos imersos em fluidos, como líquidos ou gases, e é amplamente utilizado para entender o conceito de flutuação.

Segundo o princípio de Arquimedes, um corpo total ou parcialmente imerso em um fluido sofre uma força de empuxo vertical para cima igual ao peso do fluido deslocado pelo corpo. Em outras palavras, o empuxo é igual ao peso do fluido que é deslocado pelo corpo submerso. Isso significa que, se um objeto flutuante, como um navio, deslocar uma quantidade de água equivalente ao seu próprio peso, ele estará em equilíbrio e não afundará. Se o objeto deslocar uma quantidade de água menor do que seu peso, ele afundará parcialmente, e se

deslocar uma quantidade maior de água do que seu peso, ele flutuará totalmente acima da superfície do líquido. (HALLIDAY; RESNICK; WALKER, 2013)

Assim como no caso do navio, o peso total do veículo autônomo de superfície deve ser equilibrado pelo empuxo gerado pelo fluido (água) que ele desloca. Para calcular a quantidade de peso que um veículo autônomo de superfície pode suportar deve-se primeiro determinar o volume das partes que ficarão submersas e a sua respectiva densidade, a densidade da água que pode ser aproximada para $1000kg/m^3$ e o peso do fluido deslocado, que no caso é a água. Com essas informações é possível determinar o peso máximo que o veículo autônomo de superfície pode suportar sem afundar.

2.4 Controle PID

O controle PID, que significa Proporcional-Integral-Derivativo, é um dos métodos mais comuns e amplamente utilizados na área de controle de sistemas. Ele é amplamente aplicado em uma variedade de indústrias, como automação industrial, robótica, controle de processos e engenharia de sistemas. O controle PID é projetado para regular e estabilizar um sistema dinâmico, mantendo a variável controlada (também conhecida como variável de processo) o mais próximo possível de um valor de referência desejado. Isso é feito ajustando-se continuamente uma saída de controle com base no erro entre a variável controlada e o valor de referência.(DORF; BISHOP, 2022)

Dividindo o controle PID nas três componentes, pode-se descreve-las da forma listada a seguir.

- Proporcional (P): A ação proporcional como o próprio nome diz é proporcional ao erro atual entre a variável controlada e o valor de referência. Quanto maior o erro, maior é a ação proporcional aplicada. Essa ação fornece uma resposta rápida, mas pode resultar em um erro de regime permanente se usada sozinha.
- Integral (I): A ação integral leva em consideração a soma do erro ao longo do tempo. Isso permite que o controlador responda não apenas ao erro atual, mas também a erros passados acumulados conforme a amostragem. A ação integral é eficaz para corrigir erros estáveis, como desvios constantes.
- Derivativo (D): A ação derivativa leva em consideração a taxa de mudança do erro ao longo do tempo. Isso ajuda a prever tendências futuras do erro e ajustar a ação de controle de acordo. A ação derivativa é eficaz para fornecer uma resposta rápida a mudanças rápidas no erro.

A combinação dessas três ações - proporcional, integral e derivativa - permite que o controle PID se adapte a diferentes condições do sistema e minimize o erro de controle. A contribuição de cada componente é ajustada por meio de constantes de ajuste conhecidas

como ganhos. A sintonia adequada dos parâmetros do controlador PID é crucial para obter um desempenho ideal, e existem várias técnicas de sintonia disponíveis, incluindo métodos manuais, métodos baseados em regras e algoritmos de otimização (FADALI; VISIOLI, 2013).

3 MATERIAIS E MÉTODOS

Para solucionar as dificuldades e alcançar os objetivos já discutidos no início deste trabalho, é necessário estipular as ferramentas e materiais que são necessários para a construção de um protótipo que seja capaz de realizar pequenas missões de coletas de dados. Os principais itens que precisam ser colocados como tópicos de estudo estão relacionados a escolha de estrutura de um veículo, a sua forma de locomoção, a sua forma de controle e sensoriamento, também como cada uma dessas coisas interage com o objetivo de tornar o sistema algo operacional e responsivo.

3.1 Materiais

De modo a tornar a jornada de desenvolvimento do projeto algo possível, foram selecionadas algumas ferramentas e materiais que são úteis durante o processo de desenho mecânico, fabricação de peças e programação computacional dos elementos utilizados no protótipo.

3.1.1 Microcontrolador escolhido

Na intenção de se ter um microcontrolador que não traga dificuldades com relação a desempenho e disponibilidade de interface, foi escolhido ESP32 como microcontrolador principal deste projeto. Nele deve ser gravado o programa que é responsável pela iteração entre todos os elementos presentes no trabalho. Este microcontrolador foi escolhido também por ser uma opção moderna, com bastante espaço para armazenamento para o programa escrito, e também por ser compatível com diversas bibliotecas que originalmente foram criadas para a plataforma *Arduino*. Este fator torna o desenvolvimento do trabalho mais focado na aplicação dos primeiros conceitos motivadores deste trabalho sem ter a necessidade de se dedicar um demasiado tempo explorando formas de comunicação e interpretação dos dados fornecidos pelos periféricos conectados ao microcontrolador. O ESP32 é uma opção com um bom desempenho computacional, do qual é importante pois existe a necessidade de se realizar operações quase que simultâneas, onde o tempo de cada operação é um fator que pode ser um problema caso haja alguma demora em suas execuções.

3.1.2 Linguagem de programação

Com o objetivo de se usar a *Arduino IDE* para programar o microcontrolador escolhido, há a necessidade de fazer o uso da linguagem de programação C++. Esta linguagem de programação é a principal usada neste trabalho, sendo que esta é uma variação da linguagem C, porém contemplando a orientação a objetos, já que isto é essencial para o uso dos

recursos que estão presentes no projeto. A linguagem C++ associada as técnicas de programação direcionada a microcontroladores baseada na linguagem C faz uma interface do nível de linguagem de baixo nível (linguagem interna em microcontroladores) com uma linguagem de nível mais alto, que é próximo do que é falado pelos humanos. Para fazer a programação do microcontrolador, é importante ter em mãos um compilador que faz a conversão da linguagem C ou C++ em linguagem de máquina. Conforme (SOUZA, 2022) cita em sua publicação, o *Arduino IDE* pode ser usado como compilador que faz a conversão da linguagem C++ para o ESP32 usado como microcontrolador deste trabalho.

3.1.3 Bibliotecas

De modo a tornar ágil a construção do software usado no veículo autônomo de superfície foram usadas algumas bibliotecas compatíveis com ESP32 para a administração de todos os recursos necessários.

3.1.3.1 U8g2

A biblioteca U8g2 foi desenvolvida por Oliver Kraus (KRAUS, 2021), sendo esta uma evolução da U8Glib, da qual é amplamente usada em pequenos projetos realizados pela comunidade. É notável a sua fama ao ver a quantidade de colaborações que a biblioteca em questão possui. Esta biblioteca é capaz de fazer a interface com vários tipos de displays gráficos, dando a capacidade de desenhar bitmaps nos displays, textos, números e caracteres especiais nas mais diversas fontes e tamanhos de letra. Como principal recurso da biblioteca usado neste trabalho está a simples escrita de texto, o recurso de desenho de caixas e também a possibilidade de se desenhar bitmaps em qualquer parte do display. Na Figura 7 é mostrado alguns elementos gráficos com o uso da biblioteca discutida.

3.1.3.2 TinyGPSPlus

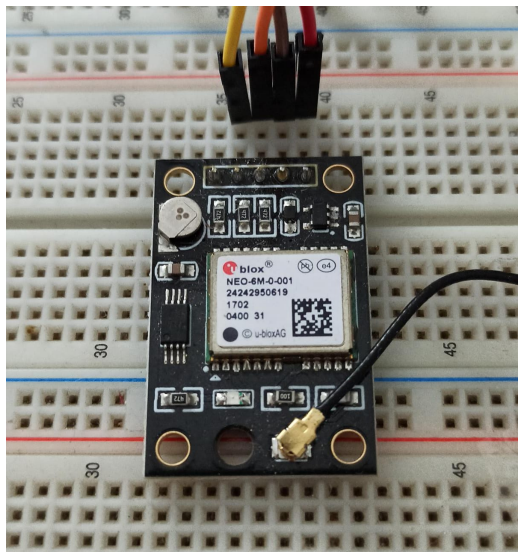
A biblioteca usada para interpretação dos dados fornecidos pelo módulo de GPS é a *TinyGPSPlus*. Esta biblioteca foi escrita por (HART, 2013), onde com ela é possível converter o dado fornecido pelo módulo Neo6M para dados específicos, como latitude, longitude, quantidade de satélites conectados e até mesmo informações de tempo. Com o auxílio desta biblioteca é possível obter principalmente as informações de posição, que são essenciais para a aplicação do veículo autônomo de superfície. Um módulo de GPS NEO6M é mostrado na Figura 8.



Figura 7 - Display OLED 128x64.

Fonte: Do Autor (2023).





Fonte: Do Autor (2023).

3.1.3.3 QMC5883L Compass

Para fazer a comunicação e interpretação de dados fornecidos pelo magnetômetro, está sendo usada a biblioteca *QMC5883 Compass* (MPROGRAMS; NäVEKE, 2022) onde esta biblioteca basicamente converte os dados fornecidos pelo módulo magnetômetro de hexadecimal para valores que são correspondentes a intensidade magnética lida em cada um dos três eixos do magnetômetro. Com esta biblioteca também é possível implementar os valores de calibração, que nada mais é do que os valores mínimos e máximos lidos pelo magnetômetro em cada um dos eixos, sendo que a calibração é feita automaticamente e então é descontado os

erros encontrados nos valores brutos lidos pelo magnetômetro. A Figura 9 mostra o módulo de sensor com o magnetômetro discutido, do qual é compatível com esta biblioteca.

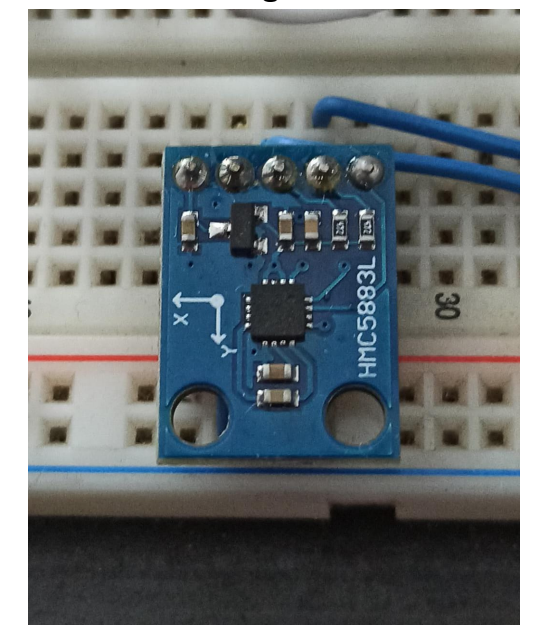


Figura 9 - Módulo Magnetômetro QMC5883L.

Fonte: Do Autor (2023).

3.1.3.4 ESP32 Servo

Para facilitar a aplicação dos controladores eletrônicos de velocidade (*ESC*), é usada uma biblioteca que faz a interface de controle para motores servo. Como o controle dos *ESCs* são basicamente por tempo de pulso que consequentemente correspondem ao angulo de inclinação de um servo entre 0 a 180 graus, torna-se simples e prática a aplicação fazendo o uso de uma biblioteca assim. A biblioteca usada no desenvolvimento do projeto do veículo é a Servo ESP32 (BENNETT, 2017) sendo que esta biblioteca é uma adaptação da biblioteca nativa usada em arduino, porém para o ESP32.

3.1.3.5 Adafruit BME280

Para fazer a aplicação do leitor de temperatura, pressão atmosférica e umidade relativa implementados pelo módulo BME280 é usada uma biblioteca da Adafruit para BME280 que faz esta interface (ADAFRUIT, 2021). Esta biblioteca contém internamente a biblioteca Adafruit Sensor (ADAFRUIT, 2023) que faz o auxílio de conversão de unidades para os valores lidos pelos sensores. A biblioteca BME280 basicamente faz a interface de leitura e configuração do BME280 disponibilizando os seus respectivos valores lidos de forma prática e rápida.

3.1.3.6 DallasTemperature

Com o intuito de se fazer a interface para usar o sensor de temperatura DS18S20 é necessário o uso da biblioteca *Dallas Temperature* (BURTON, 2020) onde esta biblioteca faz a interface do sensor por meio do protocolo de comunicação *OneWire* do qual o sensor é conectado. A biblioteca é bastante simples e permite a obtenção dos valores de temperatura em graus Celsius e em graus Fahrenheit de forma direta.

3.1.3.7 Bibliotecas nativas

Algumas bibliotecas como *EEPROM*, *SD*, *I2C*, *SPI*, *OneWire* e *Math* são bibliotecas nativas da ArduinoIDE. Estas bibliotecas são disponibilizadas com o intuito de oferecer recursos de acesso a memória EEPROM do micro controlador, acesso, leitura e gravação de arquivos em cartão SD por meio do protocolo de comunicação SPI, e alguns outros protocolos sendo a dois fios (I2C) e a um fio (OneWire). Também a biblioteca *Math* que disponibiliza ao usuário funções matemáticas mais complexas como trigonometria por exemplo.

3.1.4 Solução para flutuação e modelo de casco utilizado

Buscando uma solução economicamente viável para se construir uma estrutura de veículo que deve flutuar sobre a água, foram escolhidos flutuadores de piscina para atender as necessidades do projeto, se comportando como boias posicionadas nas laterais do veículo. Este formato característico é conhecido como SWATH (Small Waterplane Area Twin Hull) e é apresentado no estudo mostrado por Rashid et al. (2022). Uma estrutura neste formato também é vista em catamarãs da qual fornece maior estabilidade em veículos de superfície, já que a área do corpo em contato com a superfície da água é reduzida e distribuída em dois pontos afastados do centro, diminuindo os efeitos e as influências de ondas e outras perturbações. Devido ao formato de flutuadores de piscina ser cilíndrico, é uma excelente opção ao levar em conta que deve ser fixada em uma estrutura planejada para ser feita em um protótipo, dispensando a necessidade de se ter um casco selado que seja capaz de sustentar o veículo sobre a água. Os flutuadores não absorvem água e possuem um volume considerável, já que são compostos por espuma de polietileno fazendo com que seu peso seja quase desprezível. Como o formato dos flutuadores é cilíndrico, é possível calcular facilmente o seu volume, e consequentemente o peso que ele é capaz de sustentar sem afundar na água. Para o desenvolvimento do projeto são usados dois flutuadores de 1,60m, cortados em seções de 35cm, totalizando 8 peças com 35cm. Assim os flutuadores podem ser divididos simetricamente, com 4 peças de 35cm em cada um dos dois lados do veículo. Os flutuadores cortados podem ser vistos na Figura 10.



Figura 10 – Flutuadores de espuma de polietileno cortados.

Fonte: Do Autor (2023).

Para determinar o peso máximo que o veículo suporta por flutuador, pode ser usado o princípio de Arquimedes, onde sabe-se que os flutuadores tem seção transversal cilíndrica, com cilindro externo de 60mm de diâmetro, com furo central de 25mm de diâmetro. Portanto o valor da área da seção transversal do flutuador é $0,0023m^2$, como o comprimento de cada cilindro é 35cm, resulta em um volume de $0,8178*10^-3m^3$ por cilindro. Para simplificação dos cálculos, considera-se a densidade dos cilindros como nula já que são extremamente leves quando comparado com o volume, praticamente não interferindo no cálculo o peso dos cilindros. Dessa forma a força que será resultante para cima para cada um dos cilindros será relacionada ao peso do volume de água deslocada por cilindro, que é de $0,8178*10^-3m^3$. Considerando a densidade da água como $1000kg/m^3$, o peso suportado resultante em cada um dos cilindros é de 817,8g e como são 8 cilindros no total, o peso máximo suportado pelos cilindros sem que o veículo afunde será de aproximadamente 6,542kg. Isso é mais do que suficiente para suportar todo o peso do veículo e das amostras coletadas sem grandes problemas.

3.1.5 Sistema de propulsão

No projeto em questão é necessária a implementação de um sistema de propulsão viável, que seja eficiente e que possua a potência necessária para fazer o deslocamento do veículo, sendo que os motores devem preferencialmente ficar submersos com o objetivo de simplificar a construção do projeto. Com o objetivo de atender essas necessidades, a escolha de motores de corrente contínua sem escovas é uma das melhores opções, devido a não precisarem ter energia passando por escovas que acabariam por ficarem submersas, diminuindo a sua vida útil e aumentando o risco de curto-circuitos. Como os motores de corrente contínua sem escova.

conhecidos também como *BLDC* (*Brushless DC*), usam apenas os enrolamentos do estator fixos na estrutura e os ímãs permanentes fixados no rotor, é garantido maior segurança e confiabilidade em seu uso.

Para este projeto, os motores devem ser capazes de deslocar um determinado volume de água para o sentido oposto ao de movimento do veículo, fazendo assim o deslocamento do conjunto completo. Tanto o deslocamento como o controle de direção é aplicado por meio de dois motores, que são acoplados no eixo radial do projeto com o objetivo de tornar mais estável e responsivo a mudanças de direções. Os motores podem ser instalados no meio da estrutura dos flutuadores, assim, com a diferença de velocidade de rotação entre os motores, o veículo é capaz de apontar para diferentes direções. Os motores são montados com pequenas hélices que são responsáveis por fazer o deslocamento da água como pode ser visto na Figura 11. Ambos os motores precisam ser selados e capazes de suportar a submersão na água e como os motores não possuem escova, são as melhores opções para aplicações deste tipo já que não existem contatos expostos na água que poderiam ocasionar a falha dos mesmos. A vista traseira do motor é mostrada na Figura 12 onde a saída dos cabos é selada também com silicone.



Figura 11 – Vista frontal do motor sem escova com a hélice.

Fonte: Do Autor (2023).

Os motores *BLDC* precisam ser acionados por controladores eletrônicos de velocidade que são responsáveis por converter um sinal de pulso modulado para um sinal de três fases. O controlador eletrônico de velocidade pode ser abreviado para *ESC* (*Electronic Speed Controller*) é geralmente um dispositivo pequeno e energeticamente eficiente. O modelo usado no presente trabalho é mostrado na Figura 13, sendo que este controlador é da marca ZTW do modelo Shark 40A, do qual é um controlador específico para aplicações com veículos aquáti-

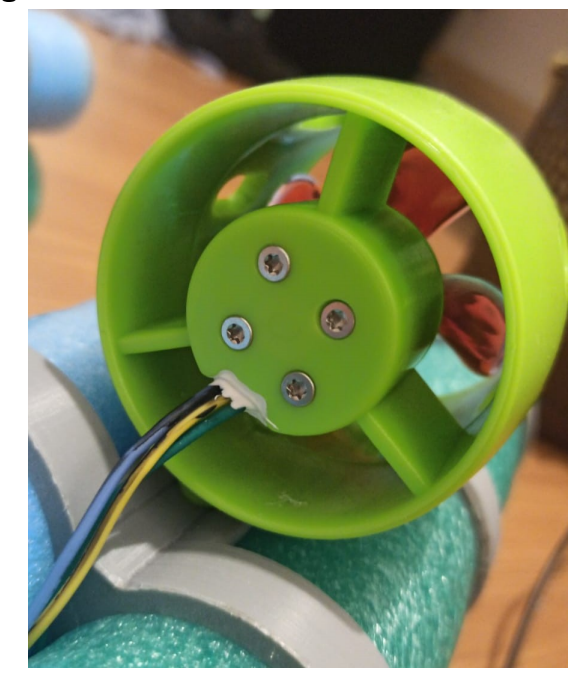


Figura 12 – Vista traseira do motor sem escova.

Fonte: Do Autor (2023).

cos. No manual do controlador (SCIENCE; TECHNOLOGY, 2020) é possível encontrar mais detalhes de aplicação e configuração do dispositivo.



Figura 13 - Controlador eletrônico de velocidade usado no projeto.

Fonte: Do Autor (2023).

3.1.6 Software de desenho 3D

Para realizar testes de montagem e também dar a possibilidade de se projetar as peças antes de sua confecção, o aplicativo *Autodesk Fusion360* foi escolhido como software

de desenho para todas as peças mecânicas. A universidade em parceria com a *Autodesk*, empresa responsável pela criação deste software, disponibilizam de maneira gratuita a licença do aplicativo para fins estudantis, sendo que este software possui grande compatibilidade com formatos utilizados para desenho 3D. Além de atender muito bem as necessidades do projeto, este aplicativo não necessita de muitas habilidades para o seu uso, sendo uma das formas mais práticas de realizar a etapa de projeto mecânico do trabalho.

3.1.7 Impressão 3D

Para que seja possível confeccionar todas as peças mecânicas projetadas e utilizadas na construção do veículo autônomo de superfície, foi utilizada uma impressora 3D desenvolvida também pelo mesmo autor deste trabalho, onde é mostrada na Figura 14. Esta impressora possui volume de impressão de até 220x220x220mm, podendo este volume ser fechado para assim otimizar a possibilidade de uso de materiais de impressão. O material usado em todas as partes impressas é o ABS, onde este material possui uma resistência mecânica considerável, além também de ser bastante eficiente com relação ao seu custo.

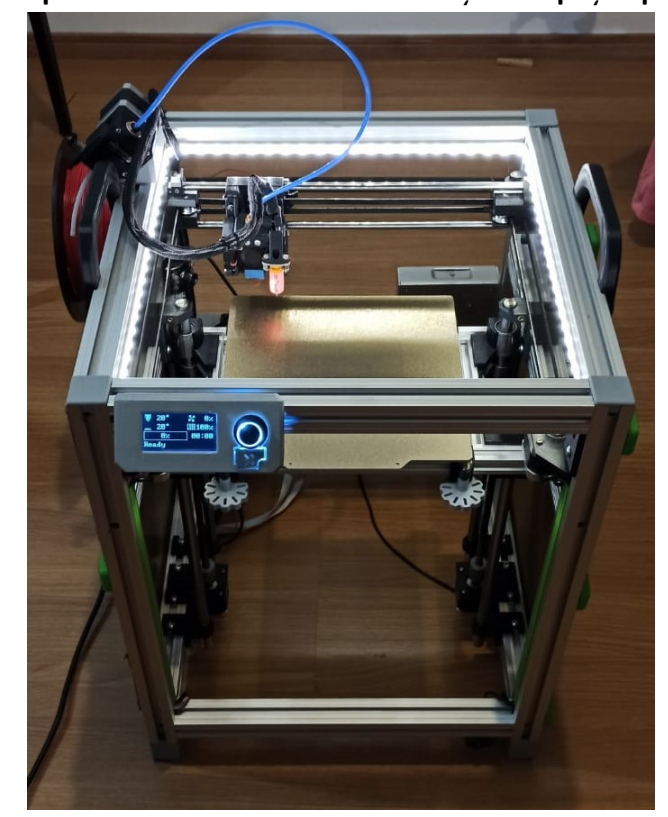


Figura 14 - Impressora 3D utilizada na confecção de peças para o projeto.

Fonte: Do Autor (2023).

A impressora em questão utiliza um bico com diâmetro de 0,6mm, onde este é um diâmetro maior do que o mais utilizado em outras impressoras do mercado (0,4mm), possibilitando a confecção das peças de maneira rápida e suficientemente precisa.

3.2 Métodos

3.3 Elaboração dos circuitos eletrônicos

Com o objetivo de criar um ambiente de interface entre o microcontrolador ESP32 e os diversos componentes do projeto, foi elaborada uma pequena placa, com a mesma ideia de um shield para arduino, onde nesta placa deveriam estar dispostos os alojamentos para conexão do ESP32, fixação do leitor de cartões, integração dos circuitos para controle das bombas de água, e também o suporte para conexão dos demais elementos por meio de cabos e plugs da maneira mais profissional possível com as habilidades obtidas durante a formação. O esquemático completo da placa é mostrado no Apêndice A.

3.3.1 Subcircuito de mosfets

Para que seja possível acionar as bombas de água por meio do microcontrolador, foi elaborado o circuito mostrado na Figura 15, onde os mosfets IRFZ46N são acionados por meio de optoacopladores 4N25, assim não é necessário que os pinos do microcontrolador estejam em contato diretamente com os mosfets.

Figura 15 – Circuito com optoacopladores e mosfets.

Fonte: Do Autor (2023).

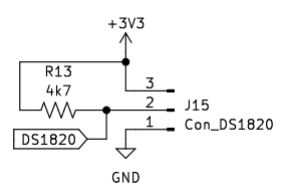
Este recurso de conexão dos mosfets por meio de optoacopladores torna o ESP32 mais protegido de possíveis falhas de curto que podem ocorrer no lado do mosfet, evitando inclusive possíveis interferências eletromagnéticas que podem ocorrer no acionamento dos motores das bombas. Porém apesar de que a corrente de saída do microcontrolador precisa ser apenas o suficiente para acionar um led interno no optoacoplador, este led possui corrente de operação de 60mA. O No circuito é instalado também um diodo em antiparalelo com

os mosfets chaveadores com o objetivo de absorver correntes reversas provindas dos motores acionados, assim, evitando que os mosfets tenham picos de tensão pelos terminais dos motores.

3.3.2 Sub circuito para uso do sensor de temperatura da água DS18S20

Para a conexão do sensor de temperatura DS18S20, foi usado um circuito muito simples, que compõe apenas um resistor de 4k7 que é conectado entre o pino de dados e a tensão de alimentação. Esta especificação é dada pelo datasheet do sensor de modo que seja possível a operação pelo método de comunicação a um fio (One-Wire).

Figura 16 - Circuito para sensor DS18S20.



Fonte: Do Autor (2023).

3.4 Construção do menu de interface

Para ser possível o ajuste de parâmetros do dispositivo, bem como dar comandos ao veículo e ter uma interface gráfica que seja intuitiva e funcional para realizar pequenos ajustes em campo, foi usado o display OLED de 128x64 pixels para tornar tal tarefa algo possível.

Com o uso da biblioteca u8g2 é possível fazer desenhos no display com o uso de imagens convertidos para bitmaps. As imagens foram desenhadas manualmente com tamanhos de 128x64 pixels para imagens que ocupam o display inteiro, ou então em 16x16 pixels para os ícones. Assim, juntamente com as funcionalidades de texto disponibilizadas pela biblioteca citada, é possível fazer as operações conforme discutido a seguir. Todos os elementos foram desenhados com o uso de um site online gratuito chamado *Photopea*, porém poderia também ser feito da mesma forma em softwares mais completos como *Photoshop* ou então *GIMP*, porém, de forma a manter a praticidade sem necessidade de instalação, foi usada a plataforma mencionada

3.4.1 Tela de abertura

Ao iniciar o sistema, a primeira tela a ser mostrada é a tela de abertura. Ela consiste de uma pequena ilustração do que seria o veículo autônomo de superfície já montado, bem como também o texto descritivo do título do projeto. A tela desenhada mostrada na Figura 17 foi confeccionada e escrita completamente na plataforma citada no início desta seção.

Figura 17 - Tela de abertura desenhada.



Esta tela foi implementada no veículo para aparecer durante 2 segundos, onde acaba tendo como funcionalidade principal mostrar ao usuário o escopo do programa desenvolvido e o projeto aplicado. A tela mostrada no display OLED pode ser vista na figura Figura 18



Figura 18 - Display OLED mostrando a tela de abertura.

Fonte: Do Autor (2023).

3.4.2 Ícones de menu

Os ícones de menu foram desenhados buscando trazer de forma ilustrativa os elementos gráficos ao display de forma que ficasse intuitivo e pudesse dar a oportunidade de se implementar elementos gráficos, já que o menu desenvolvido apenas com elementos textuais o poderia tornar confuso. Na Figura 19 é mostrado o ícone de uma bandeira, representando o comando de início do roteiro de coleta de amostras. Assim como este, cada um dos itens representa um sub menu com atividades que podem ser ajustadas. No caso do ícone de bandeira em questão, o subcomando realizado é o de iniciar o roteiro de navegação.

Figura 19 – Ícone de Bandeira.



Com o objetivo de ilustrar a calibração do magnetômetro, foi inserido o ícone mostrado na figura Figura 20, onde este submenu possui como atividade a calibração do magnetômetro do qual mais instruções são dadas nas telas seguintes deste menu.

Figura 20 – Ícone de bússola.



Fonte: Do Autor (2023).

Para ilustrar a leitura dos dados de coordenadas e roteiro de navegação a partir do cartão micro SD, foi desenhado o ícone da Figura 21, onde é indicado um cartão de memória, representando a leitura dos dados a partir do micro SD. Caso o cartão não esteja inserido, é emitida uma mensagem de erro notificando para verificar o cartão onde se caso for inserido ou reinserido o cartão, será necessário reiniciar o dispositivo para que a leitura seja feita de maneira correta. Caso o arquivo "coordenadas.txt" não seja encontrado no cartão de memória ou caso o arquivo esteja vazio, será indicado que 0 pontos de coleta foram lidos. Caso esteja tudo correto para a leitura dos pontos desejados, após a leitura do cartão será indicado no display quantos pontos de coleta foram lidos, e caso seja um número maior que zero, será habilitada a opção de iniciar o roteiro de navegação.

Figura 21 – Ícone de cartão de memória.



Fonte: Do Autor (2023).

Os ícones indicados na Figura 22, Figura 23 e Figura 24 são os itens que representam a configuração dos parâmetros proporcional, integrador e derivativo respectivamente. Para que os valores sejam limitados ao que é estabelecido no programa, os ajustes aqui podem ser feitos entre 0% a 100% do valor máximo de cada parâmetro, assim, é possível inclusive desabilitar o efeito do controlador para ocasiões de testes.

Figura 22 – Ícone para ajuste do parâmetro de controle P.



Fonte: Do Autor (2023).

Da mesma forma que os ajustes de PID, também há um ajuste de velocidade base indicado pelo ícone mostrado na Figura 25 onde aqui é inserido o percentual da velocidade

Figura 23 – Ícone para ajuste do parâmetro de controle I.



Figura 24 – Ícone para ajuste do parâmetro de controle D.



Fonte: Do Autor (2023).

máxima que pode ser atingido. Neste parâmetro, o ajuste pode ser feito de 0% a 80%, sendo que no máximo 80% da velocidade máxima pode ser ajustada. Isso se dá para poder existir uma margem entre a velocidade de deslocamento máxima e o ajuste do controle de direção do veículo.

Figura 25 – Ícone para ajuste do parâmetro de velocidade máxima.



Fonte: Do Autor (2023).

No item associado ao mostrado na Figura 26 é mostrada uma tela com o nome do projeto (Veículo Autônomo de Superfície), o seu objetivo (Trabalho de Conclusão de Curso) e o seu respectivo autor (Jhonatas Willian Gonçalves de Moraes), de forma abreviada. O objetivo desta tela é apenas ser um informativo de autoria do projeto.

Figura 26 – Ícone da tela de informações.



Fonte: Do Autor (2023).

Sobre o item associado a Figura 27 trata-se de um menu de testes que mostra na tela a direção apontada atual, uma direção de alvo fixa, os valores de PID ajustados e a velocidade ajustada.

Figura 27 – Ícone da tela para testes.



Fonte: Do Autor (2023).

Por fim, o menu possui dois itens com a Figura 28, sendo cada um deles correspondente com um dos motores laterais. Por meio do menu deste item é possível ter um ajuste fixo da velocidade atual dos motores para efeito de testes.

Figura 28 – Ícone para ação dos motores individualmente.

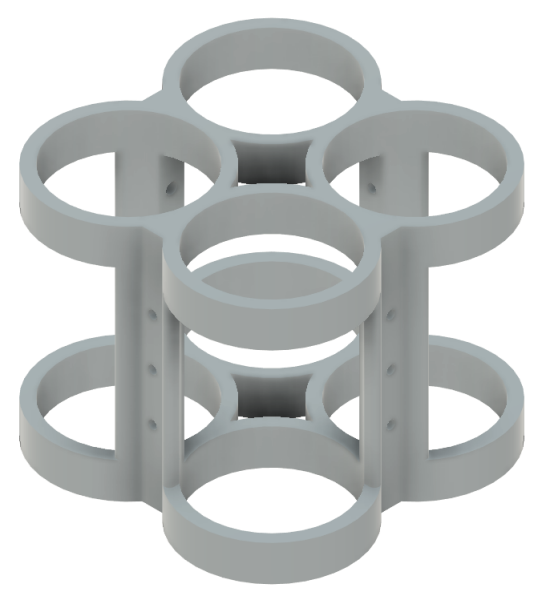


3.5 Modelagem e construção mecânica

3.5.1 Estrutura dos Motores e Espuma

Com os motores escolhidos, o projeto estrutural se iniciou pela elaboração da parte que suporta as espumas que fazem a sustentação sobre a água, e também deixando com suporte para a fixação dos motores e do chassi em duas etapas. Para suportar as espumas com raio de 60mm, a estrutura foi pensada de forma que pudesse ser leve, e adaptável para a instalação de periféricos. Os locais onde seriam colocados os insertos de 5mm foram feitos com furos de 4.7mm, e os furos dos quais haveriam parafusos instalados, ficaram com furos de 3.5mm (para parafusos de 3mm). A estrutura citada é vista na Figura 29. Foram feitas duas peças idênticas, sendo uma para cada lado.

Figura 29 – Estrutura de suporte dos motores e espumas.



Fonte: Do Autor (2023).

Além da estrutura de suporte aos motores, também foram construídos os anéis de sustentação e estabilidade das espumas, sendo que esta é apenas um espelho da face lateral da estrutura de espumas. Esta tem as mesmas medidas da estrutura dos motores, porém foram feitas 4 peças idênticas para serem distribuídas próximo das pontas das espumas. O anel de sustentação pode ser visto na Figura 30.

Figura 30 – Anel de sustentação.



3.5.2 Chassi de união central

Para a sustentação das partes laterais, suportar o alojamento das bombas de água e alguns outros itens, foi elaborado um chassi de união central do qual faz a junção das duas estruturas laterais, mantendo uma distancia entre os motores (distancia central entre as estruturas) de 250mm. Esta parte do chassi possui apenas furos para os insertos de 5mm, sendo que aqui é considerado que as demais partes são fixadas a ela. O chassi desenhado pode ser visto na Figura 31.

Figura 31 - Chassi de união central.

3.5.3 Chassi superior

A construção da parte superior do chassi precisou ser dividida em duas partes, devido a limitações de tamanho em impressão 3D, sendo assim, essa parte do chassi consiste em duas partes exatamente iguais que se encaixam em seu centro, e entregam pontos de apoio com a estrutura de suporte dos motores. Uma das peças do chassi superior pode ser visto na Figura 32.

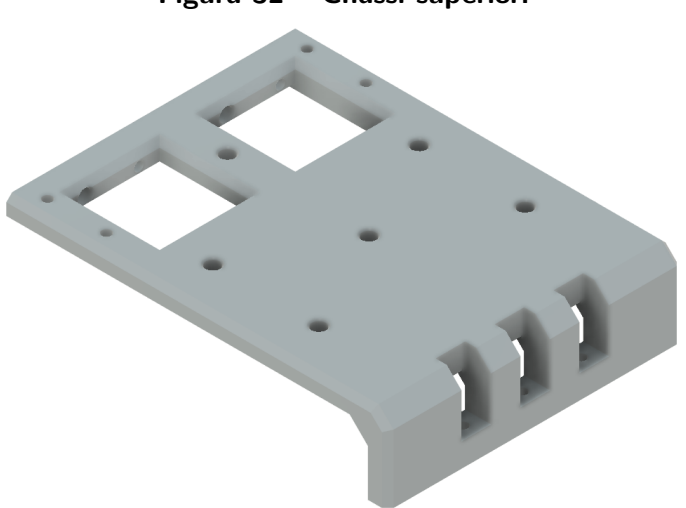


Figura 32 - Chassi superior.

Fonte: Do Autor (2023).

3.5.4 Caixa para as placas

Tendo em mente o local para a instalação e alojamento das placas principais, ESCs e alguns outros componentes foi elaborada uma caixa para o alojamento destes componentes. A caixa possui furos para fixação de insertos para a tampa, das placas internas, sendo elas GPS e placa principal, e também externamente nas laterais para o acoplamento do suporte das baterias. A caixa para as placas foi projetado para que pudesse ser parafusada a placa já pré-projetada, mantendo as distancias corretas para os furos previstos na placa principal. A caixa pode ser vista na Figura 33, onde pode se ter uma vista explodida, apresentando também a tampa. Nota-se que foi considerado um encaixe para que dificulte a entrada de água por meio da borda da tampa, assim, aumentando a confiabilidade de se colocar o veículo na água.

3.5.5 Caixa para as baterias

A Caixa para o alojamento das baterias foi planejada para ser instalada nas duas laterais da caixa das placas, sendo assim, ainda é mantida a simetria do projeto e evitando que um lado possa ficar mais pesado que o outro. As caixas das baterias foram projetados de uma

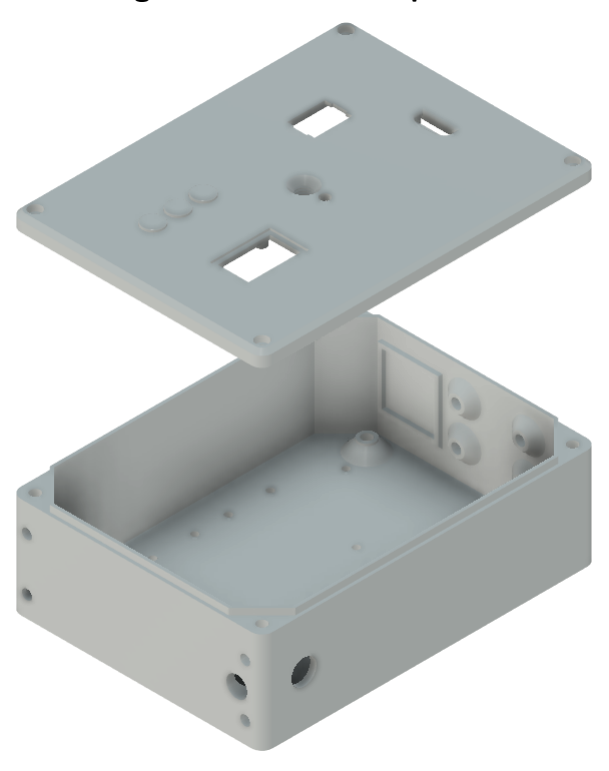


Figura 33 – Caixa das placas.

forma que pudesse ser usado o mesmo desenho espelhado do outro lado, assim, foi necessário realizar apenas um dos desenhos mecânicos. Este alojamento também foi projetado para que houvesse um encaixe na tampa que dificultasse a entrada indesejada de água para dentro do espaço em que as baterias ficam instaladas. O suporte utilizado neste caso é para três baterias de íons de lítio de tamanho 18650. Na Figura 34 é possível ver o modelo desenhado.

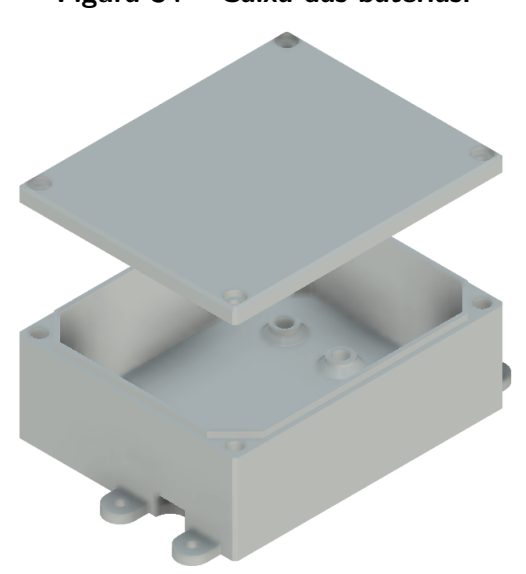


Figura 34 - Caixa das baterias.

3.5.6 Caixa para as bombas

O local onde seriam instalados as bombas para sucção de água fica em baixo do chassi superior, e em cima do chassi central, assim, abaixando o centro de massa do veículo, que por sua vez implica na estabilidade do veículo. Como foram usadas bombas pequenas, é necessário que todas as quatro bombas caibam dentro de um invólucro que fique apenas para o transporte de água, assim, a água deve entrar por mangueiras, indo até o local da bomba, e saindo por outra mangueira, evitando quaisquer vazamentos de água que possam existir no meio do percurso. Sendo assim, as quatro bombas são distribuídas entre duas em baixo, alojadas no suporte na base da caixa, sendo travadas por meio de uma trava central entre as bombas, na qual esta mesma trava já opera como um alojamento para mais duas bombas que ficam na parte superior, onde finalmente são travadas por mais uma trava superior, onde todas estas são parafusadas de maneira simétrica. Após a sua respectiva instalação é colocada a tampa superior, onde esta possui o encaixe para evitar a entrada indesejada de água no invólucro das bombas de água. A caixa para as bombas é mostrado em vista explodida na Figura 35.

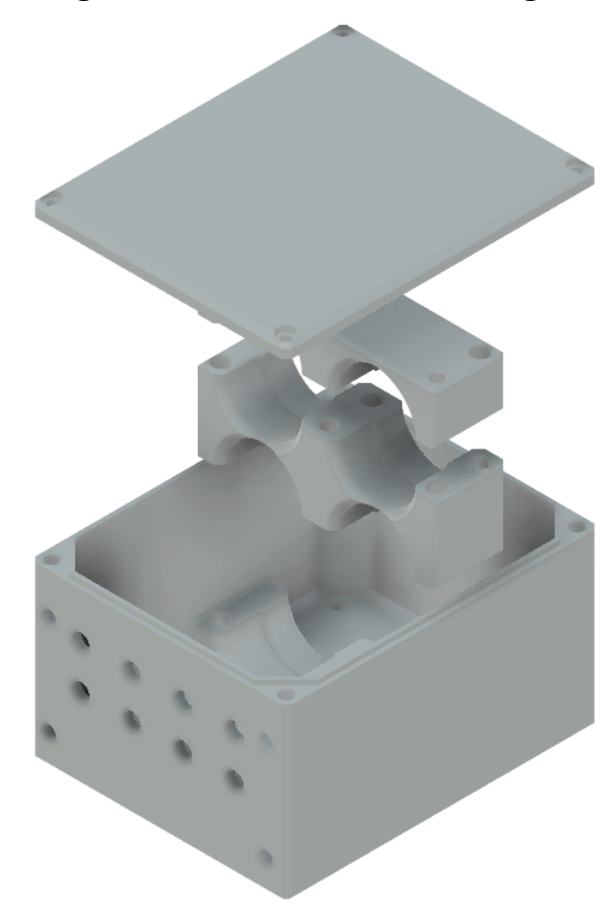


Figura 35 - Caixa das bombas de água.

3.5.7 Suporte e tampas para garrafas

Para disponibilizar o local onde são armazenadas as amostras de água, foi elaborado um pequeno "cesto" onde podem ser colocadas duas garrafas de água com aproximadamente 200mL. O suporte foi projetado para poder ser encaixado na parte frontal e traseira do veículo, sendo parafusado na caixa para as bombas, de forma que haja um fácil acesso das mangueiras até as garrafas. O suporte para as garrafas foi projetado de forma que seja compatível com qualquer um dos dois lados do veículo (frontal ou traseiro) onde este pode ser visto na Figura 36. Para que seja possível fixar as mangueiras na tampa das garrafas, também foi projetado um modelo de tampa com respiro, onde a mangueira fique firme sem a necessidade de se usar cola, evitando assim a contaminação das amostras. O modelo das tampas projetado pode ser visto na Figura 37.

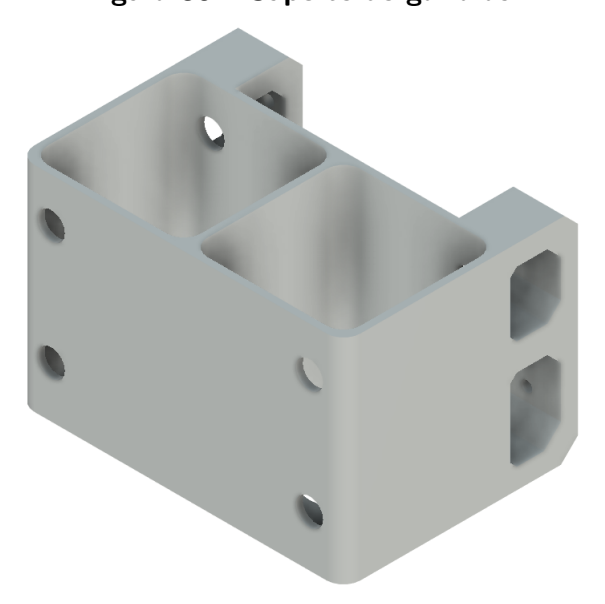


Figura 36 - Suporte de garrafas.

Fonte: Do Autor (2023).

Figura 37 – Tampa para garrafa com respiro.



3.5.8 Alojamento para magnetômetro e sensor de temperatura, umidade e pressão

Para que seja possível manter o sensor magnetômetro com uma distância segura dos demais circuitos, de maneira que não hajam influencias eletromagnéticas nas medidas, foi projetada uma torre para que pudesse ser alojado este elemento com segurança na parte superior do veículo. Este alojamento é capaz de guardar tanto o magnetômetro como o sensor de temperatura, umidade e pressão também com uma certa segurança em relação a entrada de água. Para a sua sustentação, é usada uma barra de rosca de 8 milímetros com aproximadamente 10 centímetros de comprimento, colocada sobre a tampa da caixa das placas. A barra de rosca é encaixada tanto do lado do alojamento aqui citado como na tampa da caixa das placas, mantendo assim uma certa possibilidade de ajuste de direção de leitura do magnetômetro, bem como uma rigidez e estabilidade suficientes para a aplicação. É mostrado na Figura 38 o modelo do alojamento discutido. Também é importante mencionar que este elemento está posicionado ao centro do veículo, assim, todo deslocamento angular é refletido diretamente ao sensor.

Figura 38 – Alojamento para magnetômetro (QMC5883) e sensor de umidade, temperatura e pressão (BME280).



Fonte: Do Autor (2023).

3.5.9 Suporte para mangueiras e sensor de temperatura da água

Para coletar as amostras de água, e também a temperatura da superfície da água no ponto de coleta, foi elaborado um suporte para barra de rosca em X, e também um alojamento para a instalação das mangueiras das quatro bombas de água e do sensor de temperatura da água. Neste caso, os dois são acoplados por meio de uma barra de rosca de 8 milímetros de espessura e de aproximadamente 10 centímetros de comprimento. O suporte em forma de X é instalado na parte inferior do chassi central, colocando também o ponto de coleta na parte

central do veículo. Os itens suporte em X e alojamento para mangueiras e sensor citados podem ser observados nos modelos apresentados nas figuras Figura 39 e Figura 40 respectivamente.



Figura 39 - Suporte para barra de rosca em forma de X.

Fonte: Do Autor (2023).

Figura 40 – Alojamento mangueiras e sensor de temperatura.



Fonte: Do Autor (2023).

3.5.10 Montagem dos modelos projetados

Com o auxílio do software *Fusion 360* foi feita a montagem detalhada de todos os elementos já discutidos, bem como também foi inserido os modelos de CAD dos motores e de outros elementos para ilustrar as suas posições no projeto. A montagem é mostrada na Figura 41 onde é mostrada a vista isométrica do veículo autônomo de superfície.

A concepção de todas as peças desenhadas no software foram feitas por meio de impressão 3D, onde as peças puderam ser dinamicamente fabricadas sem a necessidade de terceirização do processo, bem como a diminuição de custos com a prototipação das partes.

Ao todo foi gasto na impressão 3D de todas as peças a quantidade aproximada 2kg de filamento, sendo que todas as peças foram fabricadas em ABS, já que é um material interessante para a aplicação em protótipos e peças com destinação mecânica.

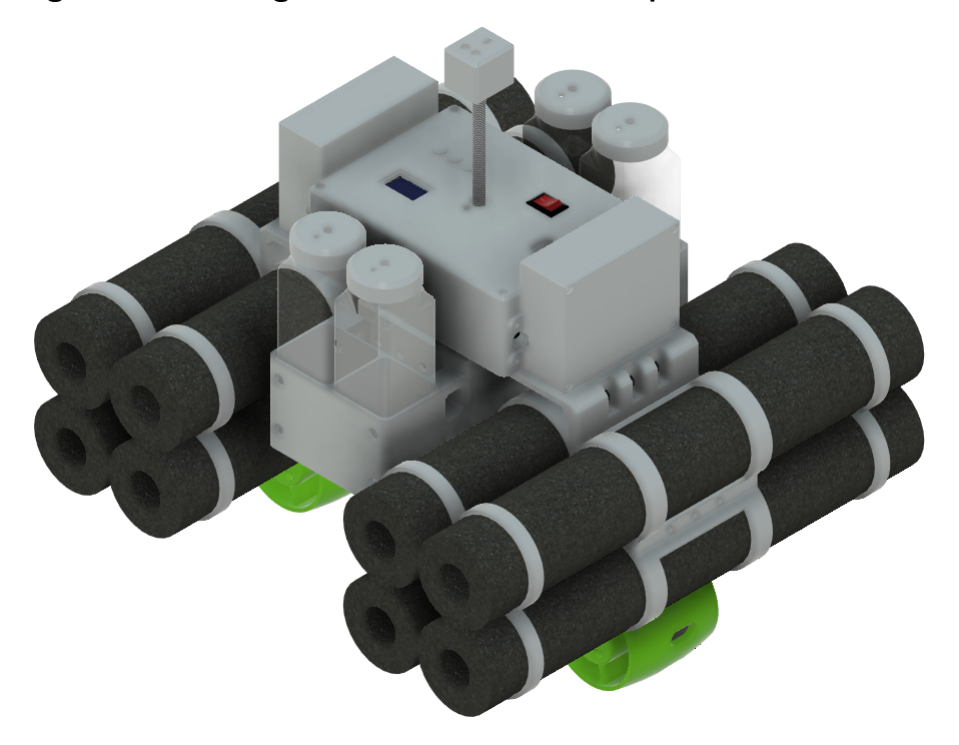


Figura 41 - Montagem de todos os elementos por meio de software.

3.6 Algoritmos implementados no projeto

O algoritmo do projeto é dividido em algumas partes essenciais para o controle de direção e locomoção do veículo autônomo de superfície por meio do acionamento dos motores com base nas orientações de GPS e de direção com o magnetômetro.

3.6.1 Rotina de calibração do magnetômetro

Com o intuito de remover as taxas de erro discutidas no Capítulo 2 deste trabalho, há uma parte no código que faz a calibração dos fatores de erro do magnetômetro com base nos valores medidos. Esta calibração é essencial, já que o campo magnético terrestre é diferente dependendo da localidade em que o veículo é posicionado. Isso se dá pela presença de materiais metálicos, magnéticos ou então por interferências eletromagnéticas próximas do sensor magnetômetro.

A parte do código que faz essa calibração pode ser acessada pela navegação do menu principal. Neste algoritmo de calibração, inicialmente são ajustados os parâmetros da biblioteca em seus valores máximos para que não influenciem na amostragem. A seguir, no decorrer de um loop de repetição são coletados os valores máximos e mínimos lidos pelo magnetômetro nos eixos x e y que são paralelos a superfície da terra, assim, a cada repetição é verificado se o valor medido é maior que o valor máximo já registrado, ou então se é menor que o valor

mínimo já registrado, sendo armazenado o ultimo valor toda vez que este extrapolar o atingido em uma repetição anterior. Com isso, vão sendo feitas várias medidas, sempre armazenando os maiores e menores valores para cada direção e para cada eixo, onde quando não há um novo registro por mais de 5 segundos, a calibração é finalizada assumindo que estes valores são os novos parâmetros de calibração para o sensor. Durante o processo de calibração e medição dos valores é essencial que o veículo esteja rotacionando para que sejam medidos o maior número possível de pontos. Por fim, com os parâmetros medidos, a biblioteca utilizada para o sensor magnetômetro pode internamente já fazer a correção das influencias por ferro macio e ferro duro das quais já foram discutidas neste trabalho. De modo que não seja necessário realizar a calibração todas as vezes que o dispositivo é reiniciado, os parâmetros de calibração são armazenados na memória EEPROM do microcontrolador ESP32.

Para exemplificar os dados medidos durante o processo de calibração do sensor magnetômetro, foram tomadas algumas amostras por meio do cartão micro SD, onde com o auxílio do MATLAB, foram feitas algumas correções nos valores obtidos da mesma forma que a biblioteca faz a calibração dos valores. Na Figura 42 é mostrado em azul os dados amostrados, onde percebe-se que os dados em azul possuem um comportamento de centro deslocado da origem e formato ligeiramente elíptico.

Nos pontos em laranja, é feita apenas uma correção de amplitude dos valores máximos e mínimos, assim formando uma figura perfeitamente circular, porém ainda deslocada. Esta é a calibração da interferência de ferro macio. Já nos pontos em amarelo, é feita apenas a correção de deslocamento, ainda mantendo o formato de elipse nos pontos amostrados, sendo que este é o efeito da interferência de ferro duro. Por fim, em roxo são aplicadas as duas correções, onde a forma da curva demonstra um círculo perfeito (quando considerando os pontos máximos e mínimos de x e y) e ao mesmo tempo este círculo é centralizado na origem. Esta é a forma ideal para se calcular o angulo magnético em relação ao norte por meio do magnetômetro.

3.6.2 Calculo de angulo com relação ao norte geográfico

Para realizar o cálculo da direção do norte geográfico, é feita uma amostragem dos valores de intensidades nos eixos x e y do magnetômetro, e então calculado o arco cuja tangente seja o angulo representado pelas duas parcelas medidas, ficando como mostrado na Equação 1, onde θ é o angulo apontado em graus.

$$\theta = \arctan\left(\frac{y}{x}\right) \tag{1}$$

Com o valor do angulo calculado, basta subtrair o valor da declinação magnética, e também limitar o valor entre 0 e 360 graus para que seja representado um círculo mesmo após inserir a correção da declinação magnética. Assim é obtido o valor do ângulo apontado com

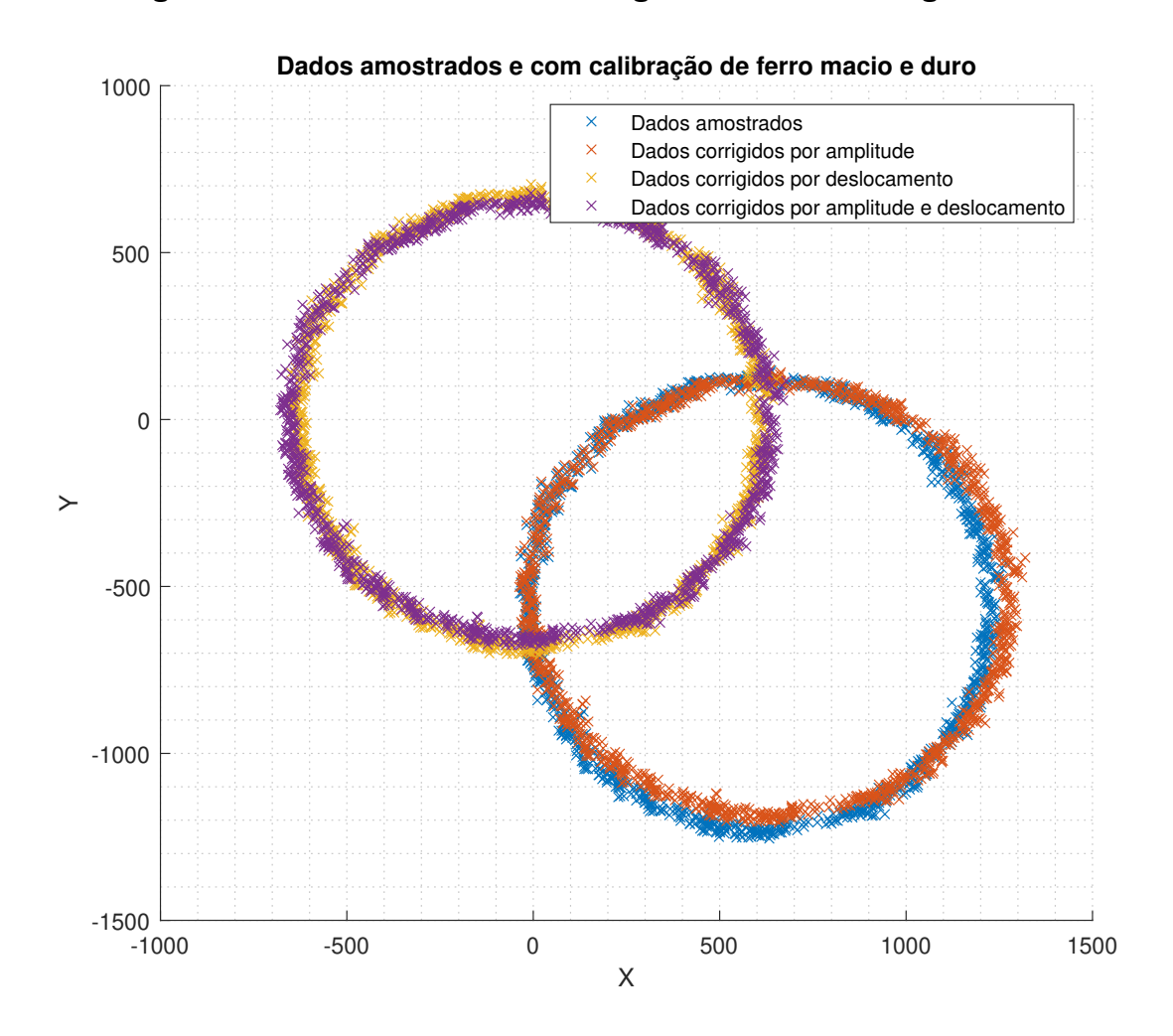


Figura 42 – Curvas amostradas e corrigidas obtidas com magnetômetro.

relação ao polo geográfico da terra. Este valor é importante para ser usado como parâmetro de controle de direção.

3.6.3 Leitura de coordenadas do cartão micro SD

A leitura de coordenadas do cartão é feita de uma maneira bem simples, fazendo a separação de cada string por um caractere especial de ";", assim, o algoritmo entende que a cada aparição de ";" é a conclusão de uma instrução, além disso, cada uma dessas strings lidas é separada em seções por ",", onde cada um dos parâmetros de entrada é dividido dessa forma. Com isso, em cada linha de instrução que é passada pelo cartão micro SD contém parâmetros de coordenadas alvo compostas por latitude e longitude, comando para realizar a coleta de dados climáticos do ponto e comando para sinalizar que no ponto da linha atual deve ser feita ou não uma coleta de amostra de água.

O código foi preparado para suportar até 20 entradas de coordenadas diferentes com pontos de coleta de amostras e coleta de dados.

3.6.4 Cálculo da direção entre a coordenada atual e coordenada alvo e a respectiva distância

Com a leitura das coordenadas atuais por meio da biblioteca TinyGPSPlus já discutida na subseção 3.1.3.2, ainda deve ser feito o cálculo da direção que deve ser apontado o veículo. Isso pode ser feito por meio da comparação entre as duas coordenadas conforme mostrado na Equação 2, onde λ é a coordenada de longitude, ϕ é a coordenada de latitude, e γ é o angulo que deve ser apontado em graus.

$$\gamma = \arctan\left(\frac{sen(\Delta\lambda) * cos(\phi_2)}{cos(\phi_1) * sen(\phi_2) - sen(\phi_1) * cos(\phi_2) * cos(\Delta\lambda)}\right)$$
(2)

Com este valor, é possível se ter a referencia de direção que pode ser usado como recurso para o controlador de direção. De forma orientativa para os testes, também é feito o calculo da distância entre as duas coordenadas baseando-se no raio da terra. A fórmula usada para calcular esta distância é a fórmula de Haversine, que é mostrada na Equação 3, Equação 4, e Equação 5.

$$a = sen^{2} \left(\frac{\Delta \phi}{2} \right) + cos(\phi_{1}) * cos(\phi_{2}) * sen^{2} \left(\frac{\Delta \lambda}{2} \right)$$
(3)

$$c = 2 * arctan\left(\frac{\sqrt{a}}{\sqrt{1-a}}\right) \tag{4}$$

$$d = R * c \tag{5}$$

Aqui também λ é a coordenada de longitude, ϕ é a coordenada de latitude, R é o raio da terra, que equivale a 6.371km, e d é a distância calculada. Se R for inserido na fórmula em metros, o resultado de d será em metros também, conforme obtido na Equação 5.

3.6.5 Controle de direção

A única planta de controle com resposta ajustada conforme erro é o controle de direção aplicado no projeto do qual baseia-se no calculo da diferença entre o ângulo que deve ser apontado e o angulo atual. O angulo que deve ser apontado é calculado baseando-se em coordenadas esféricas geográficas, e o angulo atual é corrigido com a declinação magnética no ponto em que é feito os testes. Sabe-se que na cidade em que os testes estão sendo realizados, cidade de Blumenau-SC, o valor da declinação magnética aproximada para o período do primeiro semestre de 2023 é de -19,85 graus decimais. Sabendo como calcular o erro, e

considerando uma planta genérica com controle PID aplicado, pode-se aproximar o sistema pela planta mostrada na Figura 43, em que o sinal de referência sempre será o angulo que deve ser apontado, a saída sendo o angulo que o veículo aponta em relação ao norte geográfico e o erro sendo a diferença entre os dois ângulos, que quando inserido na planta de controle, faz a mudança de direção pela atuação dos motores propulsores.

Figura 43 – Modelo de sistema semelhante ao encontrado no projeto.

Fonte: Do Autor (2023).

O algoritmo PID utilizado no projeto trata-se de um código genérico que faz a aferição da componente integral, com base em um tempo de amostragem determinado, a aferição da componente derivativa com o mesmo tempo de amostragem determinado, e por fim a componente proporcional que baseia-se apenas no valor do erro multiplicado por uma constante de proporção.

Como resultado do controlador PID há uma saída que corresponde a apenas a correção de direção do veículo, que quando somada a uma velocidade de base fixada, faz o deslocamento do veículo entre as coordenadas desejadas juntamente com a correção de curso baseada na direção apontada e orientação entre a coordenada atual e a coordenada alvo.

Assim como o ajuste de velocidade, o controle de direção também deve ser convertido em um sinal de ângulo para servo motores, que ao ser transmitido para o controlador eletrônico de velocidade, faz o acionamento dos motores correspondentes. Como o tipo dos controladores utilizados é para aplicação náutica, estes possuem o recurso de reversão de direção, o que faz ser possível o veículo mudar de direção mesmo parado, sem necessariamente haver um deslocamento entre o plano da superfície do corpo d'água.

Resumindo, a saída de controle da planta corresponde a apenas uma variável que é aplicada somando a velocidade base em um dos motores e subtraindo no outro. Como o ângulo aplicada a saída servo para que os motores estejam parados é 90 (pode ser de 0 a 180), então o valor é aplicado de maneira simétrica na atuação dos dois controladores eletrônicos de velocidade. Devido aos motores serem com hélices espelhadas, a simples aplicação do controle de direção dessa forma somada a velocidade ajustada é suficiente para poder controlar o veículo de forma autônoma e confiável.

Devido a planta estudada ter uma certa inércia intrínseca, bem como ser um sistema relativamente lento, o tempo de amostragem foi escolhido em 50 milissegundos, sendo que este tempo precisa ser considerado principalmente ao levar em conta de que o microcontrolador gasta um certo tempo para fazer outras funções que estão nas rotinas de monitoramento de dados para análise, bem como manter o display com informações atualizadas. Sendo assim, o tempo de ciclo não pode ser muito pequeno, já que caso o microcontrolador demore tempo demasiado em outras atividades, a atuação do algoritmo controlador começa a ser prejudicada. Já que a atuação do controlador sempre depende de informações atualizadas de localização e também de leitura do magnetômetro, não foram usadas interrupções para o cálculo do controle PID, assim dando o tempo de coleta dos dados dos sensores antes que a operação de cálculo fosse executada. Esse tipo de problema acontece devido ao controlador ser uma aproximação digital de um controlador ideal, onde os tempos de processamento precisam ser levados em conta, inclusive os tempos de coleta de dados dos sensores.

Os parâmetros PID foram ajustados da forma mostrada a seguir:

- Kp = 1;
- Ki = 0.005;
- Kd = 1;

Onde ainda é ajustado pelo menu de interface do projeto o percentual usado em cima de cada um desses valores, permitindo um certo ajuste sem a necessidade de reprogramar o sistema todo.

3.6.6 Algoritmo para realização de atividades nos pontos escolhidos

Uma das sub rotinas mais importantes para o escopo do trabalho é a que executa as atividades em cada uma das coordenadas escolhidas. Esta sub rotina é realizada por meio de um algoritmo curto, que interpreta os comandos de cada ponto de alvo programado pelo cartão micro SD. No algoritmo em questão, o microcontrolador verifica se há o comando de se realizar uma leitura de dados na coordenada alvo, coletando as amostras de temperatura da água por meio do sensor DS18S20, e dados de temperatura do ar, umidade relativa, e pressão atmosférica por meio do BME280 preparando os dados coletados em uma string para ser escrita no cartão micro SD. Caso também haja o comando de coletar amostras de água, o algoritmo permite a coleta de até 4 amostras no mesmo percurso, armazenando as amostras em cada um dos 4 recipientes de amostragem que são alocados na estrutura do veículo. A coleta de água é feita por meio das bombas de água que são acionadas sequencialmente de 1 até 4 dependendo do ponto de amostragem. Uma vez que todos os 4 reservatórios já sejam enchidos, o comando de coletar amostras se torna inativo para caso haja comandos futuros para a amostragem. Ao final de cada amostragem é feito um ponto de controle sendo armazenado no cartão micro SD

as informações sobre esse ponto com a data, hora e coordenadas de amostragem, dados sobre a amostragem de água e também sobre a amostragem dos demais sensores. Este algoritmo é executado em cada uma das coordenadas alvo que são colocadas no cartão micro SD.

3.6.7 Algoritmo de navegação

O algoritmo que faz a navegação do veículo é o responsável pela maior parte da automatização de todo o processo de controle autônomo. Este em questão é quem comanda cada uma das instruções e etapas do processo de navegação do veículo dando as informações necessárias para a atuação dos controles e comportamentos vistos na navegação. Aqui o algoritmo se inicia ajustando a velocidade do veículo com base na velocidade ajustada em um dos parâmetros do menu principal. Isto é importante já que o veículo pode operar dentro deste algoritmo sem a necessidade de ter o deslocamento linear pelo corpo d'água, dando a oportunidade de se realizar testes com o veículo parado, porém nesta etapa, os motores ainda não são acionados, já que este passo só é feito quando chamada a função de controle de PID. Depois que a velocidade de deslocamento é ajustada, as coordenadas atuais são armazenadas depois do último ponto lido do cartão micro SD, e então o algoritmo circula por cada um dos pontos dentre todos os pontos lidos, onde para cada um desses pontos, há um loop que mantém o microcontrolador atualizando os dados de localização por GPS, atualizando os dados do magnetômetro, calculando a distância entre a coordenada atual e a coordenada alvo, ajustando o controle PID e ainda gerando um registro de dados no cartão micro SD. Este loop se mantém até que a distância do alvo seja menor do que a precisão ajustada, assim quando o veículo está perto do ponto de controle, os motores são parados, e são realizadas todas as atividades necessárias no ponto escolhido. Ao terminar as atividades de um ponto, o loop segue para o próximo ponto, refazendo todos os passos até que todos os pontos programados sejam finalizados, e ainda retornando ao ponto de origem, já que este foi colocado como último ponto da lista de alvos. Vale ressaltar que este algoritmo só inicia quando o GPS possui coordenadas válidas, sendo que isso é informado pela própria biblioteca *TinyGPSPlus*.

3.7 Programa criado em VBA e excel para a entrada de coordenadas

Para tornar mais fácil a entrada de coordenadas no arquivo txt que é colocado no cartão micro SD, foi criada uma pequena planilha de Excel juntamente com VBA (*Visual Basic for Applications*) para que a importação das coordenadas seja rápida e prática. A planilha mostrada na Figura 44 permite a inserção de dados de coordenadas clicando no botão "+", e assim colocando as coordenadas diretamente obtidas no *Google Maps*, como por exemplo "-23.551111088229337, -51.42749314246813" onde as coordenadas de latitude e longitude são separadas por vírgula respectivamente e o separador decimal usado é o ponto.

Figura 44 – Planilha com interface gráfica por VBA construída.

Como o Excel entende a vírgula como separador decimal, precisaria ser feito um pequeno ajuste de valores para que as coordenadas fiquem no formato correto. Além disso, também é necessário agrupar as instruções de coleta de dados e de coleta de amostras de água respectivamente na linha de comando entendida pelo projeto. Ao final de cada linha de comando também é importante inserir um caractere ";" indicando que chegou ao fim da instrução, assim, se considerar que neste ponto mencionado como exemplo seja necessária a coleta de amostra de água, mas não coleta de dados climáticos, deve-se ficar na forma "-23.551111088229337, -51.42749314246813, 0, 1;" com um caractere de quebra de linha ao final. Esta operação é relativamente trabalhosa para se fazer manualmente todas as vezes, mas com o auxílio da planilha elaborada a tarefa se torna muito mais rápida. Com a mesma planilha é possível gerar um arquivo chamado "coordenadas.txt" onde este arquivo já é pronto para ser inserido no cartão micro SD.

4 RESULTADOS

Como resultado do trabalho, inicialmente há a necessidade de se adquirir todos os componentes usados no projeto, que estão listados na Tabela 1, sendo que a soma de todos os itens adquiridos ficou em R\$1020,01. A cotação de todos os itens foi feita no primeiro semestre de 2023, sendo que os valores são aplicados para cada unidade de cada item.

Tabela 1 – Lista de materiais

Item	Qtd.	Qtd. Ref.	Descrição	Valor	
1	1	un.	ESP32 WROOM32 DOIT KIT V1	R\$21,58	
2	1	un.	Modulo GPS GY-NEO6MV2	R\$32,99	
3	1	un.	Conversor buck ajustável	R\$1,84	
4	1	un.	Módulo BME280 3.3v	R\$31,86	
5	1	un.	Módulo QMC5883L	R\$7,01	
6	1	un.	Sensor DS18S20 inoxidável	R\$3,04	
7	1	un.	Módulo leitor de cartão micro SD	R\$2,44	
8	1	un.	Display OLED I2C 0.96' 128x64	R\$13,63	
9	2	un.	Suporte para 3 baterias 18650	R\$8,82	
10	6	un.	Bateria 18650 3,7V 2600mAh LGDB318650	R\$153,92	
11	2	un.	ESC ZTW Shark 40A SBEC G2	R\$149,32	
12	2	un.	Motor SkyArea BLDC 1450KV 17A 12-24V	R\$170,56	
13	4	un.	Bomba de água ZR370-05PM 12V	R\$58,92	
14	4	un.	Mosfet IRFZ46N	R\$16,00	
15	4	un.	Optoacoplador 4N25	R\$5,32	
16	4	un.	Soquete estampado 6 pinos	R\$1,24	
17	1	un.	Barra de pinos fêmea 2,54mm	R\$1,72	
18	1	un.	Barra de pinos macho 180 graus 2,54mm	R\$0,78	
19	14	un.	Resistores 1/4w	R\$0,84	
20	4	un.	Diodo 1N4007	R\$0,64	
21	2	un.	Capacitor cerâmico 100nF 100v	R\$0,26	
22	1	un.	Capacitor eletrolítico 10uF 16v	R\$0,20	
23	1	un.	Capacitor eletrolítico 100uF 16v	R\$0,40	
24	1	un.	Chave gangorra KCD1-101	R\$0,99	
25	3	un.	Chave táctil KFC-A06 6x6x5mm	R\$0,54	
26	4	un.	Alojamento xh2.54 2 vias	R\$0,32	
27	2	un.	Terminal faston pré isolado 6.3mm	R\$0,76	
28	2	un.	Terminal faston macho para placa 6.3mm	R\$0,54	
29	2	un.	Placa fenolite virgem 10x20cm	R\$25,88	
30	27	un.	Terminal para alojamento xh2.54	R\$1,29	
31	5	un.	Conector para placa macho xh2.54 4 vias	R\$1,65	
32	1	un.	Conector para placa macho xh2.54 3 vias	R\$0,31	
33	4	un.	Conector para placa macho xh2.54 2 vias	R\$0,88	
34	4	un.	Alojamento xh2.54 4 vias	R\$0,52	
35	1	un.	Alojamento xh2.54 3 vias	R\$0,10	
36	10	mts.	Fios e cabos	R\$21,00	
37	3	mts.	Mangueira PVC 6x4mm	R\$30,00	
38	4	un.	Garrafa PEAD 200ml	R\$10,00	
39	2	un.	Flutuador espaguete polietileno 1,60m	R\$18,00	

(continua)

Tabela 1 – Lista de materiais

(continuação)

Item	Qtd.	Qtd. Ref.	Descrição	Valor R\$9,00	
40	1		Barra de rosca 8mm		
41	54	un.	Parafuso M3x16	R\$12,96	
42	8	un.	Parafuso M3x6	R\$1,36	
43	6	un.	Parafuso M3x35	R\$2,10	
44	24	un.	Parafuso M3x20	R\$5,88	
45	92	un.	Inserto de latão M3x5x5mm	R\$32,91	
46	1	un.	Tubo de Cola Quente	R\$1,00	
47	1	un.	Bisnaga de silicone 50g	R\$12,00	
48	2	kg	Filamento ABS GTMAX3D 1,75mm	R\$139,80	
49	1	pct.	Abraçadeira de Nylon 2,5 x 150 mm	R\$6,90	
Total				R\$1020,01	

Total

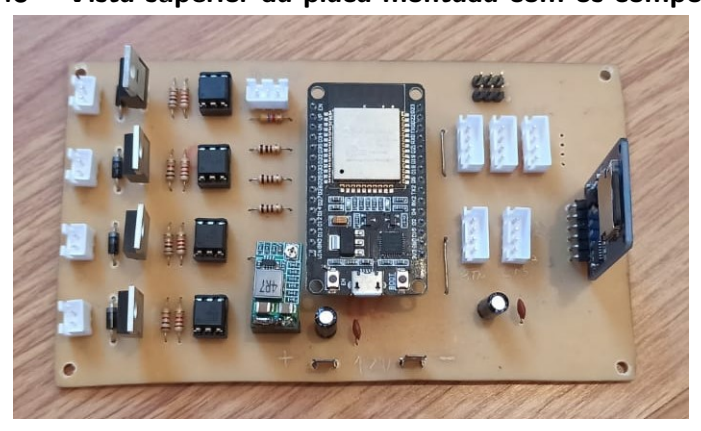
Fonte: do Autor

O valor totalizado representa a compra dos componentes para a construção de uma única peça do modelo projetado. Caso sejam produzidas unidades em lote, os valores tendem a ficar menores devido ao valor por atacado de cada componente.

4.1 Montagem da placa

Com os desenhos da placa principal elaborados, foi confeccionada a placa de circuito impresso, perfurada e estanhada para ter maior durabilidade a oxidação. Após a limpeza das placas, todos os componentes foram soldados, apresentando um encaixe perfeito com o que foi projetado, sendo que foi minuciosamente respeitada toda e qualquer orientação dos componentes no projeto inicial. A vista superior da placa montada com os componentes pode ser vista na Figura 45. Nota-se que foi excepcional o projeto mecânico antes da montagem dos componentes devido ao posicionamento dos furos e principalmente o leitor de cartão.

Figura 45 – Vista superior da placa montada com os componentes.



Na Figura 46 pode ser observado de forma detalhada como que ficou o processo de solda na vista do verso da placa montada. Foi tomado o cuidado de verificar a existência de possíveis curtos indesejados antes da primeira energização, sendo que este é um fato que pode ocorrer devido ao processo ser artesanal e característico de prototipação.

VICIAL AFFICIAL SECTION OF THE PROPERTY OF THE

Figura 46 – Verso da placa montada com os componentes.

Fonte: Do Autor (2023).

4.2 Montagem das bombas

A montagem das bombas de água seguiu da forma que foi orientada no projeto. Inicialmente são posicionadas duas bombas na parte de baixo da caixa das bombas, onde as bombas ficam alojadas de forma encaixada na caixa, conforme mostrado na Figura 47.



Figura 47 – Montagem das duas primeiras bombas na caixa.

Fonte: Do Autor (2023).

Em seguida deve ser montada a trava central, fixando as duas bombas de baixo com parafusos, e em seguida são montadas as duas bombas superiores sobre a trava central, e por fim é montada a trava superior, fixando as duas bombas superiores na trava central, que é fixada na base da caixa segurando as bombas inferiores como se fosse um sanduíche. A montagem das bombas superiores apenas com a trava superior e a trava central fora da caixa é mostrada na Figura 48.



Figura 48 – Bombas montadas com a trava central e a trava superior.

Fonte: Do Autor (2023).

Após a montagem das bombas em sua respectiva caixa, foram instaladas as mangueiras de PVC e também travadas com abraçadeiras de nylon de forma que não seja fácil de ocorrer alguma desconexão que possa causar vazamentos de água dentro da caixa. Além disso, como pode ser visto na Figura 49 os orifícios dos quais poderiam haver a entrada de água foram selados com silicone, focando principalmente na parte de entrada e saída das mangueiras de água, onde há a presença de mais furos, bem como a saída dos cabos, dos quais foram agrupados por meio de uma malha náutica, melhorando a sua estética.

Ao fim, a tampa da caixa também foi selada com silicone para evitar a entrada indesejada de água inclusive por cima da caixa.



Figura 49 – Bombas montadas na caixa e seladas com silicone.

4.3 Montagem dos flutuadores e motores

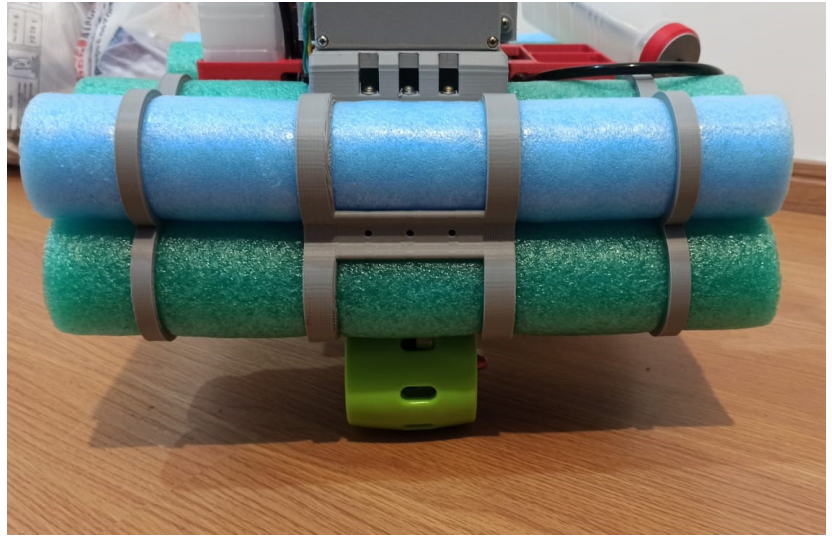
Para a montagem dos flutuadores de forma que fiquem firmes entre si, eles devem ser montados juntamente com os anéis de sustentação e com a estrutura central dos motores. Inicialmente os flutuadores são colocados apenas com um dos lados dos anéis para manter a sua posição fixa, como é mostrado de forma similar a organização dos respectivos flutuadores na Figura 50.

Assim, os flutuadores e os motores são montados com os anéis de sustentação e a estrutura de sustentação dos motores para cada um dos dois lados do veículo. Na Figura 51 é mostrado como que é o posicionamento destes itens por uma vista lateral. Nota-se que neste ponto a estrutura já possui bastante estabilidade, que é necessária para manter o veículo sem grandes dificuldades de locomoção.



Figura 50 - Flutuadores montados nos anéis de sustentação.





Fonte: Do Autor (2023).

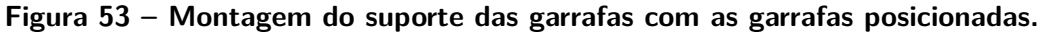
4.4 Montagem dos suportes de garrafas

Com o intuito de ter o lugar para armazenar as garrafas onde ficam armazenadas as amostras de água coletadas, são instalados os suportes de garrafas desenvolvidos juntamente na caixa das bombas, como pode ser mostrado na Figura 52.

Aqui as garrafas são posicionadas com a possibilidade de serem facilmente removidas pelo operador, assim, as mangueiras são instaladas nas tampas desenvolvidas, mantendo um respiro para que não haja problemas relacionados a pressão dentro das garrafas.



Figura 52 – Suporte de garrafas montado.





Fonte: Do Autor (2023).

4.5 Montagem do suporte do magnetômetro e sensor de temperatura, umidade e pressão

De forma a manter o sensor magnetômetro longe da interferência eletromagnética dos motores e ao mesmo tempo manter também o sensor BME280 longe de possíveis respingos

indesejados, foi montado o suporte destes dois sensores na parte superior do veículo, localizado no centro da tampa que coincide com o centro de giro do veículo também. Na Figura 54 pode ser visto o sensor de temperatura, umidade relativa e pressão localizado na parte superior e encapsulado de forma segura.



Figura 54 - Vista interna do sensor BME280.

Fonte: Do Autor (2023).

Como pode ser visto na Figura 55 é mostrada a montagem do suporte dos sensores na parte superior da tampa da caixa das placas. Nota-se que o posicionamento é estratégico e pode ser ajustada pela barra de rosca a direção em que é apontado os eixos x e y do magnetômetro.



Figura 55 – Vista superior com o sensor posicionado e tampa montada.

4.6 Montagem do suporte de mangueiras e sensor de temperatura

Para manter as pontas das mangueiras e o sensor de temperatura da água sempre submersos, foi montado na parte inferior, juntamente com o suporte em X, a estrutura que segura estes componentes como visto na Figura 56. Aqui a altura da posição da ponta das mangueiras é aproximadamente no meio do eixo dos motores, garantindo a sua posição fixa na estrutura.



Figura 56 – Vista do suporte de mangueiras e sensor montado.

4.7 Montagem final

Por fim, após a instalação de todos os componentes o projeto completamente montado é mostrado na Figura 57. Ao comparar esta figura com a Figura 41, nota-se que a montagem final do trabalho se assemelha muito ao que era esperado pelo desenho feito em software.

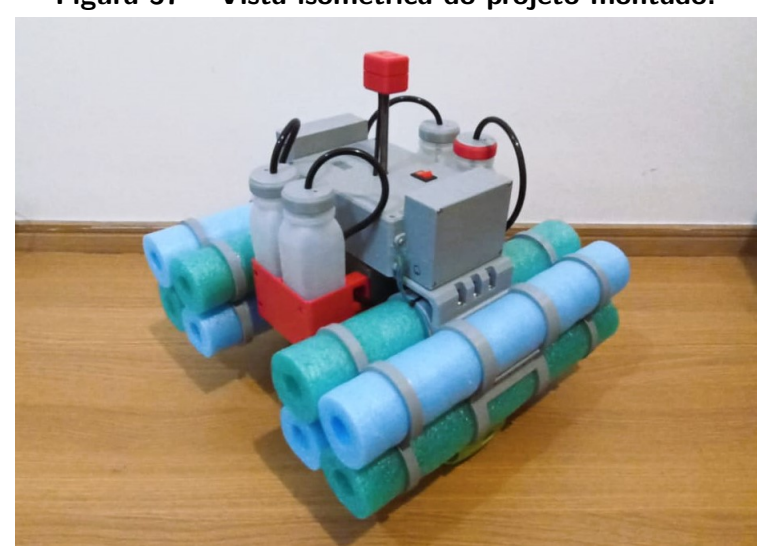


Figura 57 - Vista isométrica do projeto montado.

Fonte: Do Autor (2023).

Todas as medidas foram respeitadas de modo a não ter desvios consideráveis do projeto para o produto final. A partir deste ponto, ainda é necessário realizar os testes em campo e

verificar que todas as características das quais o projeto foi preparado estão condizentes com a sua operação.

4.8 Testes em ambiente seguro (sem água)

Para testar a capacidade do veículo de atender os comportamentos esperados conforme a programação feita para o projeto, foram estipuladas algumas coordenadas em terra firme para que seja possível ver a atuação dos motores enquanto o veículo é transportado com as mãos pelos pontos desejados. Assim, a ação controle de orientação pode ser monitorada pela inspeção de algumas variáveis por meio de um registro de dados no cartão SD. O Veículo foi carregado pelo estacionamento de um condomínio, onde foram apontadas ações a serem realizadas em algumas coordenadas espalhadas pelo estacionamento, assim pode ser monitorado o comportamento veículo que dará uma visão prévia de quando o mesmo for colocado no ambiente final de testes.

Para este evento de testes, foram determinados 5 pontos de coleta de dados, porém somando com o ponto inicial que também é considerado, assim totalizando 6 pontos. Neste teste inicial foi programado para simular uma coleta de água nos pontos 1, 2, 4 e 5 conforme mostrado na Tabela 2.

Tabela 2 – Pontos de alvo para o primeiro teste no estacionamento

Ponto	Latitude	Longitude	Fazer Leitura?	Coletar água?
1	-26.8103623	-49,1025558	Sim	Sim
2	-26.8103994	-49,1020046	Sim	Sim
3	-26.8103946	-49,1023211	Sim	Não
4	-26.8106914	-49,1023372	Sim	Sim
5	-26.8103718	-49,1023198	Sim	Sim

Fonte: Do Autor (2023).

Os dados de latitude e longitude atual e alvo foram apontadas na Figura 58, onde aqui é indicada a variação de distância conforme há a locomoção para os alvos e as respectivas coordenadas.

Nota-se que nos dados obtidos é alcançada uma precisão relativamente boa, dado que os pontos coletados são bastante precisos, porém aqui percebe-se que se caso a precisão solicitada for menor que entre 10 a 7 metros, fica bastante difícil alcançar o alvo de forma certeira. Outro fato a se notar é que há uma certa falha nos dados dos pontos 1, 2, 4 e 5 com um espaço de tempo sem dados, sendo provocada pelo tempo em que os motores das bombas de água estão ligados.

Na Figura 59 é mostrado um resumo de todas as coordenadas lidas durante este teste. Nota-se aqui que mesmo com uma taxa de precisão alta, o gps ainda pode indicar alguns erros de localização bastante consideráveis quando em espaços pequenos. Percebe-se também que durante o percurso, houve um certo desvio do ponto real e do ponto lido, onde durante

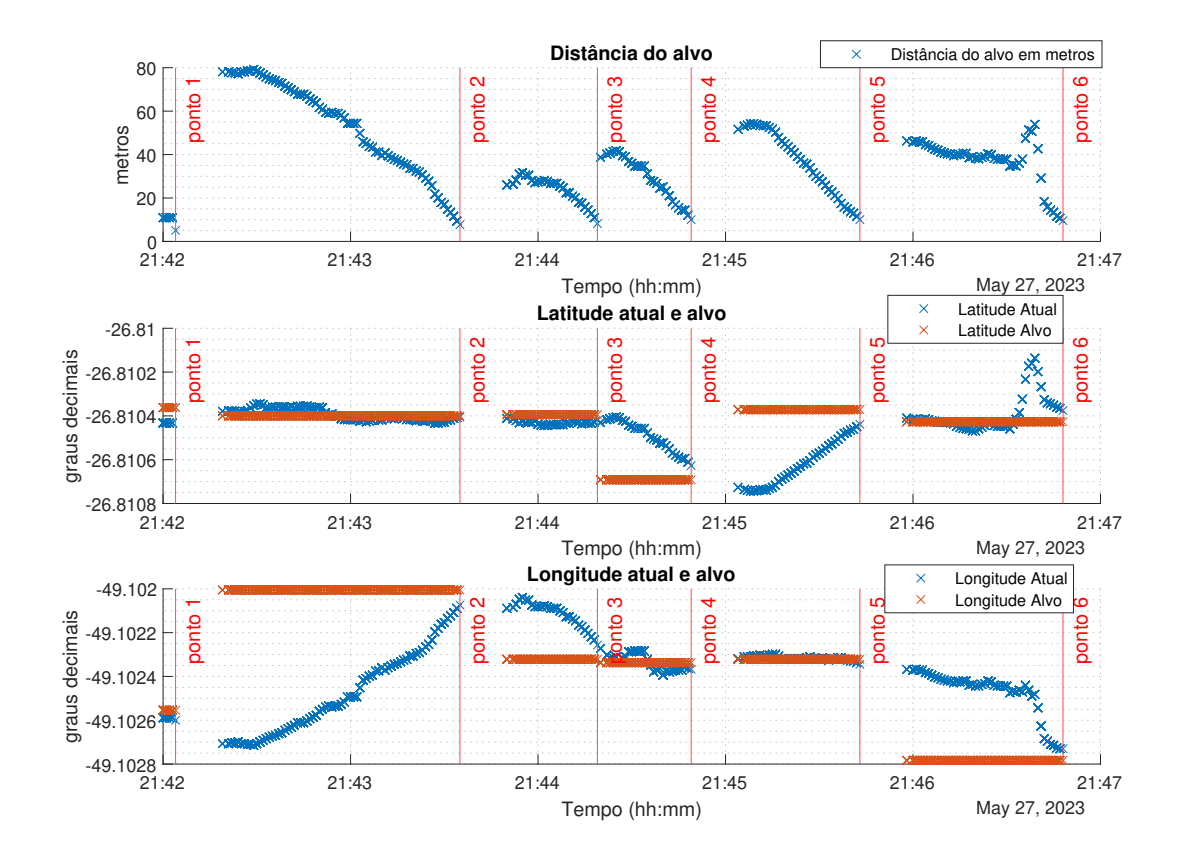


Figura 58 – Dados obtidos de posição e distancia do alvo.

os testes este desvio já estava sendo percebido pela atuação dos motores indicando que a caminhada estava fora de curso.

Na Tabela 3 são dados os valores de temperatura da água e do ar em graus Celsius, a pressão em hPa, a umidade relativa em percentual, e por último qual reservatório foi enchido.

Tabela 3 – Relatório de amostras no primeiro teste (estacionamento)

			-		•	•	
Hora	Latitude	Longitude	°C ar	UR%	hPa	°C Água	Res.
21:42:04	-26.8103619	-49.1026001	22.99	100,00	1014.73	22.50	1
21:43:35	-26.8104057	-49.1020737	22.83	100,00	1014.78	22.06	2
21:44:19	-26.8104210	-49.1022568	22.69	100,00	1014.79	22.00	NC
21:44:49	-26.8106270	-49.1023674	22.60	100,00	1014.86	22.00	3
21:45:43	-26.8104382	-49.1023445	22.42	100,00	1014.81	21.94	4
21:46:48	-26.8103752	-49.1027298	NC	NC	NC	NC	NC
	21:42:04 21:43:35 21:44:19 21:44:49 21:45:43	21:42:04 -26.8103619 21:43:35 -26.8104057 21:44:19 -26.8104210 21:44:49 -26.8106270 21:45:43 -26.8104382	21:42:04 -26.8103619 -49.1026001 21:43:35 -26.8104057 -49.1020737 21:44:19 -26.8104210 -49.1022568 21:44:49 -26.8106270 -49.1023674 21:45:43 -26.8104382 -49.1023445	21:42:04 -26.8103619 -49.1026001 22.99 21:43:35 -26.8104057 -49.1020737 22.83 21:44:19 -26.8104210 -49.1022568 22.69 21:44:49 -26.8106270 -49.1023674 22.60 21:45:43 -26.8104382 -49.1023445 22.42	21:42:04 -26.8103619 -49.1026001 22.99 100,00 21:43:35 -26.8104057 -49.1020737 22.83 100,00 21:44:19 -26.8104210 -49.1022568 22.69 100,00 21:44:49 -26.8106270 -49.1023674 22.60 100,00 21:45:43 -26.8104382 -49.1023445 22.42 100,00	21:42:04 -26.8103619 -49.1026001 22.99 100,00 1014.73 21:43:35 -26.8104057 -49.1020737 22.83 100,00 1014.78 21:44:19 -26.8104210 -49.1022568 22.69 100,00 1014.79 21:44:49 -26.8106270 -49.1023674 22.60 100,00 1014.86 21:45:43 -26.8104382 -49.1023445 22.42 100,00 1014.81	21:42:04 -26.8103619 -49.1026001 22.99 100,00 1014.73 22.50 21:43:35 -26.8104057 -49.1020737 22.83 100,00 1014.78 22.06 21:44:19 -26.8104210 -49.1022568 22.69 100,00 1014.79 22.00 21:44:49 -26.8106270 -49.1023674 22.60 100,00 1014.86 22.00 21:45:43 -26.8104382 -49.1023445 22.42 100,00 1014.81 21.94

Fonte: Do Autor (2023).

4.8.1 Primeiras dificuldades encontradas

Durante o primeiro evento de testes foram percebidos alguns problemas em relação a complexabilidade do local de testes. Devido ao local de testes ser um estacionamento, existe a

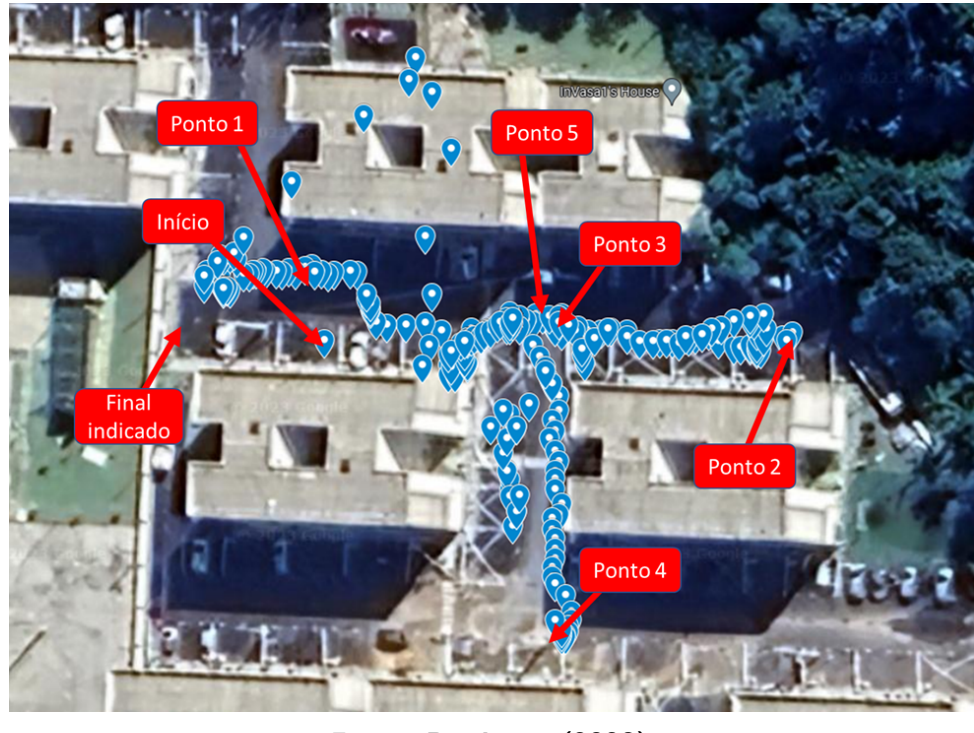


Figura 59 - Coordenadas amostradas e apontadas.

presença de edifícios altos que cercam o local de deslocamento do veículo que torna bastante difícil obter coordenadas válidas de geolocalização. Isso se dá pela visibilidade dos satélites ser apenas livre na direção vertical, assim dificultando bastante a triangularização das coordenadas. Isso pode ser percebido por um desvio mostrado na Figura 59, do qual indica que as coordenadas medidas estavam por cima de um dos edifícios. Por último, a presença de massas metálicas encontradas em grande volume próximo do local de testes também influencia na ação do magnetômetro, sendo que quanto mais próximo dos carros, maior a influência magnética dos metais é demonstrada. Todas essas condições não são esperadas em um ambiente de uso ideal, onde o veículo deve ser posicionado em ambiente apenas com água, geralmente onde não há a presença de grandes obstáculos metálicos ou edifícios altos próximos de sua localização.

4.9 Testes fora da água para ajuste do tempo das bombas

Como havia uma certa dificuldade de cálculo de tempo de sucção de cada bomba de água, onde não existem sensores de nível nas garrafas, bem como se torna complexo fato de o tempo de sucção ser diferente de quando as mangueiras estão cheias de ar ou cheias de líquido, o ajuste do tempo foi feito empiricamente. Para isso, foram feitos alguns ajustes no código para que ligasse as bombas por um pequeno tempo várias vezes até que fosse obtido um valor de tempo compatível com o volume de água de 200mL das garrafas. Após alguns testes com a sucção de água de recipientes controlados, o tempo de melhor ajuste foi de 14 segundos

em cada uma das garrafas. A Figura 60 mostra o esquema de posicionamento utilizado para verificação do tempo de enchimento das garrafas, onde em baixo do veículo foi posicionado um recipiente com água para a simulação das coletas.

Figura 60 - Esquema de posicionamento do veículo para simulação de coleta de água.

Fonte: Do Autor (2023).

4.10 Testes em piscina pequena com água

Para validar os cálculos de flutuação, e também verificar o controle de direção do veículo mediante pequenas perturbações com o ajuste de velocidade máxima em zero (apenas controle de direção sem deslocamento) o veículo foi colocado em uma pequena piscina com baixo nível de água para que fossem realizados os testes. Na Figura 61 é mostrada a piscina em que foram realizados os testes, sendo que esta é uma piscina infantil com tamanho aproximado de 5 metros de comprimento por 2 metros de largura. A piscina fica localizada no mesmo condomínio em que foram realizados os testes pelo estacionamento, e estava inoperante devido a um processo de reforma, porém ainda estava parcialmente cheia com aproximadamente 30cm de altura de água.

Na Figura 62 é mostrado o veículo já posicionado dentro da água, onde o veículo já demonstrava a estabilidade esperada devido ao formato de sua estrutura que foi discutido no Capítulo 3 deste trabalho. Mesmo causando algumas perturbações o veículo possui estabilidade em seu eixo de giro, bem como também estabilidade em seu balanço, sem que hajam inclinações consideráveis em sua estrutura.

Neste primeiro teste de flutuabilidade, nota-se que o veículo atende bem o que era esperado com relação as espumas utilizadas como flutuadores, onde a altura da água não chegou a tocar o compartimento das bombas de água na parte inferior da estrutura. Isto pode ser visto na Figura 63, onde é mostrada uma vista lateral indicando que a altura da água alcançada não chega a cobrir a base dos suportes de garrafas.



Figura 61 – Piscina em que foi realizado o primeiro teste em água.



Figura 62 – Veículo posicionado dentro da piscina.

Fonte: Do Autor (2023).

Nos primeiros testes feitos em água, foi ajustado uma direção fixa para que o veículo aponte, assim, poderia ser verificado o esforço do veículo para corrigir a sua direção. Durante esse teste foram alterados manualmente os parâmetros PID até que se obtivesse um controle

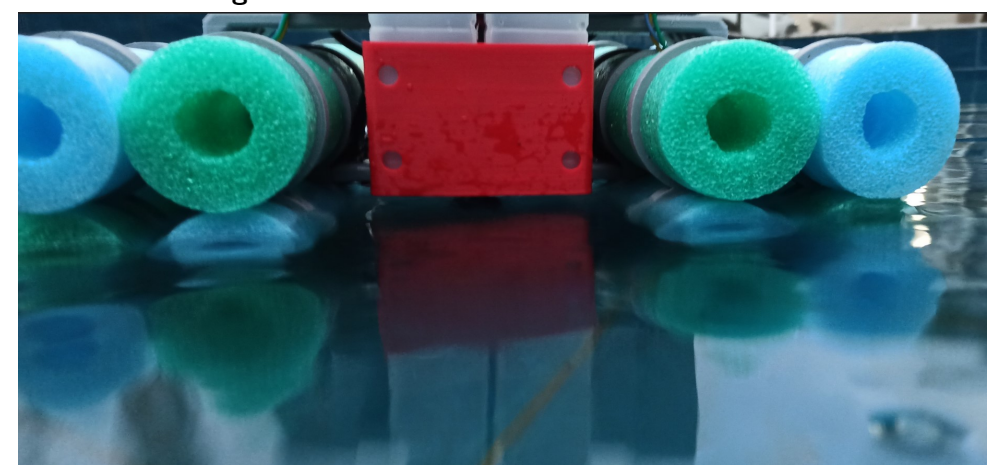


Figura 63 - Altura de submersão do veículo.

satisfatório sem grandes variações inesperadas, porém o ajuste foi apenas visual e empírico. Para os ensaios, inicialmente foi ajustado o parâmetro Kp em 10% do valor total, e assim foi possível ver que o sistema não seria perfeitamente controlado apenas com a ação proporcional, já que ficou com um comportamento oscilatório. A seguir foi incrementado o valor do controle derivativo, até 30%, o que fez diminuir consideravelmente a oscilação, porém ainda não era satisfatório, pois quando o veículo apontava para a direção próxima a desejada, os motores não exerciam esforço o suficiente para corrigir pequenos erros, que ao todo pode ser considerado um erro de regime. Por fim, foi adicionada a ação do controle integrador, fazendo com que o erro de regime ficasse bem pequeno, quase nulo, com apenas 4% do seu valor total para o parâmetro Ki. Após estes testes, foram feitos mais alguns ensaios de locomoção para verificar o funcionamento dos motores em água, e percebe-se que os motores são bastante potentes e atendem até acima das necessidades do veículo, o que cria a possibilidade para o uso do veículo em outras aplicações. Em relação a dinâmica do sistema quando em condições próximas a aplicação real foi possível verificar que a inercia do veículo é bem pequena nas curvas e no deslocamento, sendo que o veículo para quase que imediatamente quando não há a atuação dos motores. Isso pode ser devido a frente dos flutuadores não serem perfeitamente hidrodinâmicas, o que no final das contas acaba sendo uma vantagem para o trabalho, já que torna um comportamento mais controlado. Com os dados obtidos neste teste, já seria possível colocar o veículo em condições mais complexas e reais para testes, que são as próximas etapas discutidas neste trabalho.

4.10.1 Dificuldades encontradas o teste realizado em água dentro de piscina

Uma limitação nos testes realizados ficou por conta do espaço que a piscina possui, onde entre as duas pontas mais distantes da piscina, para fins de orientação de GPS não são considerados na prática como pontos diferentes, o que dificulta bastante quando necessita-se

ter um controle de posição em dispositivos geo localizados. Com isso, ao tentar inserir algumas coordenadas geográficas dentro da piscina, devido a tolerância estipulada de 8 metros, não foi possível fazer o teste de deslocamento de forma efetiva.

4.11 Testes do veículo em condições reais

Para serem realizados os testes em condições reais, foi selecionado um lago cujas dimensões fossem suficientes para provocar a variação das coordenadas de GPS que são necessárias para a orientação e locomoção do veículo. O lago em questão fica dentro da propriedade do Recanto Fritzke em Blumenau, do qual possui área de aproximadamente $2.256m^2$ sendo um lago bem tranquilo, sem grandes perturbações ou obstáculos que pudessem atrapalhar os testes de alguma forma. A vista de cima do lago é mostrada na Figura 64.



Figura 64 – Vista do lago do Recanto Fritzke por satélite.

Fonte: Adaptado de (GOOGLE, 2023).

4.11.1 Primeiro teste no lago

Para fazer um teste inicial com algumas coordenadas dentro do lago, foi separado uma lista de pontos no roteiro do veículo para serem alcançados durante o percurso dele no lago. Estes pontos foram apontados inicialmente em um conjunto de possíveis pontos escolhidos antes da visita no local, visando evitar problemas que pudessem ser causados pela falta de conexão a internet no local de testes para a verificação das coordenadas no mapa. Os pontos que poderiam ser indicados são listados na Tabela 4. Nota-se que existem mais de 4 pontos para coleta de água, apontados propositalmente para verificar a limitação de coleta de água por meio das bombas do veículo, conforme previsto pelo algoritmo.

Tabela 4 - Pontos de alvo para o primeiro teste no lago

Ponto	Latitude	Longitude	Fazer Leitura?	Coletar água?
1	-26.74865051	-49.09137955	Sim	Não
2	-26.74872799	-49.09146767	Sim	Sim
3	-26.74853792	-49.09146631	Sim	Não
4	-26.74847618	-49.09155037	Sim	Sim
5	-26.74881757	-49.09158833	Sim	Sim
6	-26.74834785	-49.09156392	Sim	Sim
7	-26.74847618	-49.09155037	Sim	Sim

De forma a ilustrar onde ficam cada um desses pontos, foi gerada uma imagem no Google Maps que representasse a ordem dos destinos a serem alcançados. Isto é mostrado na Tabela 4, onde são numerados todos os pontos no mapa. Nota-se que quando é necessário o veículo apontar para o mesmo ponto mais de uma vez, o número é mostrado com um valor diferente respectivo da ordem do ponto ao lado do local indicado.

© 6

7 4

3 3

1) 1

2) 2

5 5

Figura 65 - Rota programada para o primeiro teste no lago.

Fonte: Adaptado de (GOOGLE, 2023).

Para que seja possível verificar o funcionamento do controle do veículo, o parâmetro de velocidade foi ajustado em 20% da velocidade máxima do veículo, o parâmetro de ajuste percentual de Kp foi ajustado em 20%, e os parâmetros percentuais de Ki e Kd foram ajustados em 4% e 30% respectivamente. Neste teste, a precisão ajustada para o alvo se manteve em 8 metros de distância para validar que o veículo está no ponto desejado. Ao colocar o veículo na água, uma vez que todos os sensores já estejam calibrados e o GPS conectado com os satélites, iniciou-se o processo de navegação como ilustrado pela fotografia na Figura 66.

Com estes parâmetros o veículo fez a navegação sequencial nos pontos marcados, apresentando o traçado mostrado na Figura 67. Aqui pode-se perceber que o veículo possui



Figura 66 - Veículo durante o processo de navegação.

um deslocamento quase linear entre cada um dos pontos, tendo apenas uma pequena variação na direção que deixa os rastros de navegação um pouco curvos.



Figura 67 - Rota do veículo durante a navegação do primeiro teste no lago.

Fonte: Adaptado de (GOOGLE, 2023).

Como resultado, o veículo apresentou a variação de coordenadas e distância do alvo conforme mostrado na Figura 68, onde é demonstrado pelas curvas que o veículo de forma autônoma ajustou para os pontos de alvo, e realizou a locomoção até cada um dos pontos de forma autônoma.

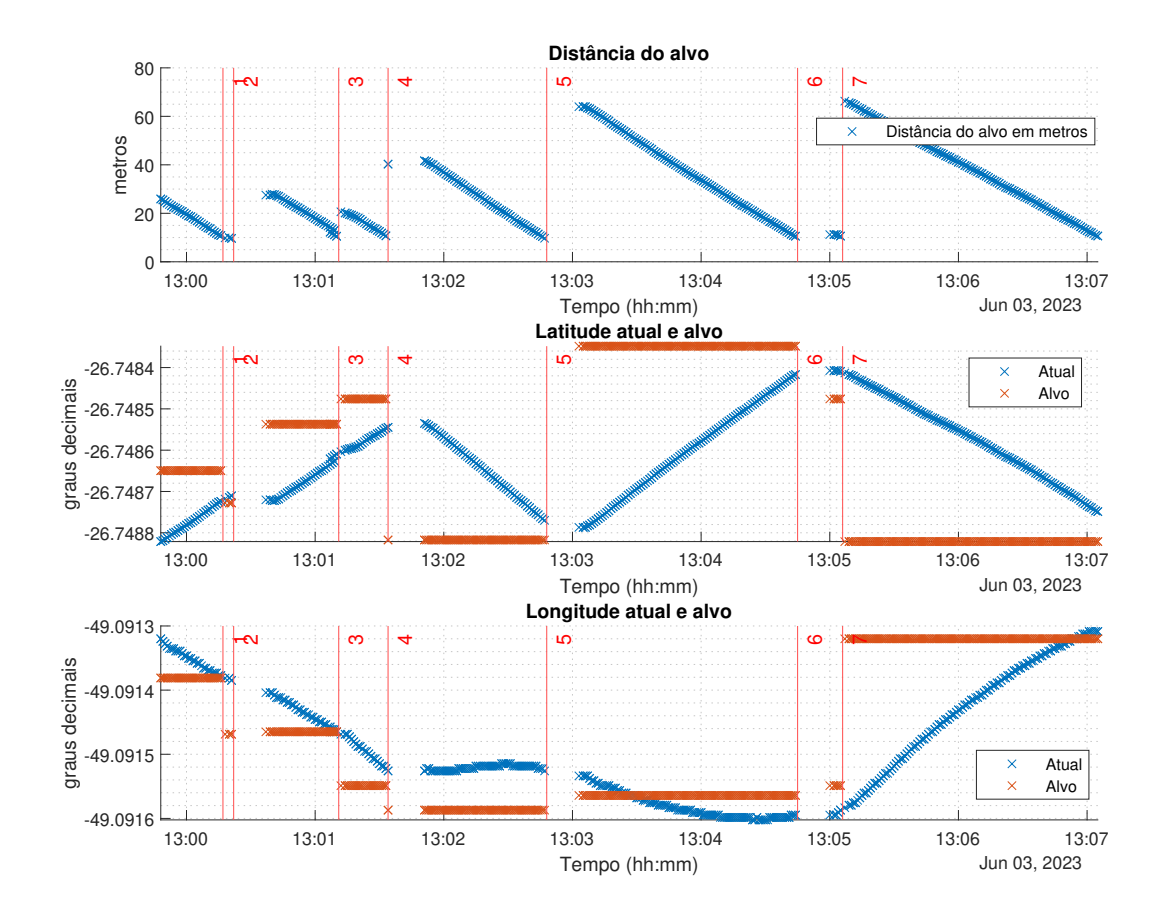


Figura 68 - Dados obtidos com a amostragem do primeiro teste no lago.

Com os dados de variação de distância por tempo para os valores ajustados, é possível afirmar que quando a locomoção é linear, o veículo alcança uma velocidade de deslocamento aproximada de 0.47m/s, onde ao somar todos os deslocamentos executados resulta em um valor total de aproximadamente 214 metros.

Durante o percurso, foi medida também a variação do ângulo apontado para o ângulo alvo, assim é possível observar a atuação do controle de direção para cada um dos pontos como pode ser visto na Figura 69.

Uma coisa a se notar neste gráfico é que pelas pequenas diferenças entre os dois motores, e pela ligeira assimetria da estrutura do veículo, e principalmente devido a um dano ocasionado na estrutura do sensor magnetômetro durante o transporte para o local de teste, os dados amostrados indicam que o veículo tende a apontar para um dos seus lados, porém, esta diferença é compensada pelo controlador, sendo corrigida em tempo real conforme o veículo se move sobre a superfície da água. Para indicar a variação do valor do erro, foram amostrados os valores de erro calculados pelo microcontrolador durante todo o período de navegação, como é apresentado na Figura 70. Com os dados obtidos, pode-se afirmar com bastante certeza de que a atuação do controle é bem eficiente para o veículo durante a navegação, já que o

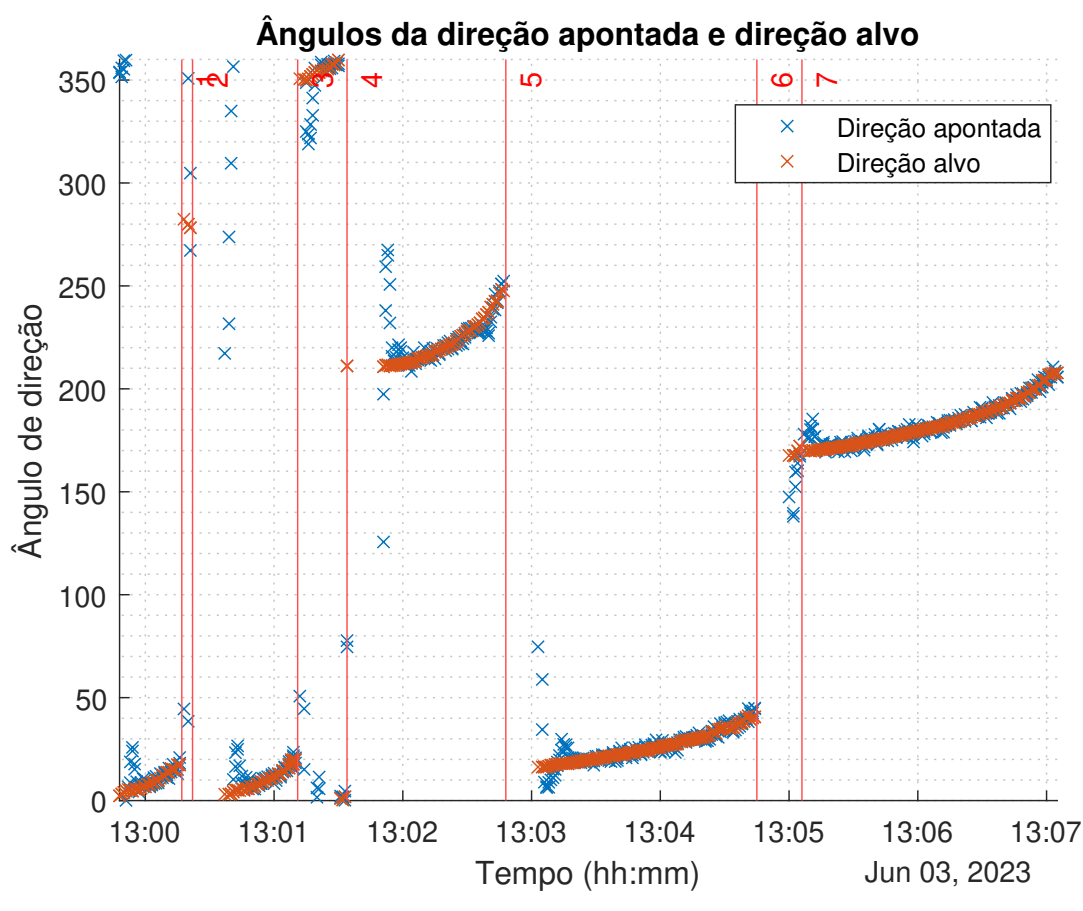


Figura 69 — Diferença dos ângulos apontados para os ângulos alvos durante o primeiro teste no lago.

tempo de estabelecimento é bastante pequeno, e ainda não é observada a oscilação do sistema durante a navegação.

Por fim, na Tabela 5 são mostrados os dados coletados em cada um dos pontos visitados. Aqui, um detalhe a se observar é que no ponto 7 não foi coletada amostra de água, mesmo tendo o comando para coleta neste ponto do roteiro de navegação, porém há uma notificação no relatório de coleta com a mensagem "Todos os reservatórios cheios, nenhum enchido" indicando que este ponto era um ponto de coleta, porém não foi coletada nenhuma amostra de água.

Na Figura 71 é mostrado como que as amostras de água são trazidas de volta ao ponto de origem, sendo que cada amostra contém aproximadamente 200mL.

4.11.2 Segundo teste no lago

Para validar a construção do trabalho mais uma vez, foram separados mais alguns pontos para coleta, em que agora, os pontos são mais variados, permitindo uma navegação maior do veículo no decorrer do lago, assim demonstrando mais as suas capacidades. Os pontos

Erro calculado nos instantes de teste 100 erro 80 60 40 Erro calculado 20 0 -20 -40 -60 -80 13:01 13:03 13:04 13:06 13:00 13:02 13:05 13:07 Tempo (hh:mm) Jun 03, 2023

Figura 70 – Amostragem dos valores de erro durante o primeiro teste no lago.

Tabela 5 – Relatório de amostras do primeiro teste no lago.

Νo	Hora	Latitude	Longitude	°C	UR%	hPa	°C Água	Res.
1	13:00:17	-26.7487202	-49.0913811	20.88	97.09	1018.41	21.12	NC
2	13:00:22	-26.7487125	-49.0913925	20.95	97.08	1018.45	21.12	1
3	13:01:11	-26.7486057	-49.0914650	21.79	94.51	1018.41	21.12	NC
4	13:01:34	-26.7485447	-49.0915260	22.18	91.86	1018.38	21.12	2
5	13:02:48	-26.7487736	-49.0915260	23.09	89.85	1018.41	21.19	3
6	13:04:45	-26.7484131	-49.0915947	24.53	85.96	1018.39	21.00	4
7	13:05:06	-26.7484131	-49.0915833	24.65	82.34	1018.37	21.00	NC
8	13:07:06	-26.7487526	-49.0913086	NC	NC	NC	NC	NC

Fonte: Do Autor (2023).

escolhidos são mostrados na Tabela 6, onde o veículo pode até passar pelos mesmos pontos mais de uma vez com o intuito de otimizar as rotas para evitar os poucos obstáculos que estavam presentes na água durante os testes.

Dessa forma, os pontos escolhidos são apresentados na Figura 72, ordenados numericamente conforme indicado. Nessa segunda rodada de testes no lago buscou-se atingir pontos mais distantes que não foram visitados no primeiro teste, resultando numa quantidade de 12 pontos, incluindo o ponto inicial que deve ser o ponto de retorno.



Figura 71 - Amostra de água coletada do lago.

Tabela 6 - Pontos de alvo para o segundo teste no lago

Ponto	Latitude	Longitude	Fazer Leitura?	Coletar água?
1	-26.74865051	-49.09137955	Sim	Sim
2	-26.74881757	-49.09158833	Sim	Não
3	-26.74834785	-49.09156392	Sim	Sim
4	-26.74872799	-49.09146767	Sim	Sim
5	-26.74853792	-49.09146631	Sim	Sim
6	-26.74884542	-49.09145547	Sim	Sim
7	-26.74901491	-49.09155037	Sim	Sim
8	-26.74884542	-49.09145547	Sim	Não
9	-26.74901491	-49.09158562	Sim	Não
10	-26.74872799	-49.09146767	Sim	Não
11	-26.74860087	-49.09159917	Sim	Não
12	-26.74865051	-49.09137955	Sim	Não

Fonte: Do Autor (2023).

Para o segundo teste no lago, os parâmetros de controle foram alterados para se obter uma ação menos agressiva do veículo, porém com velocidade de deslocamento maior, aumentando a sua velocidade de 20% para 30%, e os ajustes percentuais dos parâmetros Kp, Ki e Kd para 20%, 4% e 40% respectivamente. Com este ajuste de parâmetros espera-se que o veículo demore mais para entrar em regime durante as curvas, mas também fazendo curvas mais suaves com raio maior. Uma das motivações para a alteração dos parâmetros é a necessidade de verificação de mudança de comportamento no controle do veículo, assim sendo possível observar pelos dados coletados. Outro fator ajustado na programação foi o valor da precisão necessária para validação de localização, onde antes o valor era de um raio de 8 metros, agora é de 3 metros, sendo uma condição de teste muito mais ousada, porém confiável devido a grande abertura de espaço do local.



Figura 72 - Rota programada para o segundo teste no lago.

Fonte: Adaptado de (GOOGLE, 2023).

Como resultado, o veículo demonstrou a rota ilustrada pela Figura 73, sendo agora um percurso muito maior também com uma variedade maior de locais visitados. Ao todo o percurso equivale a aproximadamente 408 metros de distância.

Na Tabela 7 é indicado o relatório de coleta de todos os 12 pontos especificados no roteiro, bem como também pode-se notar que foram feitas apenas as 4 amostragens de água, descartando as demais solicitações para esta atividade assim que todos os reservatórios estavam cheios.

Com os dados coletados mostrados na Figura 74 já é possível afirmar que o reflexo na alteração de velocidade resultou em 0.79m/s, quase dobrando a velocidade encontrada anteriormente. A não linearidade da alteração do parâmetro se dá pela dinâmica do sistema não ser linear, assim mesmo com uma alteração de 20% para 30% da velocidade máxima, o reflexo no comportamento do veículo é grande.

Outro fator que se pode observar pelas variações de latitude e longitude é que como a variação de latitude é maior entre cada um dos pontos, a variação de longitude aparenta ser mais suave, mas isso se dá apenas pela escala do gráfico apresentado. Outro ponto de atenção no gráfico é que no quesito de deslocamento, o ajuste dos parâmetros PID não fizeram diferença, já que não estão diretamente relacionados ao deslocamento linear do veículo.

Observando os resultados de variação angular do veículo pela Figura 75 pode-se ver com bastante destaque que a alteração nos parâmetros PID realmente apresentaram uma

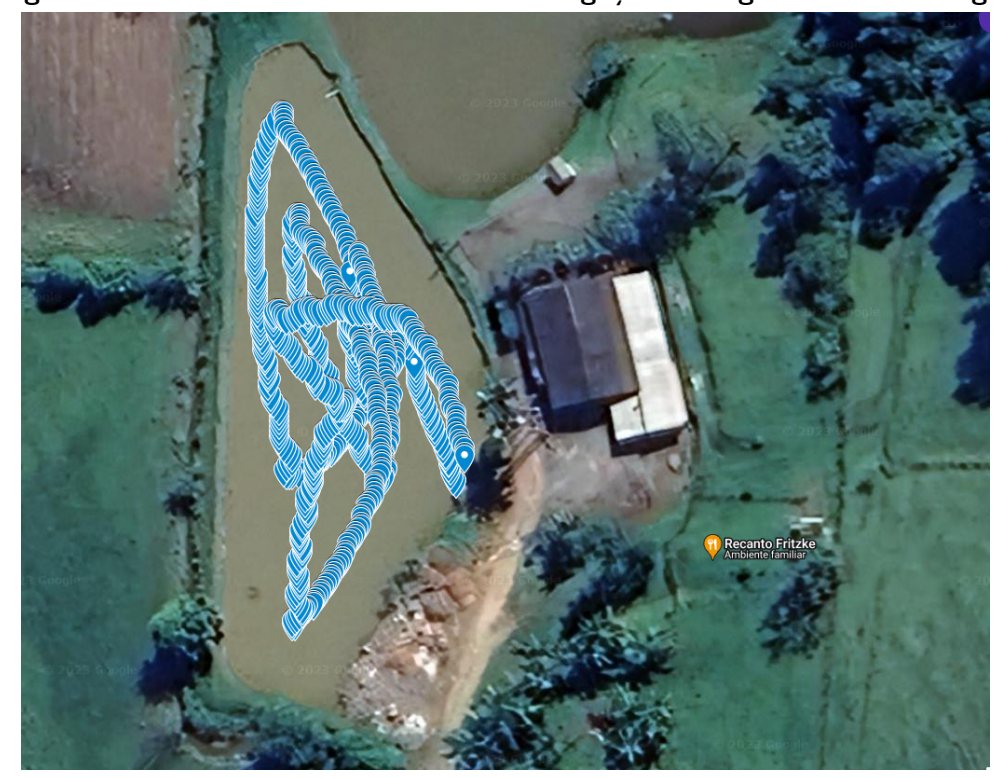


Figura 73 – Rota do veículo durante a navegação do segundo teste no lago.

Fonte: Adaptado de (GOOGLE, 2023).

Tabela 7 – Relatório de amostras do segundo teste no lago.

Νº	Hora	Latitude	Longitude	°C ar	UR%	hPa	°C Água	Res.
1	13:31:41	-26.7486706	-49.0913925	25.74	82.11	1018.40	21.31	1
2	13:32:44	-26.7488174	-49.0915604	26.53	73.61	1018.37	21.50	NC
3	13:34:11	-26.7483597	-49.0915909	27.05	69.34	1018.38	21.62	2
4	13:35:37	-26.7487068	-49.0914536	27.10	70.13	1018.33	21.37	3
5	13:36:24	-26.7485542	-49.0914841	27.13	66.98	1018.34	21.50	4
6	13:37:44	-26.7488270	-49.0914383	26.79	68.54	1018.34	21.31	NC
7	13:38:57	-26.7484913	-49.0915642	27.27	62.87	1018.37	21.69	NC
8	13:40:20	-26.7488251	-49.0914459	27.05	66.02	1018.30	21.31	NC
9	13:41:08	-26.7490063	-49.0915604	26.90	65.12	1018.29	21.87	NC
10	13:42:14	-26.7487335	-49.0914955	27.34	67.23	1018.29	21.62	NC
11	13:42:53	-26.7486248	-49.0915947	27.81	65.14	1018.27	21.75	NC
12	13:43:38	-26.7486286	-49.0913963	27.96	64.37	1018.24	21.44	NC
13	13:44:20	-26.7488022	-49.0913239	NC	NC	NC	NC	NC

Fonte: Do Autor (2023).

grande diferença no ajuste de direção, sendo mostrado pelas oscilações entre as curvas de direção apontada e direção alvo. Esta variação pode inclusive ter forte relação com o aumento de velocidade do veículo, do qual o controle tem menos tempo para a correção dos valores antes que o veículo se desloque o suficiente para o erro ser evidenciado.

A Figura 76 demonstra que houve uma real variação nos valores de erro sendo é muito perceptível a resposta da alteração dos parâmetros de funcionamento do veículo. Porém é importante apontar que alguns picos iniciais dos valores de erro são devido a oposição da

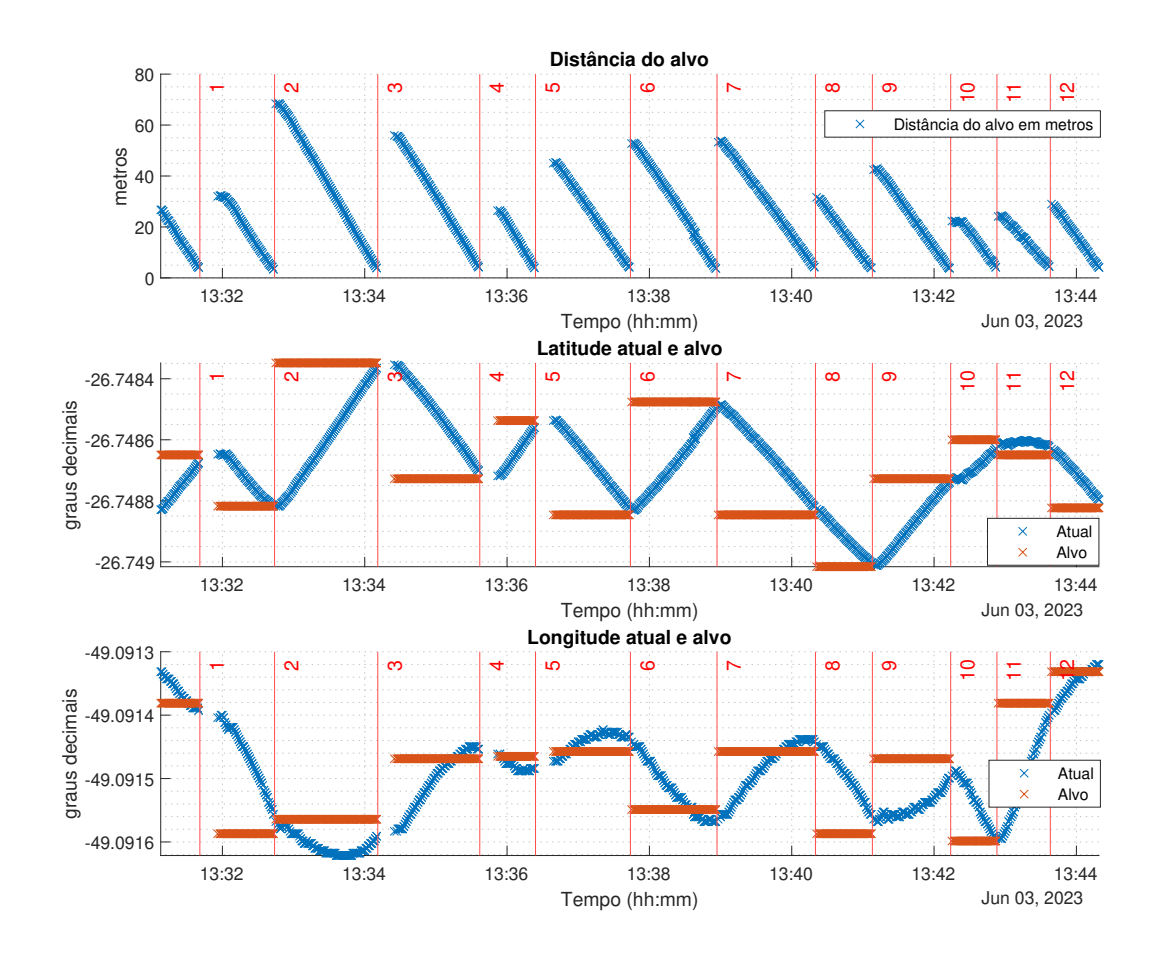


Figura 74 - Dados obtidos com a amostragem do segundo teste no lago.

sua direção apontada quando é determinada a nova direção alvo, sendo mais perceptível nos pontos em que não há coleta de água, já que o veículo faz apenas uma rápida amostra de dados, e subitamente gira para a direção alvo.

Parte da causa deste aumento de erro apresentando as oscilações é também a instabilidade do sensor magnetômetro devido ao dano ocasionado no transporte do veículo ao local de testes, onde nota-se que a oscilação aumenta mais próximo do final do percurso, o que pode indicar uma pequena variação da direção do sensor com relação a frente do veículo.

Um fato a se notar durante a interpretação do gráfico mostrado na Figura 76 bem como nos demais, é que há uma coleta de água que leva aproximadamente 14 segundos nos pontos 1, 3, 4 e 5, sendo que nos demais pontos indicados para coleta de água não há uma demora considerável entre os pontos. Isso é refletido ao gerar um gráfico de linha, em que os pontos mesmo sem dados são unidos pela linha conforme aqui visto, dando a falsa impressão de que o valor de erro se manteve alto por um longo período de tempo.

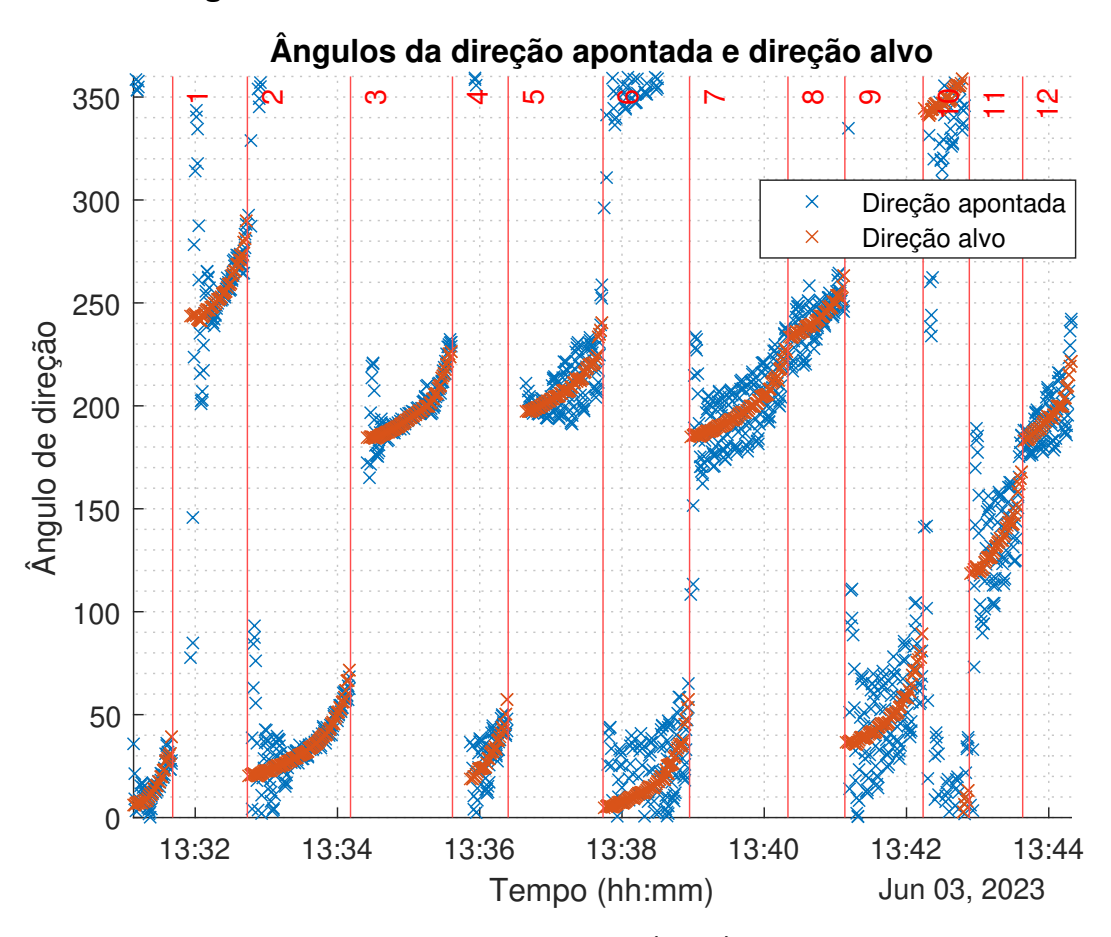


Figura 75 — Diferença dos ângulos apontados para os ângulos alvos durante o segundo teste no lago.

4.11.3 Desempenho das baterias

Ao todo foram utilizadas 6 baterias de íon de lítio, onde a soma da capacidade total medida por um testador de baterias *Litokala Lii-500* equivale a 12607mAh. Ao fim do teste, as baterias retornaram com carga aproximada de 90% da capacidade nominal, sendo que os testes foram realizado por aproximadamente 40 minutos, incluindo os tempos para conexão de GPS, ajuste dos parâmetros de controle e navegação. Sendo assim a carga consumida das baterias foi de aproximadamente 1261mAh em uma tensão nominal de 3,7V resultando em um consumo total de 4,666Wh. Estima-se que o tempo de navegação aproximado total possa alcançar tranquilamente um tempo aproximado de 400 minutos. Os dados nominais das baterias são mostrados na 8.

Um fato observado durante os testes foi que quando eram usadas metade das baterias apenas (um dos compartimentos cheio), o veículo não desempenha o funcionamento dos motores perfeitamente como esperado, sendo de forma limitada e até mesmo reiniciando os controladores eletrônicos de velocidade por sub-tensão quando exigida a sua potência máxima.

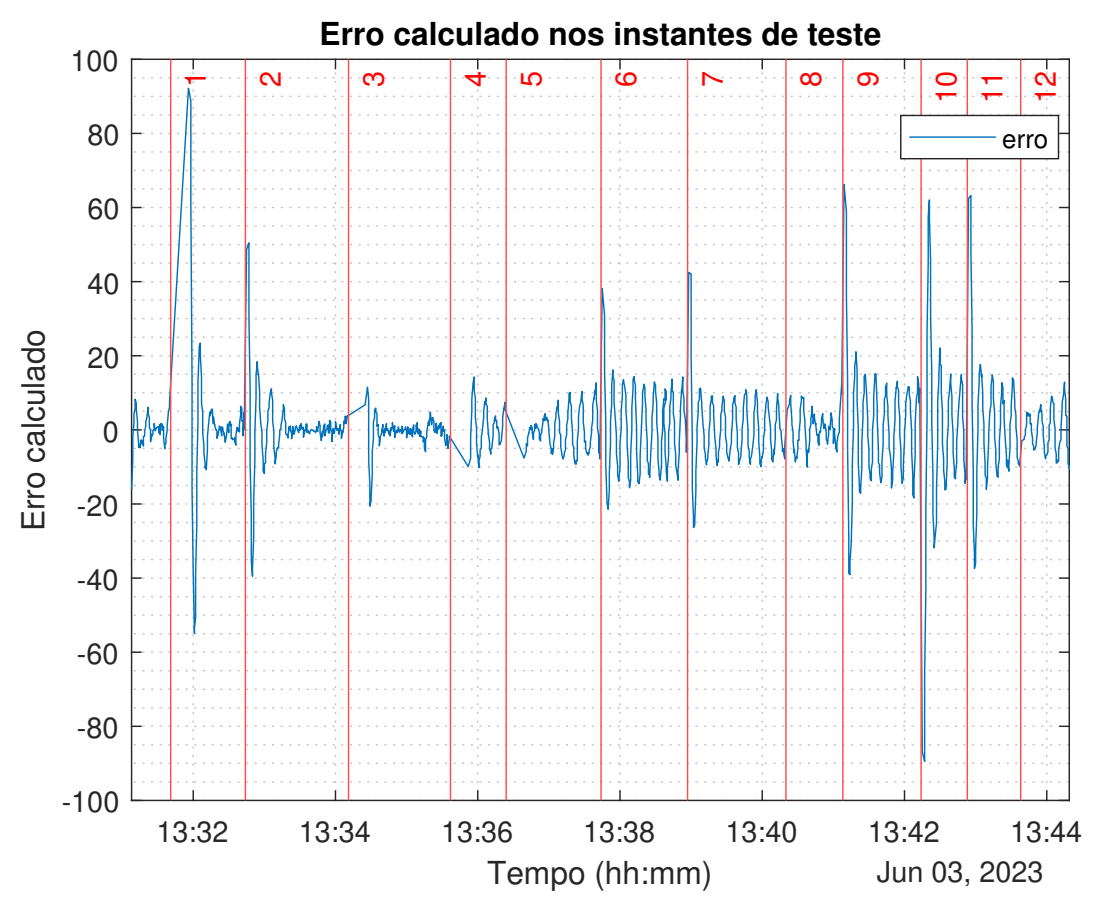


Figura 76 - Amostragem dos valores de erro durante o segundo teste no lago.

Tabela 8 - Dados das células de baterias.

Νō	Capacidade nominal (mAh)	Resistência interna (m Ω)	Tensão nominal (V)
1	1910	28	3,7
2	1843	31	3,7
3	2283	31	3,7
4	2286	67	3,7
5	2175	41	3,7
6	2110	31	3,7

Fonte: Do Autor (2023).

4.11.4 Dificuldades encontradas para os testes no lago

Um fato que não pode ser descartado é que devido ao meio de transporte utilizado para levar o veículo até o local de testes ser uma moto, e o veículo ter sido colocado dentro do baú da moto como mostrado na Figura 77 ocasionou a quebra do local em que o sensor magnetômetro fica alojado, assim não tendo mais a segurança e estabilidade da qual foi projetada para o sensor.

Na Figura 78 é mostrado o local em que o dano foi ocasionado. Com algumas adaptações realizadas no local de testes foi possível colocar o sensor em seu local aproximado,



Figura 77 – Veículo armazenado dentro do baú da moto para transporte.

tornando possível a realização de todos os testes necessários, porém tendo em mente que este fato causaria uma certa variação no comportamento esperado do veículo.



Figura 78 – Local em que houve o dano durante transporte.

Fonte: Do Autor (2023).

Apesar do ocorrido, não foram encontrados grandes problemas na operação, já que o controle PID utilizado é bastante adaptável ao tipo de mudança causada no sistema, ainda

mantendo o veículo operante e capaz de realizar as operações planejadas. Uma técnica que poderia ser feita para que fosse evitado esse tipo de problema em uma segunda versão do projeto é deixar a barra de rosca que sustenta o suporte dos sensores um pouco mais curta, já que não há extrema necessidade de manter o sensor tão distante do restante da estrutura.

5 CONCLUSÃO

Retomando aos objetivos iniciais deste trabalho, é possível afirmar que aos poucos foram desenvolvidas etapas como a concepção da solução a ser aplicada, a elaboração do projeto mecânico do trabalho, o estudo das ferramentas e recursos necessários para atender as expectativas de execução, o desenvolvimento de algoritmos que criassem rotinas em que quando combinadas fossem capazes de dar as funções de automatização essenciais para fazer deste projeto algo possível, executável e aplicado.

Ao longo do trabalho foram encontrados desafios que provocaram em diversas vezes a oscilação da curva de aprendizado com recursos que estavam fora do escopo da formação da engenharia elétrica, porém que trazem um contexto e justificativa para a execução das atividades destacadas como objetivos do trabalho.

Ao fim deste trabalho foi possível observar que todo o desenvolvimento realizado na construção do projeto acabou por fornecer resultados satisfatórios, tanto do aspecto de construção, bem como do aspecto de desempenho e monitoramento de suas respectivas condições de funcionamento. A abordagem adotada combinou elementos de engenharia elétrica, utilização de componentes de baixo custo e testes experimentais em diferentes ambientes, tais como piscina e lago, além da realização de coletas de amostras com o auxílio humano. Através da integração de conhecimentos de diversas disciplinas da engenharia elétrica, como eletrônica, controle, computação e sistemas micro controlados, foi possível construir um veículo autônomo capaz de se movimentar de forma independente na superfície da água e coletar amostras para análise da qualidade da água. A utilização de componentes de baixo custo contribuiu para viabilizar a construção do veículo em larga escala, tornando-o acessível e economicamente viável, já que quando montado em maior escala de produção, tende a apresentar um custo reduzido, e ainda melhorando a qualidade do produto.

No contexto atual, em que a preservação e monitoramento dos recursos hídricos são fundamentais para a sustentabilidade e saúde do planeta, a contribuição deste trabalho é relevante, uma vez que oferece uma solução tecnológica viável e acessível para o monitoramento contínuo da qualidade da água em reservatórios. Espera-se que esse veículo autônomo de superfície possa ser aplicado em larga escala, auxiliando na identificação precoce de problemas ambientais e na tomada de decisões eficientes para a preservação dos recursos hídricos desde que os estudos relacionados ao projeto sejam estendidos em trabalhos futuros.

As conquistas alcançadas ao longo do projeto fornecem uma sólida base para futuras pesquisas e aprimoramentos nessa área, além de reforçar a importância da engenharia elétrica como uma ferramenta indispensável na solução de problemas complexos e na busca por soluções inovadoras. Apesar dos desafios encontrados ao longo do trabalho, foi possível encontrar uma solução viável e aplicável para cada um deles, mostrando que mesmo em grandes dificuldades, ainda podem ser realizadas pequenas adaptações que tornem as ideias compatíveis com a realidade.

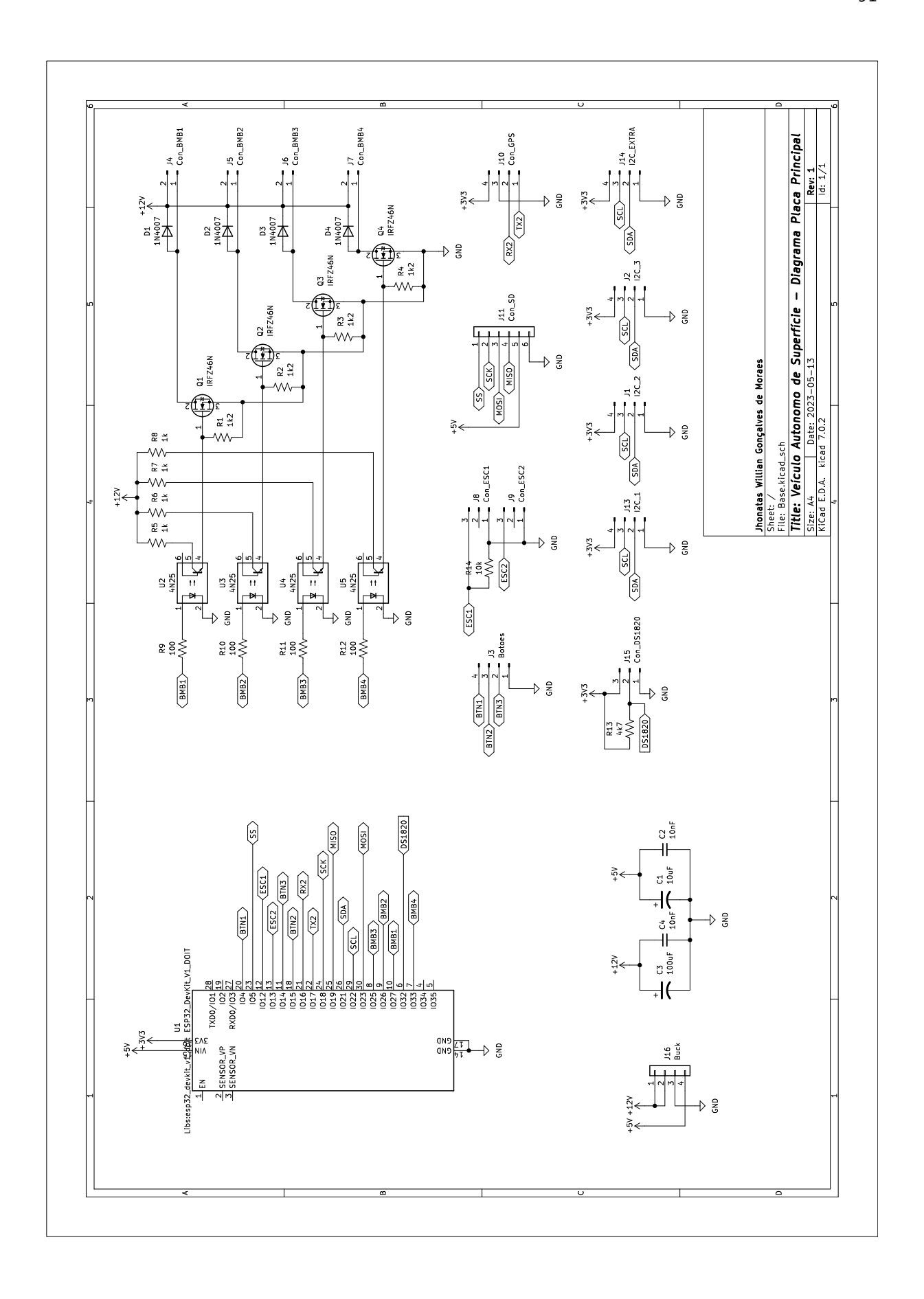
REFERÊNCIAS

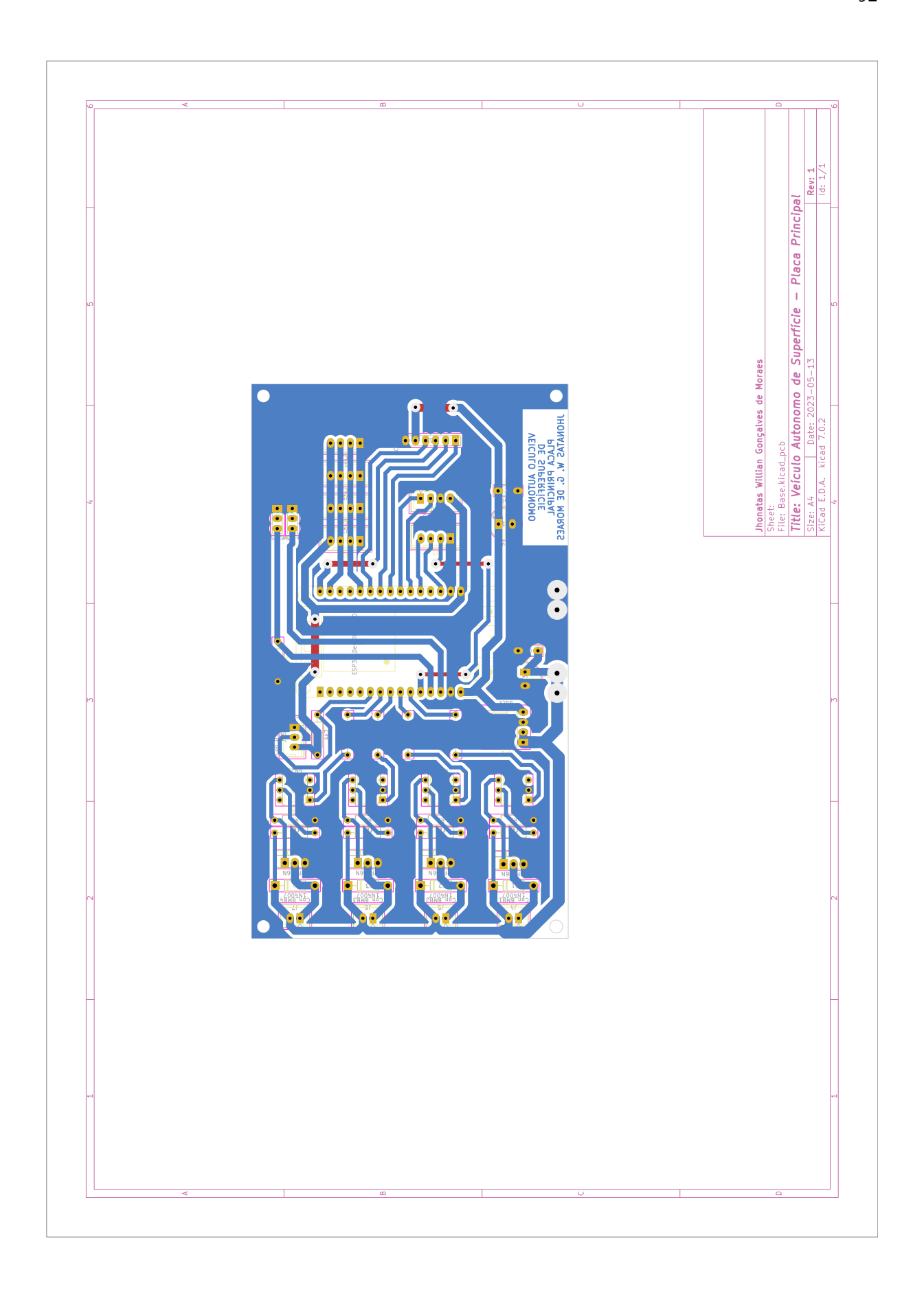
- ADAFRUIT. **Adafruit bme280 library**. 2021. Disponível em: https://github.com/adafruit/Adafruit_BME280_Library/. Acesso em: 18 maio 2023.
- ADAFRUIT. **Adafruit unified sensor driver**. 2023. Disponível em: https://github.com/adafruit/Adafruit_Sensor. Acesso em: 18 maio 2023.
- ALMEIDA, T. E. P. de. **Sistema de sensoriamento de orientação para um veículo aquático de superfície utilizando sensores de baixo custo.** 2014. Fevereiro 2014. 77 f. Dissertação (Mestrado em Ciências Programa de Engenharia Elétrica) Escola de Engenharia de São Carlos, São Carlos, 2014.
- AMRAN, I. Y. et al. Development of autonomous underwater vehicle for water quality measurement application. Springer Singapore, Singapore, p. 139–161, 2021.
- ANA, A. nacional de águas; CETESB companhia ambiental do estado de são paulo. **Guia Nacional de Coleta e Preservação de Amostras**. 2011. Disponível em: https://cetesb.sp.gov.br/wp-content/uploads/2021/10/Guia-nacional-de-coleta-e-preservação-de-amostras-2012.pdf.
- BENNETT, J. K. **Servo library for esp32**. 2017. Disponível em: https://github.com/jkb-git/ESP32Servo. Acesso em: 18 maio 2023.
- BURTON, M. **Arduino library for maxim temperature integrated circuits**. 2020. Disponível em: https://github.com/milesburton/Arduino-Temperature-Control-Library. Acesso em: 18 maio 2023.
- CORPORATION, Q. **3-axis magnetic sensor qmc5883I**. 2016. Disponível em: https://datasheet.lcsc.com/szlcsc/QST-QMC5883L-TR_C192585.pdf. Acesso em: 12 abr. 2023.
- DORF, R. C.; BISHOP, R. H. Modern control systems. Harlow: Pearson, 2022.
- EL-RABBANY, A. **Introduction to gps: the global positioning system**. 1. ed. Boston: Artech House Mobile Communications Series, 2002.
- FADALI, M. S.; VISIOLI, A. **Digital control engineering analysis and design**. Oxford: Elsevier, 2013.
- GEOGRAPHY, G. Magnetic north vs geographic (true) north pole. 2022. Disponível em: https://gisgeography.com/magnetic-north-vs-geographic-true-pole/. Acesso em: 11 abr. 2023.
- GOOGLE. **Google maps**. 2023. Disponível em: https://www.google.com.br/maps/. Acesso em: 03 jun. 2023.
- GUTIERREZ, A. **Usina hidrelétrica de itaipu**. 1980. Disponível em: https://www.andradegutierrez.com.br/Projetos/Itaipu.aspx#300. Acesso em: 01 jun. 2023.
- HALLIDAY, D.; RESNICK, R.; WALKER, J. **Fundamentals of physics**. [*S.l.*]: John Wiley & Sons, 2013.
- HART, M. **TinyGPSplus**. 2013. Disponível em: https://github.com/mikalhart/TinyGPSPlus. Acesso em: 18 maio 2023.

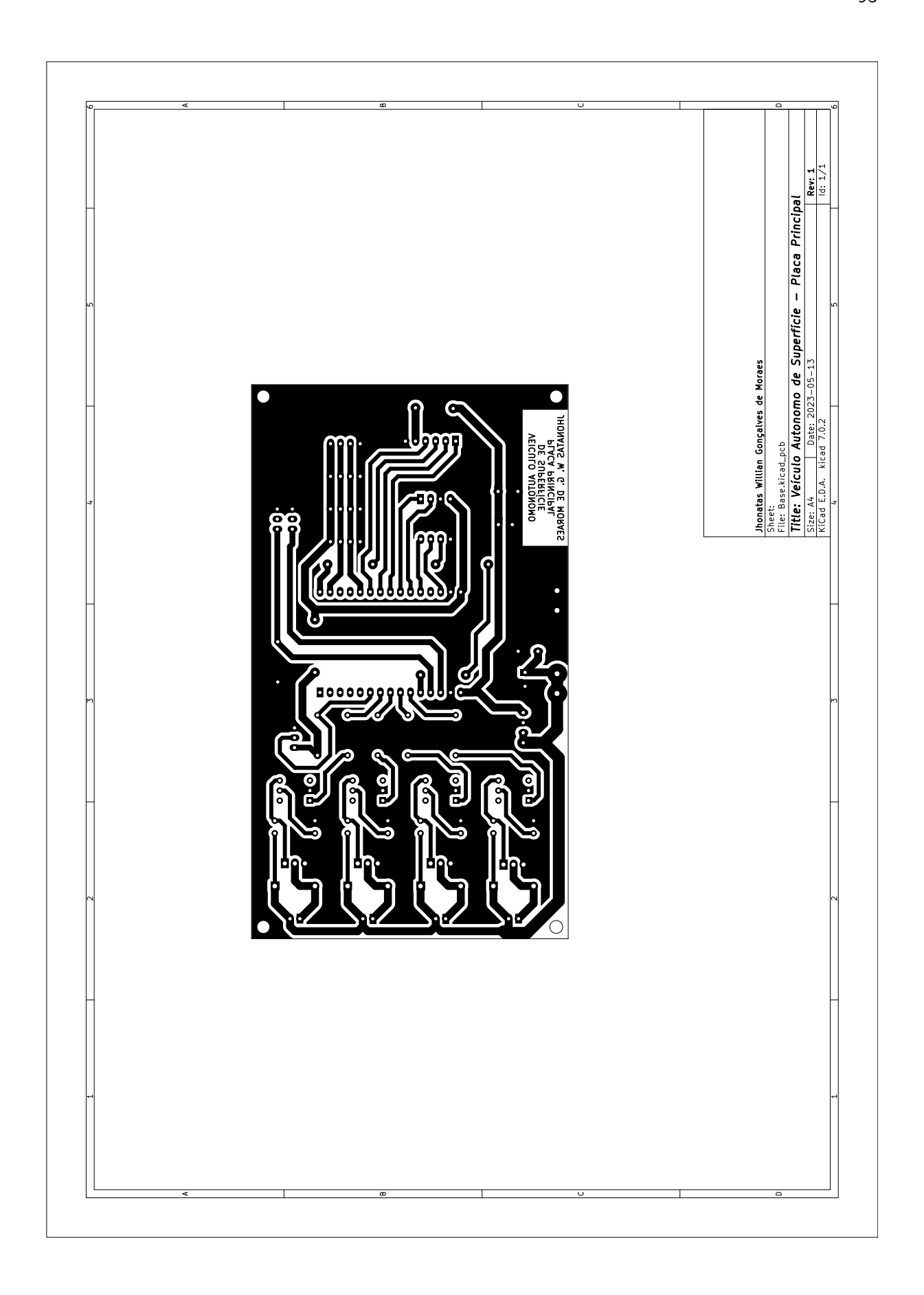
- JUNIOR, C. R. da S.; LIMA, W. da S.; OLIVEIRA, M. A. A. de. Barco-robô autônomo para monitoramento ambiental de reservatórios. **Seminário de Iniciação Científica UFG**, 2012.
- KHOSRAVI, K.; ALIZADEH, M. S.; POURMAHDIAN, H. Comparison of a designed scalar proton precession magnetometer with a scalar calibrated 3-axis fluxgate magnetometer. *In*: **2020 28th Iranian Conference on Electrical Engineering (ICEE)**. [*S.l.*: *s.n.*], 2020. p. 1–4.
- KRAUS, O. **U8g2: library for monochrome displays, version 2**. 2021. Disponível em: https://github.com/olikraus/u8g2. Acesso em: 18 maio 2023.
- LIU, Z.; ZHU, M. Calibration and error compensation of magnetometer. *In*: **The 26th chinese control and decision conference (2014 CCDC)**. [*S.l.*: *s.n.*], 2014. p. 4122–4126.
- MARTINS, L. R. Construção de um protótipo de barco robô de baixo custo para análise de qualidade de água em rios e reservatórios. 2020. Abril 2020. 76 f. Dissertação (Mestrado em Segurança de Barragem) Universidade Federal Do Pará Núcleo De Desenvolvimento Amazônico Em Engenharia, Tucuruí, 2020.
- MPROGRAMS; NäVEKE, C. **QMC5883L compass arduino library**. 2022. Disponível em: https://github.com/mprograms/QMC5883LCompass. Acesso em: 18 maio 2023.
- OLIVEIRA, M. M. de. **Desenvolvimento de uma embarcação de baixo custo controlada a distância para monitoramento ambiental em corpos d'água rasos**. 2021. Junho 2021. 56 f. Dissertação (Mestrado em Engenharia Hídrica) Universidade Federal De Itajubá Instituto De Recursos Naturais, Itajubá, 2021.
- RASHID, M. et al. Design and development of an autonomous surface vehicle for water quality monitoring. **Research Gate**, 2022.
- RENAUDIN, V.; AFZAL, M. H.; LACHAPELLE, G. Complete triaxis magnetometer calibration in the magnetic domain. **Journal of Sensors**, Hindawi, v. 2010, 2010. Disponível em: https://www.hindawi.com/journals/js/2010/967245/. Acesso em: 15 abr. 2023.
- RINALDI, A. **Ford atuará em entrega com veículos autônomos**. 2021. Disponível em: https://revistacarro.com.br/ford-atuara-em-entrega-com-veiculos-autonomos/.
- SAÚDE, M. da. **Portaria de consolidação nº 5, de 28 de setembro de 2017**. 2017. Disponível em: http://portalsinan.saude.gov.br/images/documentos/Legislacoes/Portaria_Consolidacao_5_28_SETEMBRO_2017.pdf.
- SCIENCE, S. Z. M.; TECHNOLOGY. **Shark programmable brushless esc instruction manual**. 2020. Disponível em: https://www.ztwoem.com/wp-content/uploads/2020/01/ZTW-Shark-Series-boat-ESC-User-Manual.pdf. Acesso em: 18 maio 2023.
- SHAWNHYMEL. **How to calibrate a magnetometer**. 2022. Disponível em: https://www.digikey.com/en/maker/projects/how-to-calibrate-a-magnetometer/50f6bc8f36454a03b664dca30cf33a8b. Acesso em: 12 abr. 2023.
- SILVEIRA, E. da. **Barco autônomo**. 2017. Disponível em: https://revistapesquisa.fapesp. br/barco-autonomo/.
- SOUZA, F. **Como programar o esp32 na arduino ide?** 2022. Disponível em: https://embarcados.com.br/como-programar-o-esp32-na-arduino-ide/. Acesso em: 16 maio 2023.

- SURVEY, B. G. **Models and compass variation**. 2020. Disponível em: https://geomag.bgs.ac.uk/data_service/models_compass/home.html. Acesso em: 11 abr. 2023.
- Sá, G. de. **Táxi autônomo será realidade nos eua ainda em 2021**. 2021. Disponível em: https://revistacarro.com.br/taxi-autonomo-sera-realidade-nos-eua-ainda-em-2021/.
- ZOGG, J.-M. **GPS** essentials of satellite navigation. 2009. Compendium. Disponível em: https://content.u-blox.com/sites/default/files/gps_compendiumgps-x-02007.pdf. Acesso em: 09 abr. 2023.

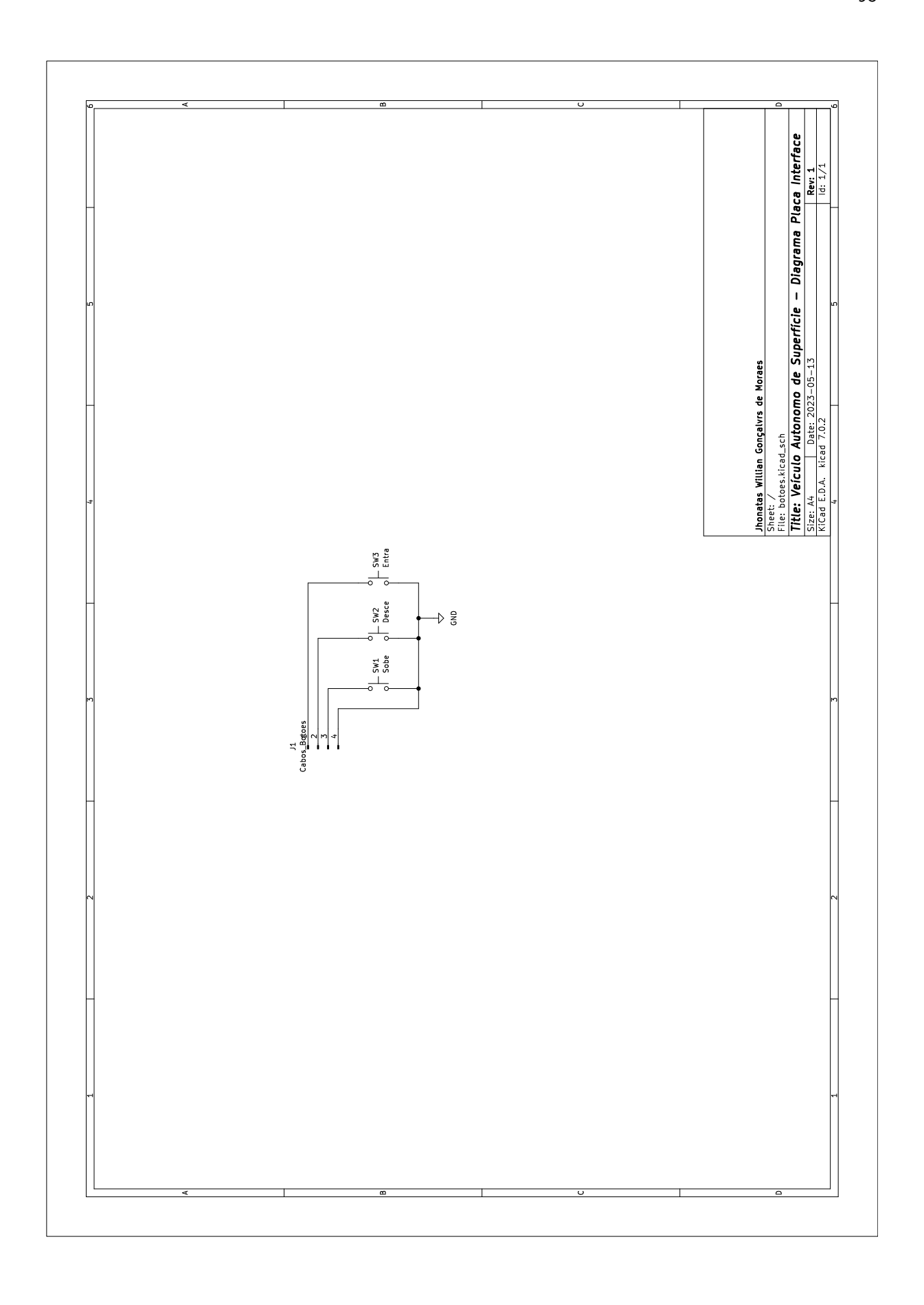
APÊNDICE A – Diagrama e Silk PCB da placa principal

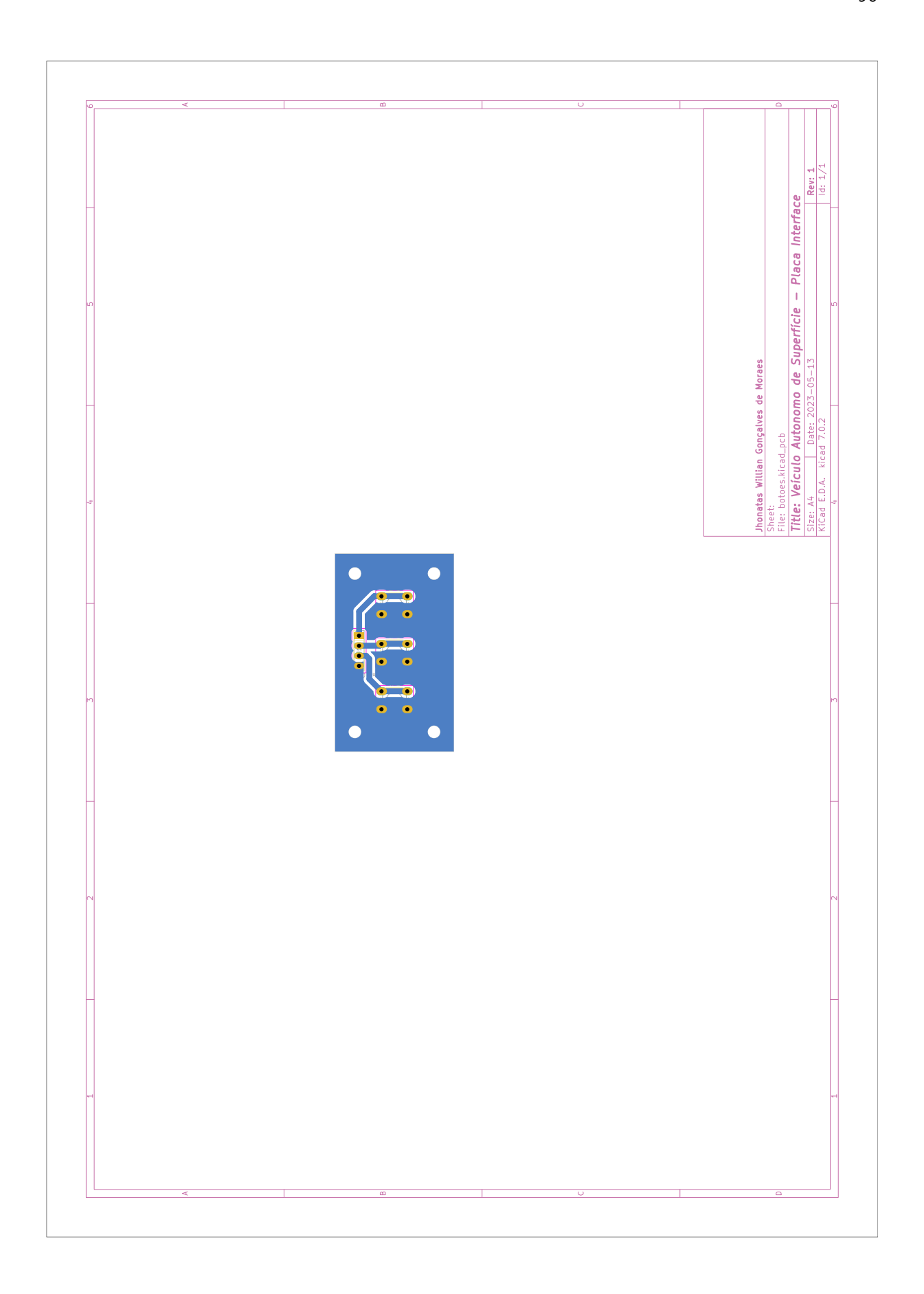


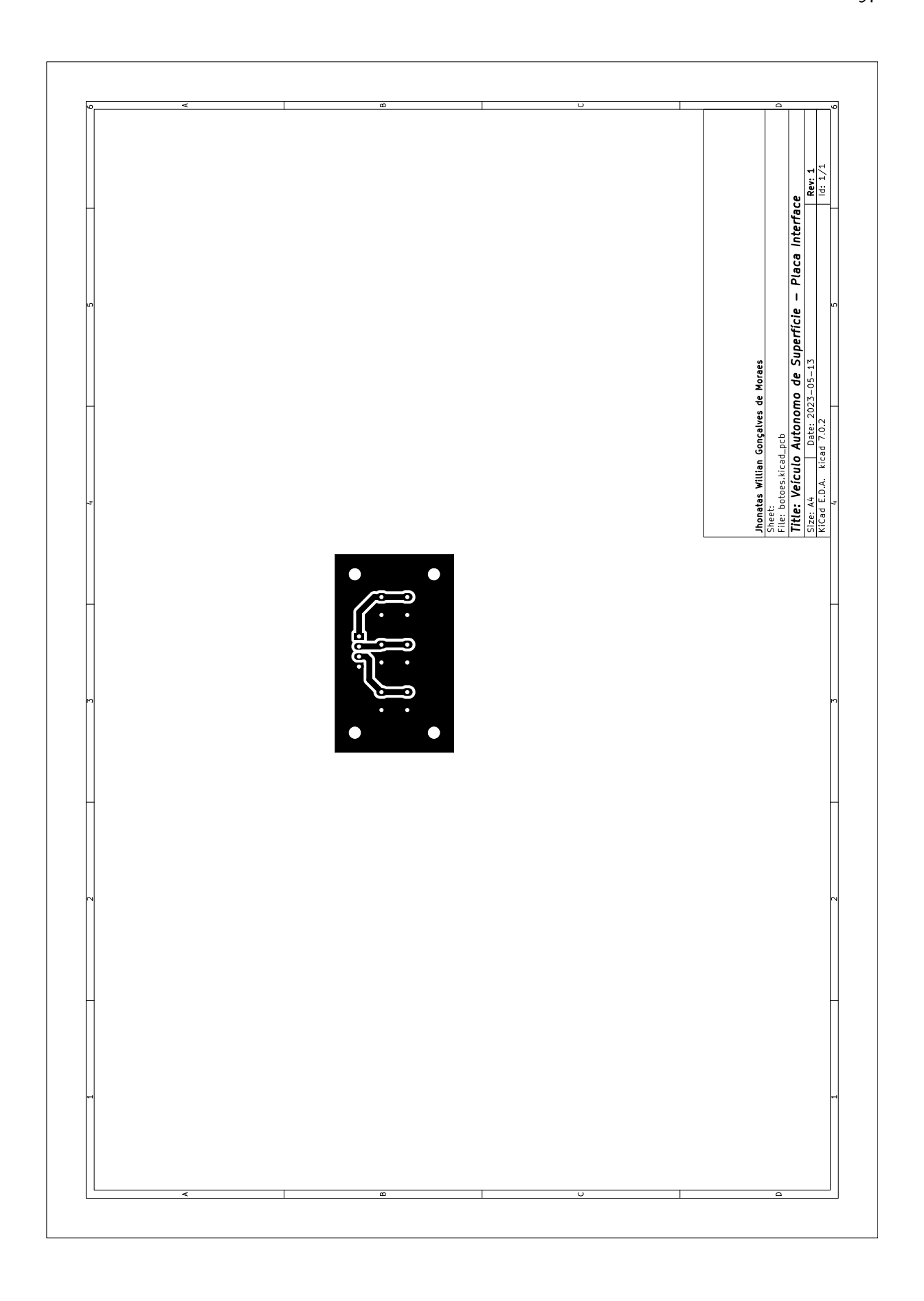




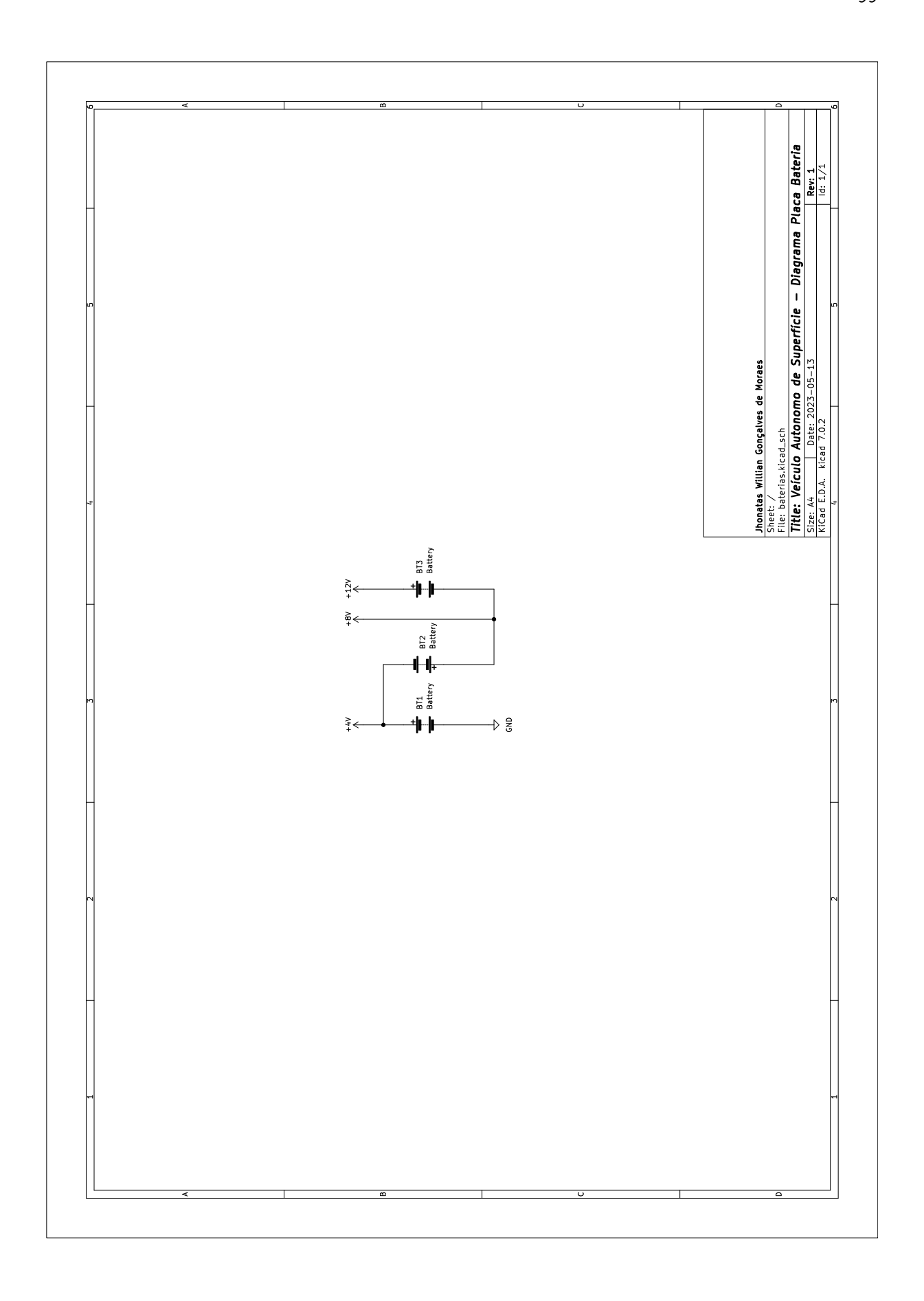
APÊNDICE B – Diagrama e Silk PCB da placa de interface

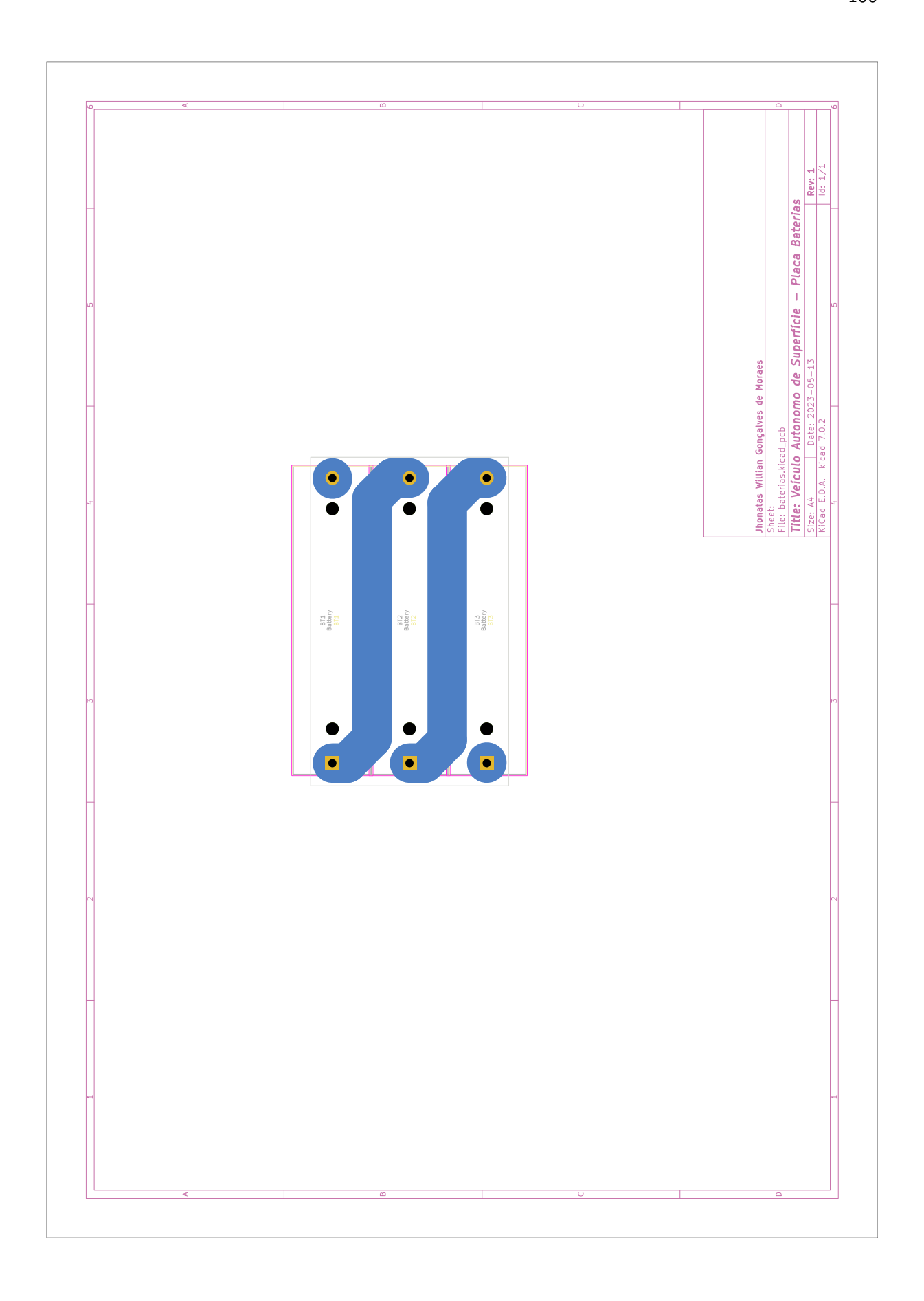


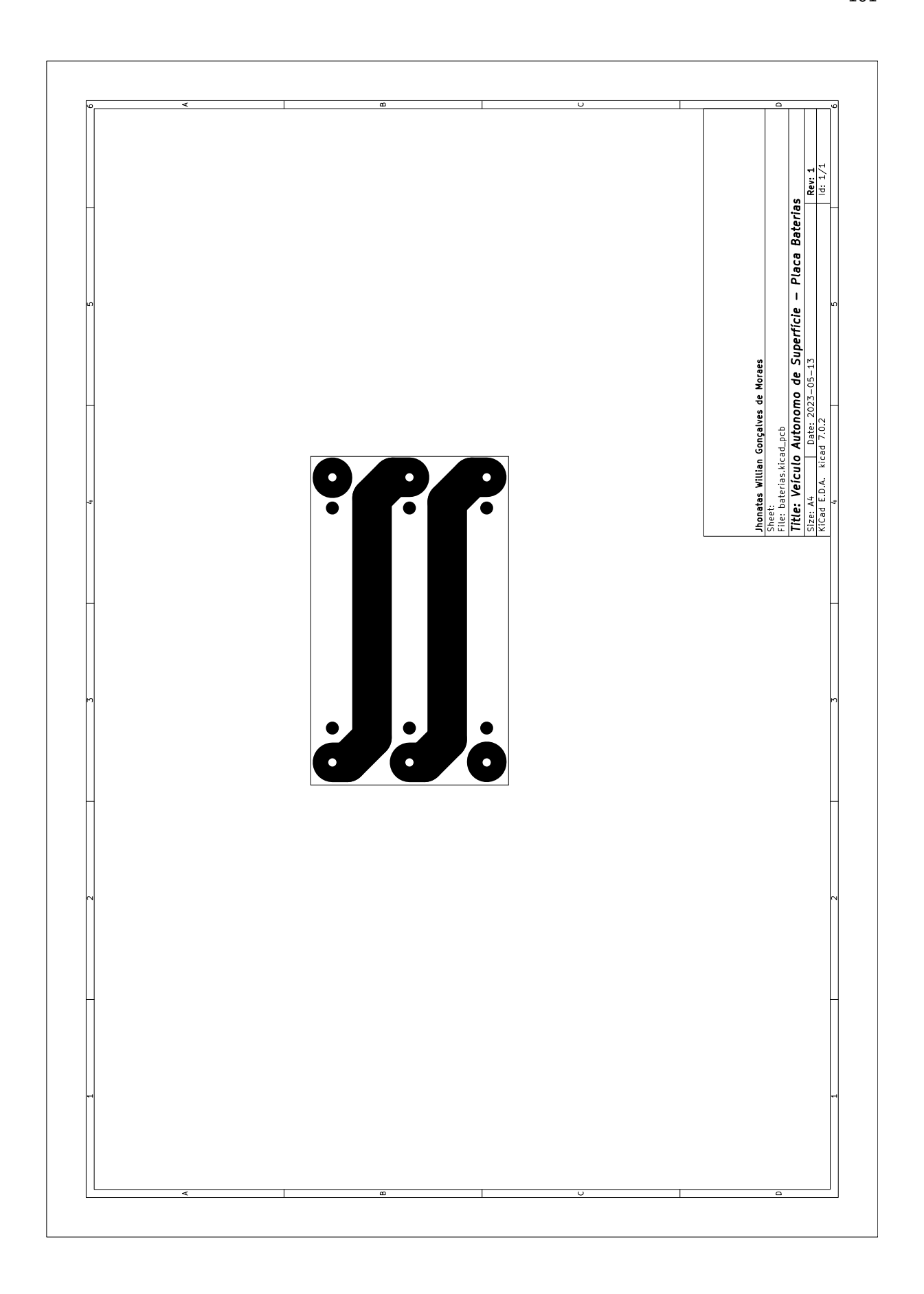




APÊNDICE C – Diagrama e Silk PCB da placa das baterias







APÊNDICE D – Código escrito para o programa

```
1
     /*Codigo principal
 2
     Jhonatas Willian Gonçalves de Moraes
 3
     Trabalho de Conclusao de Curso
 4
     Universidade Tecnologica Federal do Parana
 5
     Campus Apucarana
 6
     Engenharia Eletrica*/
 7
     #include <Arduino.h>
 8
     #include <U8g2lib.h>
 9
     #include <Wire.h>
10
     {\it \#include} < \!\! \mathsf{TinyGPSPlus.h} \!\! >
11
     \pmb{\#include} < QMC5883LCompass.h>
12
     #include <telas_menu.h> //icones e telas
13
     #include <math.h>
14
     \#include < EEPROM.h >
15
     #include <ESP32Servo.h>
16
     #include <SPI.h>
17
     \#include < SD.h >
18
     #include <Adafruit_BME280.h>
19
     #include <OneWire.h>
20
     #include <DallasTemperature.h>
21
22
     /*PINOS ESP32
23
      Os pinos do ESP32 sao denominados da seguinte forma:
24
25
       Pinos I2C
26
         -> GPIO 21 -- SDA
27
         -> GPIO 22 -- SCL
28
        Pinos UART
29
         -> GPIO 1 -- TXD0 (NC)
30
         -> GPIO 3 -- RXD0 (NC)
31
         -> GPIO 16 -- RXD2 (TX do GPS)
32
         -> GPIO 17 -- TXD2 (RX do GPS)
33
        Pinos SPI (Conectados ao leitor de cartao)
34
         -> GPIO 5 -- SS
35
         -> GPIO 18 -- SCK
36
         -> GPIO 19 -- MISO
37
         -> GPIO 23 -- MOSI
38
        Pinos conectados aos botoes (Pull-up interno)
39
         -> GPIO 4 -- BTN1
40
         -> GPIO 14 -- BTN3 (Apresenta PWM durante boot)
41
         -> GPIO 15 -- BTN2 (Apresenta PWM durante boot)
42
        Pinos conectados as bombas
43
         -> GPIO 25 -- BMB3
44
         -> GPIO 26 -- BMB2
45
         -> GPIO 27 -- BMB1
46
         -> GPIO 33 -- BMB4
47
        Pino conectado ao termometro DS18S20 (OneWire)
48
         -> GPIO 32 -- DS18S20
```

```
49
       Pinos conectados aos ESCs
50
        -> GPIO 12 -- ESC1 ou ESCA (precisa estar com resistor de pull-down se conectado ao servo)
51
         -> GPIO 13 -- ESC2 ou ESCB
52
       Pinos nao conectados (abertos)
53
        -> GPIO 2 -- NC (LED on board)
54
        -> GPIX 34 -- NC
55
        -> GPIX 35 -- NC
56
        -> GPIX 36 -- NC (VP)
57
        -> GPIX 39 -- NC (VN)
58
       GPIOs nao disponiveis
59
        -> GPIO 6 -- #N/D
60
        -> GPIO 7 -- #N/D
61
        -> GPIO 8 -- #N/D
62
        -> GPIO 9 -- #N/D
63
        -> GPIO 10 -- \#N/D
        -> GPIO 11 -- #N/D
64
65
        -> GPIO 20 -- #N/D
66
        -> GPIO 24 -- #N/D
67
        -> GPIO 28 -- #N/D
68
        -> GPIO 29 -- #N/D
69
        -> GPIO 30 -- #N/D
70
        -> GPIO 31 -- #N/D
71
        -> GPIO 37 -- #N/D
72
    */
73
74
    //Inicializacao dos parametros das bibliotecas
75
    // -> SD
76
    File Arquivo;
77
    const int CS = 5;
78
    // -> Magnetometro QMC5883
79
    QMC5883LCompass compass;
80
    #define EEPROM_SIZE 16 //Define o tamanho da EEPROM para armazenamento dos parametros de calibracao do
         magnetometro (0-7), ajustes PID(8-10) e percentual Vmax (11)
81
    // ->Display OLED
82
    U8G2_SSD1306_128X64_NONAME_1_HW_I2C u8g2(U8G2_R2, /* reset=*/ U8X8_PIN_NONE); //U8G2_R2 faz o
         display girar 180graus
83
    // -> Parametros de servo para os ESCs
84
    Servo ESCA; //motor direito
85
    Servo ESCB; //motor esquerdo
86
    ESP32PWM pwm;
87
    // -> GPS
88
    TinyGPSPlus gps;
89
    // ->Termohigrometro BME280
90
    Adafruit_BME280 bme;
91
92
    // ->Parametros para termometro DS18S20
93
    const int oneWireBus = 32;
94
    OneWire oneWire(oneWireBus);
95
    DallasTemperature sensors(&oneWire);
```

```
96
      //
 97
 98
       const float declinacao = -19.85; //O ajuste deve ser negativo, assim o norte e apontado pela direcao X
 99
100
       //auxiliares
101
       float alvo = 50;
102
       \textbf{bool} \ \mathsf{StartScreen} = \textbf{true};
103
104
105
       //Pinos GPIO
106
       const int ESCA_Pin = 12;
107
       const int ESCB_Pin = 13;
108
       const int btn_1 = 15; //Botao anterior ou desce laranja btn2 se possivel, trocar no plug
109
       \textbf{const int} \ btn\_2 = 4; \ //Botao \ seguinte \ ou \ sobe \ vermelho \ btn1
110
       const int btn_3 = 14; //Botao entra13 amarelo btn3
111
       const int bomba1 = 33;
112
       \textbf{const int} \ \mathsf{bomba2} = 25;
113
       const int bomba3 = 26;
114
       const int bomba4 = 27;
115
116
       //Parametros Motores
117
       int minUs = 1000; //tempo de pulso menor
118
       int maxUs = 2000; //tempo de pulso maior
119
       int ESCA_Vel = 90; //velocidade inicial
120
       int ESCB_Vel = 90;
121
       //O angulo do servo se da de 0 a 180, onde 90 e o motor parado.
122
123
       //Parametros para magnetometro
124
      int16_t max_x = -32768;
125
       int16_t min_x = 32767;
126
      int16_t max_y = -32768;
127
       int16_t min_y = 32767;
128
       int16_t x, y; //, z;
129
130
       const int NUM\_ITENS = 13; //Numero de itens do menu
131
       \textbf{char} \ \mathsf{menu\_items}[\mathsf{NUM\_ITENS}] \ [20] = \{ \ \textit{//Itens disponiveis} \\
132
        {"Cal. QMC5883"},
133
        {"GPS"},
134
         {"Direcao"},
135
         {"Iniciar"},
136
         {"Ler Dados"},
137
         {\text{"Turbina 1"}},
138
         {"Turbina 2"},
139
         {"Teste"},
140
         {"Info"},
141
         {"Ajuste Vel."},
142
         {\text{"Ajuste P"}},
143
         \{\text{``Ajuste I''}\},
144
        {"Ajuste D"}
```

```
145
      };
146
147
       int item_sel = 1; //Qual item do menu esta selecionado
148
      int item_ant; //Item anterior ao selecionado
149
       int item_pos; //Item posterior ao selecionado
150
151
       int btn_1_clic=0;
152
      int btn_2_clic=0;
153
      int btn_3_clic=0;
154
155
      int TelaAtual=0;
156
       float direc = 0:
157
       float Latitude = 0;
158
       \textbf{float Longitude} = 0;
159
160
      float dLat = 0;
161
      \textbf{float} \ dLon = 0;
162
      float lat1\_rad = 0;
163
      float lat2\_rad = 0;
164
      float yPoint = 0;
165
      \textbf{float} \ \mathsf{xPoint} = 0;
166
      \textbf{float} \ \mathsf{bearing} = 0;
167
       float distancia = 0;
168
       float raioterra = 6371000;
169
170
      int coordenada = 0;
171
       const int QtdPontos = 20; //Capacidade determinada de ate 20 pontos
172
       float LatAlvo[QtdPontos+1]; //Prepara as arrays para receberem ate 20 pontos +1 (origem)
173
       float LonAlvo[QtdPontos+1];
174
       bool PontoLeitura[QtdPontos]; //Separa os pontos em que deve ser feita a leitura dos valores
175
       bool PontoColeta[QtdPontos]; //Separa os pontos em que devem ser coletados a agua
176
       int PontosLidos = 0;
177
178
       //Variaveis PID
179
180
       float kp = 1;
                         // Coeficiente proporcional
181
      float ki = 0.005;
                             // Coeficiente integral
182
      float kd = 1;
                         // Coeficiente derivativo
183
       float saida = 0.0; // Saida do controlador
184
       float erro = 0.0; // Erro atual
185
       float ultimo_erro = 0.0; // ultimo erro
186
       float proporcional = 0.0;
187
       float integral = 0.0; // Soma do erro
188
       float derivativo = 0.0; // Variacao do erro
189
       unsigned long last_time = 0; // ultimo tempo de atualizacao
190
       unsigned long dt = 50; // Intervalo de tempo em milissegundos
191
       //unsigned long dt2=1; // Intervalo de tempo em milissegundos
192
193
      //Variaveis BME
```

```
194
               \label{eq:float_bme_temperatura} \textbf{float} \ \ \text{bme\_temperatura} = 0;
195
               float bme\_umidade = 0;
196
               float bme_pressao = 0;
197
198
                //Variaveis bombas
199
               bool bomba1\_livre = true;
200
               bool bomba2_livre = true;
201
               bool bomba3_livre = true;
202
               bool bomba4\_livre = true;
203
               int tempo_enchimento = 14000; //Tempo que a bomba fica ligada (ms)
204
205
               //Variaveis de deslocamento
206
               float velocidade_atual = 0; //-100 a 100, usar ate 50
207
208
               //bearing = angulo que deve ser apontado
209
               //direc = angulo atual
210
211
               \textbf{float} \ \mathsf{erro2} = 0;
212
213
              int8_t percentualP = 100;
214
              int8_t percentualI = 100;
215
              int8_t percentualD = 100;
216
              int8_t percentualV = 50;
217
               int8\_t Vmax = 80;
218
219
               bool percursoConcluido = false;
220
               bool gpsvalid = false;
221
               int satconectados = 0:
222
               float precisao = 3;//metros
223
               int p = 0; //auxiliar de contagem
224
225
               uint32_t horaagora = 0; //Hora que e apontada pelo GPS
226
               uint32_t datahoje = 0; //Data do GPS
227
               String TextoLog; //Texto para gravacao do log
228
               bool aux; //variavel auxiliar
229
                \textbf{unsigned long} \ \mathsf{last\_time\_disp} = 0; \ // \mathit{variavel auxiliar para gravacao} \ \mathit{no display}
230
               unsigned long last_time_cartao = 0; //variavel auxiliar para gravacao no SD
231
232
233
234
                void LogSD(){
235
                  if(millis() - last\_time\_cartao > 500){
236
                      TextoLog = String(horaagora) + ";" + String(Latitude, 7) + ";" + String(Longitude, 7) + ";" + String(
                             "; + String(LonAlvo[p], 7) + "; + String(direc) + "; + String(bearing) + "; + String(erro) + "; + String(erro) + "
                           {\sf ESCA\_Vel}) + "; " + {\sf String}({\sf ESCB\_Vel}) + "; ";
237
                      Arquivo = SD.open("/log.txt", FILE_APPEND,true);
238
                      if(Arquivo) {
239
                         Arquivo.println(TextoLog);
```

```
240
                          Arquivo.close();
241
                        }
242
                     last_time_cartao = millis();
243
                     }
244
245
246
               //Le ate 20 coordenadas disponibilizadas no arquivo "coordenadas.txt" dentro do cartao SD e armazena as instrucoes nas
                           variaveis LatAlvo, LonAlvo, PontoLeitura e PontoColeta
247
               bool LerCoordenadas(){
248
249
                  Arquivo = SD.open("/coordenadas.txt", FILE_READ);
250
                  if (Arquivo) {
251
                     while (Arquivo.available()) {
252
                        PontosLidos = 0;
253
                        for (int i=0; i<QtdPontos; i++){
254
                        String\ coordenadas = Arquivo.readStringUntil(';');\\
255
                        sscanf(coordenadas.c\_str(), \ "\%f, \ \%f, \ \%d, \ \%d", \ \&LatAlvo[i], \ \&LonAlvo[i], \ \&PontoLeitura[i], \ \&PontoColeta[i]); \ // \ Algorithms \ Al
                          Armazena em cada um dos elementos do array a coordenada alvo desejada
256
                        \textbf{if}(\mathsf{LatAlvo}[i] \mathrel{!==} 0 \&\& \; \mathsf{LatAlvo}[i] \mathrel{!==} 0) \{\mathsf{PontosLidos} \; += \; 1;\}
257
                        Serial.print("Parametros[");
258
                        Serial.print(i);
259
                        Serial.print("]: ");
260
                        Serial.print(LatAlvo[i],10);
261
                        Serial.print(" ");
262
                        Serial.print(LonAlvo[i],10);
263
                        Serial.print(" ");
264
                        Serial.print(PontoLeitura[i]);
265
                        Serial.print(" ");
266
                        Serial.println(PontoColeta[i]);
267
                        }
268
                     }
269
                     Arquivo.close();
270
                     return true;
271
                  }else{
272
                     Serial.println("Erro ao abrir o arquivo de coordenadas.");
273
                     PontosLidos = 0;
274
                     return false;
275
276
277
278
                                                -----Calcula o angulo que deve ser apontado e a distancia do alvo
                                         ----ОК
279
               void CalcDirecDist(float lat1, float lon1, float lat2, float lon2){ //Recebe coordenadas em graus decimais
280
                  dLat = (lat2 - lat1) * PI / 180; // Difference de latitude em radianos
281
                  dLon = (lon2 - lon1) * PI / 180; // Diferenca de longitude em radianos
282
                  lat1_rad = lat1 * PI / 180; // Latitude da primeira coordenada em radianos
283
                 lat2\_rad = lat2 * PI \ / \ 180; \ / / \ Latitude \ da \ segunda \ coordenada \ em \ radianos
284
                 yPoint = sin(dLon) * cos(lat2_rad);
```

```
285
         xPoint = cos(lat1_rad) * sin(lat2_rad) - sin(lat1_rad) * cos(lat2_rad) * cos(dLon);
286
         \mathsf{bearing} = \mathsf{atan2}(\mathsf{yPoint},\,\mathsf{xPoint}) * 180 \; / \; \mathsf{PI} - \mathsf{declinacao}; \; / / \; \mathit{Calculo} \; \mathit{do} \; \mathit{angulo} \; \mathit{em} \; \mathit{graus}
287
         if(bearing < 0){bearing += 360;}
288
         \label{eq:distancia} distancia = 2*raioterra* asin(sqrt(pow(sin(dLat/2),2) + cos(lat1\_rad)*cos(lat2\_rad)*pow(sin(dLon/2),2)));
289
290
291
                                         -----Algoritmo PID e controle dos motores
292
       void AtuaESCs(float ajuste) { // Envia velocidade e ajuste de direcao aos motores (velocidade_atual)
293
       //ajuste vai de 0 a 255
294
       //-100 e gira para UM LADO =, 100 e gira PARA O OUTRO
295
       //0 nao faz correcao
296
297
         \mathsf{ESCA\_Vel} = \mathsf{int}(\mathsf{map}(\mathsf{velocidade\_atual}, -100, 100, 0, 180) + \mathsf{map}(\mathsf{ajuste}, -100, 100, -90, 90));
298
         \mathsf{ESCB\_Vel} = \mathsf{int}(\mathsf{map}(\mathsf{velocidade\_atual}, -100, 100, 0, 180) - \mathsf{map}(\mathsf{ajuste}, -100, 100, -90, 90));
299
300
         if(ESCA\_Vel > 180)\{ESCA\_Vel = 180;\} \\ else \ if(ESCA\_Vel < 0)\{ESCA\_Vel = 0;\} \\
301
         if(ESCB\_Vel > 180)\{ESCB\_Vel = 180;\}else if(ESCB\_Vel < 0)\{ESCB\_Vel = 0;\}
302
303
         //ESCA_Vel = map(ESCA_Vel, 0, 180, 180, 0);
304
        //ESCB_Vel = map(ESCA_Vel,0,180,180,0);//inverte a rotacao dos motores
305
         ESCA.write(180— ESCA_Vel);
306
         ESCB.write(180-ESCB_Vel);
307
       }
308
309
       void CalculaPIDDirec() { // Algoritmo generico de controle PID com tempo de intervalo de correcao "dt"
310
         //O objetivo do erro e ser 0, entao os valores precisam ir de -255 a 255
311
312
         if((millis() - last\_time) > dt){}
313
           erro = bearing - direc; //Compara a direcao apontada com a direcao desejada
314
           if(erro > 180.00){
315
            erro -= 360.0;
316
           else\ if(erro < -180.0){
317
            erro += 360.0;
318
319
           erro = erro/1.80; //mapeia de 0 a 180 para 0 a 100
320
           proporcional = (float(percentualP)/100) * kp * erro;
321
           integral += (float(percentuall)/100) * ki * erro * float(dt);
322
           derivativo = (float(percentualD)/100) * kd * (erro - ultimo_erro) / float(dt);
323
           saida = proporcional + integral + derivativo;
324
           if(saida > 100){saida = 100;}else if(saida < -100){saida = -100;} // Limita a saida do PID de -100 a 100 (%)
325
           ultimo_erro = erro;
326
           last_time = millis();
327
           AtuaESCs(saida);
328
         }
329
       }
330
331
       void parar_motores(){ //Funcao auxiliar para parar os motores
332
         ESCA.write(90);
```

```
333
        ESCB.write(90);
334
        velocidade\_atual = 0;
335
336
337
338
       void leGPS(){
339
        while (Serial2.available()){gps.encode(Serial2.read());} //Le os dados da porta serial
340
        if(gps.location.isValid()){
341
          {\sf Latitude} \ = {\sf gps.location.lat()}; \ /\!/ \ \textit{float} \ -\!\!> \!\! \textit{aponta os dados atuais de latitude e longitude}
342
          Longitude = gps.location.lng(); // \textit{float}
343
          \mathsf{gpsvalid} = \mathsf{true};
344
          satconectados = gps.satellites.value();
345
          horaagora = gps.time.value();
346
          datahoje = gps.date.value();
347
        }else{gpsvalid = false;}
348
       }
349
                                   ———————Calibra magnetometro
350
       void calibrar_qmc5883(){
351
        compass.setCalibration(-32768, 32767, -32768, 32767, -32768, 32767);
352
        int tempo_final = millis() + 5000; //marca o instante de final da calibracao
353
        max_x = -32768;
354
        min_x = 32767;
355
        max_y = -32768;
356
        min_y = 32767;
357
        //int max\_z = -32768; //Nao e calibrado z, pois nao e usado
358
        //int min_z = 32767;
359
        bool novo_v = false;
360
        bool pronto = false;
361
        x = y = 0; //, z;
362
363
        while(!pronto){
364
         compass.read();
365
          x = compass.getX();
366
         y = compass.getY();
367
          //z = compass.getZ();
368
369
          novo\_v = false;
370
          if (x > max_x)\{max_x = x; novo_v = true;\}
371
          if (x < min_x)\{min_x = x; novo_v = true;\}
372
          if (y > max_y){max_y = y; novo_v = true;}
373
          if (y < min_y)\{min_y = y; novo_v = true;\}
374
375
          \label{eq:arquivo} Arquivo = SD.open("/dados\_calib.txt", FILE\_APPEND, \textit{true});
376
          //Se abriu, acrescenta no arquivo
377
          if(Arquivo) {
378
          //Latitude; Longitude; LatAlvo[p]; lonAlvo[p]; direc; bearing; erro; ESCA_Vel; ESCB_Vel;
379
           Arquivo.print(x);
```

```
380
          Arquivo.print(", ");
381
          Arquivo.print(y);
382
          Arquivo.println("; ");
383
          Arquivo.close();
384
385
         //if(z > max_z) max_z = z; novo_v = true;
386
         //if (z < min_z) min_z = z; novo_v = true;
387
         if (novo_v == true && pronto == false){
388
          tempo_final = millis() + 5000;
389
          novo\_v = false;
390
         }
391
392
         if \; (\mathsf{millis}() > \mathsf{tempo\_final}) \{
393
          pronto = true;
394
          compass.setCalibration(min_x, max_x, min_y, max_y, -32768, 32767);
395
          EEPROM.put(0, min_x >> 8); //Armazena valores de calibracao no EEPROM
396
          EEPROM.put(1, min_x & 0x00FF);
397
          EEPROM.put(2, max_x >> 8);
398
          EEPROM.put(3, max_x & 0x00FF);
399
          EEPROM.put(4, min_y >> 8);
400
          EEPROM.put(5, min_y & 0x00FF);
401
          EEPROM.put(6, max_y >> 8);
402
          EEPROM.put(7, max_y & 0x00FF);
403
          EEPROM.commit();
404
405
          Arquivo = SD.open("/dados_calib.txt", FILE_APPEND,true);
406
          if(Arquivo) {
407
            Arquivo.println("Pronto!");
408
            Arquivo.close();
409
          }
410
         }
411
       }
412
413
414
      void CalculaGraus(){ //Calcula a quantos graus esta do norte geografico (direcao que esta apontando)
415
       compass.read();
416
       x = compass.getX();
417
       y = compass.getY();
418
       direc = atan2(y,x) * 180 / 3.141592653;
419
       direc = direc - declinacao;
420
       if (direc < 0) {
421
         direc += 360;
422
       }
423
      }
424
                                       -----Fazer atividade no ponto
425
      void AtividadePonto(int ponto){
426
```

```
427
        String texto_bomba;
428
        String texto_bme;
429
        String texto_DS18S20;
430
        String texto_GPS;
431
432
        if (PontoLeitura[ponto]){
433
         bme_temperatura = bme.readTemperature();
434
         bme_umidade = bme.readHumidity();
435
         bme_pressao = bme.readPressure() / 100.0F;
436
         sensors.requestTemperatures();
437
         texto_bme = "Temperatura = " + String(bme_temperatura) + " *C, " + "Umidade = " + String(bme_umidade) + " %,
           " + "Pressao = " + String(bme_pressao) + " hPa";
438
         texto\_DS18S20 = "Temperatura \ da \ agua = " + String(sensors.getTempCByIndex(0)) + " *C";
439
440
        }else{
441
         bme\_temperatura = 0;
442
         bme\_umidade = 0;
443
         bme_pressao = 0;
444
         texto_bme = "Dados nao lidos";
445
         texto_DS18S20 = "Dados nao lidos";
446
        }
447
448
        if(PontoColeta[ponto]){
449
         if(bomba1_livre){//Bomba 1 livre
450
           digitalWrite(bomba1, HIGH);
451
           delay(tempo_enchimento);
452
           digitalWrite(bomba1, LOW);
453
           bomba1_livre = false;
454
           texto_bomba = "Reservatorio 1 enchido";
455
         }else if(bomba2_livre){//Bomba 2 livre
456
           digitalWrite(bomba2, HIGH);
457
           delay(tempo_enchimento-500);//desconta 500ms pois a bomba 2 e um pouco mais forte
458
           digitalWrite(bomba2, LOW);
459
           bomba2\_livre = \textbf{false};
460
           texto_bomba = "Reservatorio 2 enchido";
461
           }else if(bomba3_livre){//Bomba 3 livre
462
           digitalWrite(bomba3, HIGH);
463
           delay(tempo_enchimento);
464
           digitalWrite(bomba3, LOW);
465
           bomba3_livre = false;
466
           texto_bomba = "Reservatorio 3 enchido";
467
         }else if(bomba4_livre){//Bomba 4 livre
468
           digitalWrite(bomba4, HIGH);
469
           delay(tempo_enchimento);
470
           digitalWrite(bomba4, LOW);
471
           bomba4_livre = false;
472
           texto_bomba = "Reservatorio 4 enchido";
473
         }else{
474
           texto_bomba = "Todos os reservatorios cheios, nenhum enchido";
```

```
475
        }}else{
476
         texto_bomba = "Amostra nao coletada";
477
478
        leGPS();
479
        texto_GPS = "Latitude, Longitude: " + String(Latitude,7) + ", " + String(Longitude,7);
480
        Arquivo = SD.open("/resultados.txt", FILE_APPEND,true);
481
       //Se abriu, acrescenta no arquivo
482
        if(Arquivo) {
483
          Arquivo.println("Ponto de controle");
484
          Arquivo.print(datahoje);
485
          Arquivo.print("; ");
486
          Arquivo.print(horaagora);
487
          Arquivo.println("; ");
488
          Arquivo.println(texto\_GPS);
489
          Arquivo.println(texto_bme);
490
          Arquivo.println(texto\_DS18S20);
491
          Arquivo.println(texto\_bomba);\\
492
          Arquivo.println("
            );
493
          Arquivo.close();
494
495
496
            u8g2.firstPage();
497
          do{
498
            u8g2.setFont(u8g2\_font\_7x14B\_tf);
499
            u8g2.drawStr(1,15,"Dados armazenados");
500
            u8g2.drawStr(29,30," no cartao");
501
502
           \} \textbf{while} (u8g2.nextPage());
503
           delay(2000);
504
505
        }else{
506
507
          u8g2.firstPage();
508
          do{
509
            u8g2.setFont(u8g2\_font\_7x14B\_tf);
510
            u8g2.drawStr(4,15,"Erro ao gravar dados");
511
             u8g2.drawStr(4,30,"Verifique o cartao");
512
513
           }while(u8g2.nextPage());
514
           delay(2000);
515
        }
516
       }
517
                                                                    ----Funcao Navegar
518
       void Navegar(){
519
520 | leGPS();
```

```
521
      if(gpsvalid){
522
523
       LatAlvo[PontosLidos] = Latitude; //Armazena o ponto atual como ultimo ponto (verificar depois de deixar como opcional)
524
       {\sf LonAlvo[PontosLidos]} = {\sf Longitude};
525
       velocidade_atual = 100 * percentualV/100;
526
527
       for (p = 0; p \le PontosLidos; p++){
528
       velocidade_atual = 100 * percentualV/100;
529
        do{
530
531
         leGPS();
532
          CalculaGraus();
533
          CalcDirecDist(Latitude,Longitude, LatAlvo[p], LonAlvo[p]); //retorna distancia e angulo do alvo
534
          CalculaPIDDirec();
535
          LogSD();
536
          if(digitalRead(btn_3) == LOW){}
537
           parar_motores();
538
           TelaAtual=0;
539
           percursoConcluido = true;
540
           distancia = precisao-1;
541
           p = PontosLidos+1;
542
          }
543
        if(millis() - last\_time\_disp > 300){//roda a cada 300ms}
544
          u8g2.firstPage();
545
          do{ //mostra status no display
546
           u8g2.setFont(u8g2\_font\_7 \times 14B\_tf);
547
           u8g2.drawStr(16,15,"Atual \mid Alvo");
548
           u8g2.setCursor(110, 15);
549
           u8g2.print(p);//Indica qual ponto esta como alvo
550
           u8g2.setFont(u8g2_font_squeezed_r6_tr);
551
           u8g2.setCursor(1, 23);
552
           u8g2.print(Latitude,8); //Coordenada atual Lat
553
           u8g2.setCursor(60, 23);
554
           u8g2.print("|");
555
           u8g2.setCursor(65, 23);
556
           u8g2.print(LatAlvo[p],8); //coordenada alvo Lat
557
           u8g2.setCursor(1, 31);
558
           u8g2.print(Longitude,8); //Coordenada atual Lon
559
           u8g2.setCursor(60, 31);
560
           u8g2.print("|");
561
           u8g2.setCursor(65, 31);
562
           u8g2.print(LonAlvo[p],8); //coordenada alvo Lon
563
           u8g2.setCursor(1, 38);
564
           u8g2.print(direc,3); //mostra direcao apontada
565
           u8g2.setCursor(60, 38);
566
           u8g2.print("|");
567
           u8g2.setCursor(65, 38);
568
           u8g2.print(bearing,3); //mostra direcao que deve apontar
569
           u8g2.setFont(u8g2\_font\_7 \times 14\_tf);
```

```
570
           u8g2.setCursor(1, 53);
571
           u8g2.print(distancia,1); //mostra distancia em metros
572
           u8g2.setCursor(86, 53);
573
           u8g2.print("metros");
574
           u8g2.setFont(u8g2_font_squeezed_r6_tr);
575
           u8g2.setCursor(10, 64);
576
           u8g2.print(ESCB_Vel);
577
           u8g2.setCursor(86, 64);
578
           u8g2.print(ESCA_Vel);
579
          }while(u8g2.nextPage());
580
           last\_time\_disp = millis();
581
           }
582
        \ while(distancia>precisao); //Fazer enquanto a distancia do ponto for maior que 10m
583
        parar_motores();
584
        AtividadePonto(p);
585
        if(p >= PontosLidos){
586
          percurso Concluido = \textbf{true}; \ //Sinaliza \ que \ a \ navegacao \ terminou
587
        }
588
       }
589
590
       }else{
591
          u8g2.firstPage();
592
593
           u8g2.setFont(u8g2\_font\_7x14B\_tf);
594
           u8g2.drawStr(1,15,"GPS invalido");
595
           u8g2.drawStr(1,30,"Sats conectados");
596
           u8g2.setCursor(110,30);
597
           u8g2.print(satconectados);
598
           \\ while (u8g2.nextPage());
599
      }
600
      }
601
602
                                                                          ----Mostra Tela
603
       void MostraTela(){
604
        switch (TelaAtual){
605
          case 0: //Tela inicial (menu) OK
606
           u8g2.setBitmapMode(1); //faz os bitmaps transparentes
607
           u8g2.firstPage();
608
           do{
609
             //Item Anterior
610
             u8g2.setFont(u8g2\_font\_7x14\_tf);
611
             u8g2.drawStr(26,15,menu_items[item_ant]);
612
             u8g2.drawBitmap(4,2,16/8,16, Bitmap_Icons[item_ant]); //Desenha Icone (0)
613
             //Item Selecionado
614
             u8g2.setFont(u8g2\_font\_7 \times 14B\_tf);
615
             u8g2.drawStr(26,37,menu\_items[item\_sel]);\\
616
             u8g2.drawBitmap(4,24,16/8,16, Bitmap_Icons[item_sel]); //Desenha Icone (1)
617
             //Item Posterior
```

```
618
             u8g2.setFont(u8g2\_font\_7 \times 14\_tf);
619
             u8g2.drawStr(26,59,menu\_items[item\_pos]);\\
620
             u8g2.drawBitmap(4,46,16/8,16, Bitmap_Icons[item_pos]); //Desenha Icone (2)
621
             u8g2.drawBitmap(0,22,128/8,21,\ epd\_bitmap\_BordaSelec);\ //Desenha\ selecionado
622
             //u8g2.drawBitmap(120,0,8/8,64, epd_bitmap_BarraRolagem); //Desenha Barra de rolagem (Nao implementado)
623
           }while(u8g2.nextPage());
624
625
           break;
626
627
          case 1: //Calibra Magnetometro
628
           u8g2.firstPage();
629
           do{
630
             u8g2.setFont(u8g2\_font\_7x14\_tf);\\
631
             u8g2.drawStr(4,15,"A calibrar em");
632
             u8g2.drawStr(4,37,"5 segundos");
633
           }while(u8g2.nextPage());
634
           delay(5000);
635
           u8g2.firstPage();
636
           do{
637
             {\sf u8g2.drawStr(4,15,"Calibrando")};\\
638
           }while(u8g2.nextPage());
639
           calibrar_qmc5883();//Chama a funcao para calibrar
640
           u8g2.firstPage();
641
           do{
642
             u8g2.drawStr(4,15,"Calibrando");
643
             u8g2.drawStr(4,37,"Pronto!");
644
           }while(u8g2.nextPage());
645
           delay(2000);
646
           TelaAtual = 0; //volta para o menu principal
647
           break;
648
649
          case 2: //GPS
650
             leGPS();
651
             CalcDirecDist(Latitude, Longitude,\ LatAlvo[coordenada],\ LonAlvo[coordenada]);
652
             u8g2.firstPage();
653
           do{
654
             u8g2.setFont(u8g2\_font\_squeezed\_r6\_tr);\\
655
             u8g2.drawStr(1,8,"Latitude / Longitude Atual");
656
             u8g2.setCursor(0, 16);
657
             u8g2.print(Latitude,6);
658
             u8g2.setCursor(52, 16);
659
             u8g2.print("/");
660
             u8g2.setCursor(60, 16);
661
             u8g2.print(Longitude,6);
662
             u8g2.drawStr(1,24,"Latitude / Longitude Alvo");
663
             u8g2.setCursor(0,32);
664
             u8g2.print(LatAlvo[coordenada],6);
665
             u8g2.setCursor(52, 32);
666
             u8g2.print("/");
```

```
667
             u8g2.setCursor(60, 32);
668
             u8g2.print(LonAlvo[coordenada],6);
669
             u8g2.drawStr(1,40,"Mag Alvo / Mag Atual");
670
             u8g2.setCursor(0,48);
671
             u8g2.print(bearing,3);
672
             u8g2.setCursor(52, 48);
673
             u8g2.print("/");
674
             u8g2.setCursor(60, 48);
675
             u8g2.print(direc,3);
676
             u8g2.setCursor(60, 56);
677
             u8g2.print(coordenada);
678
           }while(u8g2.nextPage());
679
           break;
680
681
          case 3: //teste magnetometro
682
             u8g2.firstPage();
683
           \text{do}\{
684
             u8g2.setFont(u8g2\_font\_7 \times 14B\_tf);
685
             u8g2.drawStr(4,15,"Apontando para");
686
             u8g2.setCursor(4, 37);
687
             u8g2.print(direc);
688
           }while(u8g2.nextPage());
689
           CalculaGraus();
690
           break;
691
692
693
          case 4: //Iniciar
694
          if(PontosLidos == 0){
695
             u8g2.firstPage();
696
           do{
697
             u8g2.setFont(u8g2\_font\_7x14B\_tf);
698
             u8g2.drawStr(29,15,"SEM DADOS!");
699
             u8g2.setFont(u8g2\_font\_7 \!\!\times\! \! 14\_tf);
700
             u8g2.drawStr(4,34,"Reinsira o cartao");
701
             u8g2.drawStr(15,49,"com os dados e");
702
             u8g2.drawStr(2,64,"reinicie o sistema");
703
           }while(u8g2.nextPage());
704
705
          if(!percursoConcluido){
706
           Navegar();
707
           }else{
708
             u8g2.firstPage();
709
           do{
710
             u8g2.setFont(u8g2\_font\_7x14B\_tf);
711
             u8g2.drawStr(4,15,"Percurso");
712
             u8g2.drawStr(47,30,"Finalizado!");
713
             u8g2.setFont(u8g2\_font\_7 \!\!\times\! \! 14\_tf);
714
             u8g2.drawStr(1,47,"Reinicie o sistema");
715
             u8g2.drawStr(22,62,"para refazer");
```

```
716
           }while(u8g2.nextPage());
717
        }}
718
           break;
719
720
          case 5: //Tela ler coordenadas do cartao SD
721
             u8g2.firstPage();
722
723
             u8g2.setFont(u8g2\_font\_7 \times 14B\_tf);
724
             u8g2.drawStr(4,15,"Lendo...");
725
           }while(u8g2.nextPage());
726
727
           delay(500);
728
729
           if(LerCoordenadas()){
730
              u8g2.firstPage();
731
           \text{do}\{
732
             u8g2.setFont(u8g2\_font\_7 \! \times \! 14B\_tf);\\
733
             u8g2.drawStr(4,15,"Coordenadas lidas");
734
             u8g2.setCursor(4, 37);
735
             u8g2.print(PontosLidos);
736
             u8g2.print(" pontos");
737
           }while(u8g2.nextPage());
738
           }else{
739
              u8g2.firstPage();
740
             do{
741
              u8g2.setFont(u8g2\_font\_7x14B\_tf);
742
              u8g2.drawStr(1,15,"Falha na leitura");
743
              u8g2.drawStr(1,30,"Verifique o cartao");
744
             }while(u8g2.nextPage());
745
           }
746
           TelaAtual = 0;
747
           delay(2000);
748
           break;
749
750
          case 6: //Ajuste manual motor 1
751
              u8g2.setBitmapMode(1); //faz os bitmaps transparentes
752
              u8g2.firstPage();
753
              do{
754
                u8g2.drawBitmap(4,2,16/8,16, Bitmap_Icons[5]); //Desenha Icone turbina 1
755
                u8g2.setFont(u8g2\_font\_7 \times 14B\_tf);
756
                u8g2.drawStr(26,15,"Vel Motor 1");
757
                u8g2.setCursor(50, 37);
758
                u8g2.print(ESCA_Vel);
759
                u8g2.drawBitmap(0,43,128/8,21, epd_bitmap_BordaSelec);
760
                u8g2.drawBox(4,45,map(ESCA_Vel, 0, 180, 0,114),16);
761
              }while(u8g2.nextPage());
762
           break;
763
764
          case 7: //Ajuste manual motor 2
```

```
765
               u8g2.setBitmapMode(1); //faz os bitmaps transparentes
766
               u8g2.firstPage();
767
               do{
768
                u8g2.drawBitmap(4,2,16/8,16, Bitmap_lcons[6]); //Desenha lcone turbina 2
769
                u8g2.setFont(u8g2\_font\_7 \times 14B\_tf);
770
                u8g2.drawStr(26,15,"Vel Motor 2");
771
                u8g2.setCursor(50, 37);
772
                u8g2.print(ESCB_Vel);
773
                u8g2.drawBitmap(0,43,128/8,21, epd_bitmap_BordaSelec);
774
                u8g2.drawBox(4,45,map(ESCB_Vel, 0, 180, 0,114),16);
775
               }while(u8g2.nextPage());
776
           break;
777
778
          case 8: //nave
779
          \mathsf{bearing} = \mathsf{50};
780
           if(\mathsf{millis}()-\mathsf{last\_time\_disp} > 300) \{//\mathit{roda\ a\ cada\ 300ms}
781
           u8g2.firstPage();
782
           do{
783
             u8g2.setFont(u8g2\_font\_7x14B\_tf);
784
             u8g2.drawStr(1,15,"Menu teste");
785
             u8g2.setCursor(1, 30);
786
             u8g2.print(bearing);
787
             u8g2.setCursor(48, 30);
788
             u8g2.print(direc);
789
             u8g2.setCursor(4, 45);
790
             u8g2.print(ESCA_Vel);
791
             u8g2.setCursor(35, 45);
792
             u8g2.print(ESCB_Vel);
793
             u8g2.setCursor(1, 60);
794
             u8g2.print("V");
795
             u8g2.setCursor(8, 60);
796
             u8g2.print(percentualV);
797
             u8g2.setCursor(32, 60);
798
             u8g2.print("PID");
799
             u8g2.setCursor(56, 60);
800
             u8g2.print(percentualP);
801
             u8g2.setCursor(80, 60);
802
             u8g2.print(percentualI);
803
             u8g2.setCursor(104, 60);
804
             u8g2.print(percentualD);
805
           }while(u8g2.nextPage());
806
           last\_time\_disp = millis();
807
           }
808
           //Escreve os valores nos ESCs
809
             CalculaGraus();
810
             CalculaPIDDirec();
811
             if(aux){
```

```
812
                               TextoLog = String(millis()) + "; " + String(proporcional) + "; " + String(integral) + "; " + String(derivativo) 
                          + String(saida) + "; " + String(direc) + "; " + String(bearing) + "; " + String(erro) + "; " + String(ESCA_Vel) + ";
                          " + String(ESCB_Vel) + ";";
813
                            Arquivo = SD.open("/logparado.txt", FILE\_APPEND, true);
814
                            if(Arquivo) {
815
                            Arquivo.println(TextoLog);
816
                            Arquivo.close();
817
                           }}
818
                           aux = !aux;
819
820
                        break;
821
822
                     case 9://Tela de informacoes
823
                           u8g2.firstPage();
824
                        do{
825
                            u8g2.setFont(u8g2\_font\_7x14B\_tf);
826
                            u8g2.drawStr(1,15,"Veiculo Autonomo");
827
                            u8g2.drawStr(1,30,"de Superficie");
828
                            u8g2.setFont(u8g2\_font\_7 \times 14\_tf);
829
                            u8g2.drawStr(1,45,"Trab Conc Curso");
830
                            u8g2.drawStr(1,60,"Jhonatas WG Moraes");
831
                        }while(u8g2.nextPage());
832
                        break;
833
834
                     case 10: //Ajuste V
835
                               u8g2.setBitmapMode(1); //faz os bitmaps transparentes
836
                               u8g2.firstPage();
837
                               do{
838
                                  u8g2.drawBitmap(4,2,16/8,16, Bitmap_Icons[9]);
839
                                  u8g2.setFont(u8g2\_font\_7 \times 14B\_tf);\\
840
                                  u8g2.drawStr(26,15,"Ajuste Vel.");
841
                                  u8g2.setCursor(50, 37);
842
                                  u8g2.print(percentualV);
843
                                  u8g2.drawBitmap(0,43,128/8,21,\ epd\_bitmap\_BordaSelec);
844
                                  u8g2.drawBox(4,45,map(percentualV, 0, 100, 0,114),16);
845
                               }while(u8g2.nextPage());
846
                        break;
847
848
                     case 11: //Ajuste P
849
                               u8g2.setBitmapMode(1); //faz os bitmaps transparentes
850
                               u8g2.firstPage();
851
                               do{
852
                                  u8g2.drawBitmap(4,2,16/8,16, Bitmap_Icons[10]);
853
                                  u8g2.setFont(u8g2\_font\_7 \times 14B\_tf);
854
                                  u8g2.drawStr(26,15,"Ajuste P");
855
                                  u8g2.setCursor(50, 37);
856
                                  u8g2.print(percentualP);
857
                                  u8g2.drawBitmap(0,43,128/8,21, epd_bitmap_BordaSelec);
858
                                  u8g2.drawBox(4,45,map(percentualP, 0, 100, 0,114),16);
```

```
859
              }while(u8g2.nextPage());
860
           break;
861
862
           case 12: //Ajuste I
863
              u8g2.setBitmapMode(1); //faz os bitmaps transparentes
864
              u8g2.firstPage();
865
866
                u8g2.drawBitmap(4,2,16/8,16, Bitmap_lcons[11]);
867
                u8g2.setFont(u8g2\_font\_7x14B\_tf);
868
                u8g2.drawStr(26,15,"Ajuste I");
869
                u8g2.setCursor(50, 37);
870
                u8g2.print(percentualI);
871
                u8g2.drawBitmap(0,43,128/8,21,\ epd\_bitmap\_BordaSelec);
872
                u8g2.drawBox(4,45,map(percentualI, 0, 100, 0,114),16);
873
              }while(u8g2.nextPage());
874
           break;
875
876
           case 13: //Ajuste D
877
              u8g2.setBitmapMode(1); \ /\!/\mathit{faz} \ os \ bitmaps \ transparentes
878
              u8g2.firstPage();
879
              do{
880
                u8g2.drawBitmap(4,2,16/8,16, Bitmap_Icons[12]);
881
                u8g2.setFont(u8g2\_font\_7 \times 14B\_tf);
882
                u8g2.drawStr(26,15,"Ajuste D");
883
                u8g2.setCursor(50, 37);
884
                u8g2.print(percentualD);
885
                u8g2.drawBitmap(0,43,128/8,21, epd\_bitmap\_BordaSelec);
886
                u8g2.drawBox(4,45,map(percentualD, 0, 100, 0,114),16);
887
              \\ while (u8g2.nextPage());
888
           break;
889
890
891
          default://Caso alguma tela ainda nao implementada
892
           TelaAtual = 0;
893
           break;
894
        }
895
       }
896
897
                                                                                                                            OK
898
       void setup(void) {
899
900
        //Inicializa diplay, bme e cartao SD
901
        u8g2.begin();
902
        bme.begin(0 \times 76);
903
        SD.begin(10);
904
        //Inicializa portas seriais (Serial0 = USB; Serial2 = GPS)
905
        Serial.begin(115200);
906
        Serial2.begin(9600);
```

```
907
        //Inicializa EEPROM e carrega os parametros de calibracao do magnetometro
908
        EEPROM.begin(EEPROM_SIZE);
909
        min_x = EEPROM.read(0) < < 8 | EEPROM.read(1);
910
       max\_x = EEPROM.read(2) << 8 | EEPROM.read(3);
911
        min_y=EEPROM.read(4)<<8|EEPROM.read(5);
912
        max_y=EEPROM.read(6)<<8|EEPROM.read(7);
913
        percentualP = EEPROM.read(8); //Carrega valores P
914
        percentualI = EEPROM.read(9); //Carrega valores I
915
        percentualD = EEPROM.read(10); //Carrega valores D
916
       percentualV = EEPROM.read(11); //Carrega valores Velocidade
917
        //Inicializa o magnetometro e aplica os parametros de calibracao carregados da EEPROM (Apenas valores de x e y sao
           importantes)
918
       compass.init();
919
       compass.setCalibration(min\_x, \ max\_x, \ min\_y, \ max\_y, \ -32768, \ 32767);
920
        //Prepara os pinos de entrada para os botoes
921
       pinMode(btn_1, INPUT_PULLUP);
922
        pinMode(btn_2, INPUT_PULLUP);
923
        pinMode(btn_3, INPUT_PULLUP);
924
       pinMode(bomba1, OUTPUT);
925
        pinMode(bomba2, OUTPUT);
926
        pinMode(bomba3, OUTPUT);
927
        pinMode(bomba4, OUTPUT);
928
       TelaAtual = 0;
929
930
        //Prepara os paramtros dos ESCs conectados
931
        ESP32PWM::allocateTimer(0);
932
        ESP32PWM::allocateTimer(1);
933
                                   // Standard 50hz servo
        ESCA.setPeriodHertz(50);
934
        ESCB.setPeriodHertz(50);
                                   // Standard 50hz servo
935
        ESCA.attach(ESCA_Pin, minUs, maxUs);
936
        ESCB.attach(ESCB_Pin, minUs, maxUs);
937
938
       delay(1000);
939
        ESCA_Vel = 90; //velocidade inicial dos ESCs (ponto "zero", meio do curso)
940
        \mathsf{ESCB\_Vel} = 90;
941
        ESCA.write(ESCA_Vel);
942
        ESCB.write(ESCB_Vel);
943
944
        //Inicializa cartao SD
945
       Serial.println("Inicializando cartao SD...");
946
       if (!SD.begin(CS)) {
947
         Serial.println("Falha na inicializacao! Verificar os cabos e o cartao.");
948
         return;
949
       }
950
951
       Serial.println("Inicializado.");
952
953
```

```
954
        void loop(void) {
 955
        //Splash Screen
 956
         if(StartScreen){
 957
           u8g2.firstPage();
 958
 959
            u8g2.drawBitmap(0,0,128/8,64, epd_bitmap_StartScreen); //Desenha selecionado
 960
           }while(u8g2.nextPage());
 961
           delay(2000);
 962
           StartScreen = false;
 963
         }
 964
 965
        //Comandos para botao 1 (desce)
 966
         if((digitalRead(btn_1) == LOW)\&\&(btn_1\_clic == 0)){}
 967
           if(TelaAtual == 0){
 968
            \mathsf{item\_sel} = \mathsf{item\_sel}{-1};
 969
            if(item\_sel < 0)\{item\_sel = NUM\_ITENS-1;\}
 970
           else if(TelaAtual == 6){
 971
            ESCA_Vel-= 10;//10
 972
            if(ESCA\_Vel<0){ESCA\_Vel=0;}
 973
            ESCA.write(180-ESCA_Vel);
 974
           }else if(TelaAtual == 7){
 975
            ESCB_Vel-= 10;//10
 976
            if(ESCB_Vel<0){ESCB_Vel=0;}
 977
 978
            ESCB.write(180-ESCB_Vel);
 979
           }else if(TelaAtual == 2){
 980
              coordenada = coordenada - 1;
 981
              if(coordenada < 0)\{coordenada = PontosLidos;\}
 982
           }else if(TelaAtual == 10){//Ajusta V
 983
            percentualV=1;
 984
            if(percentualV < 0)\{percentualV = 0;\}
 985
           else if(TelaAtual == 11){//Ajusta P}
 986
            percentualP-= 1;
 987
            if(percentualP < 0)\{percentualP = 0;\}
 988
           else if(TelaAtual == 12){//Ajusta P}
 989
            percentualI = 1;
 990
            if(percentualI < 0)\{percentualI = 0;\}
 991
           else if(TelaAtual == 13){//Ajusta P}
 992
            percentual D = 1;
 993
            if(percentualD < 0)\{percentualD = 0;\}
 994
 995
           btn_1\_clic = 1;
 996
 997
        //Comandos para botao 2 (sobe)
 998
         if((digitalRead(btn_2) == LOW)\&\&(btn_2\_clic == 0)){}
 999
           if(TelaAtual == 0){
1000
            \mathsf{item\_sel} = \mathsf{item\_sel} {+} 1;
1001
            if(item\_sel >= NUM\_ITENS)\{item\_sel = 0;\}
1002
           else if(TelaAtual == 6){
```

```
1003
             ESCA_Vel += 10;//10
1004
            if(ESCA\_Vel > 180){ESCA\_Vel = 180;}
1005
             ESCA.write(180-ESCA_Vel);
1006
           else if(TelaAtual == 7)
1007
             ESCB_Vel += 10;
1008
             if(ESCB\_Vel > 180){ESCB\_Vel = 180;}
1009
             ESCB.write(180-ESCB_Vel);
1010
           else if(TelaAtual == 2)
1011
              coordenada = coordenada+1;
1012
              if(coordenada >= PontosLidos)\{coordenada = 0;\}
1013
           }else if(TelaAtual == 10){//Ajusta Vmax
1014
             percentualV += 1;
1015
             \textbf{if}(\mathsf{percentualV} > \mathsf{Vmax})\{\mathsf{percentualV} = \mathsf{Vmax};\}
1016
           }else if(TelaAtual == 11){//Ajusta P
1017
             percentualP += 1;
1018
             if(percentualP > 100){percentualP = 100;}
1019
           }else if(TelaAtual == 12){//Ajusta\ I}
1020
             percentual += 1;
1021
             \textbf{if}(\mathsf{percentuall} > 100) \{\mathsf{percentuall} = 100;\}
1022
           }else if(TelaAtual == 13){//Ajusta D
1023
             percentualD += 1;
1024
             if(percentualD > 100){percentualD = 100;}
1025
1026
1027
           btn_2\_clic = 1;
1028
1029
        //Comandos para botao 3 (entra)
1030
         if((digitalRead(btn_3) == LOW)\&\&(btn_3\_clic == 0)){}
1031
1032
           if(TelaAtual == 0){
1033
           switch (item_sel)
1034
           {
1035
           case 0:
1036
             TelaAtual = 1;
1037
            break;
1038
1039
           case 1:
1040
             TelaAtual = 2;
1041
            break;
1042
1043
           case 2:
1044
             TelaAtual = 3;
1045
             break;
1046
1047
           case 3:
1048
             TelaAtual = 4:
1049
             break;
1050
1051
           case 4:
```

```
1052
            TelaAtual = 5;
1053
            break;
1054
1055
           case 5:
1056
            TelaAtual = 6;
1057
            break;
1058
1059
           case 6:
1060
            TelaAtual = 7;
1061
            break;
1062
           case 7:
1063
            TelaAtual = 8;
1064
            break;
1065
           case 8:
1066
            TelaAtual = 9;
1067
            break;
1068
1069
            case 9:
1070
            TelaAtual = 10;
1071
            break;
1072
1073
            case 10: //Ajuste P
1074
            TelaAtual = 11;
1075
            break;
1076
1077
            case 11: //Ajuste I
1078
            TelaAtual = 12;
1079
            break:
1080
1081
            case 12: //Ajuste D
1082
            TelaAtual = 13;
1083
            break;
1084
1085
           default:
1086
            TelaAtual = 0;
1087
            break;
1088
1089
           }else if(TelaAtual == 4 || TelaAtual == 8){
1090
            parar_motores();
1091
            u8g2.firstPage();
1092
            do{
1093
              u8g2.setFont(u8g2\_font\_7x14B\_tf);
1094
              u8g2.drawStr(1,15,"Motores parados");
1095
            \} while (u8g2.nextPage());
1096
            delay(2000);
1097
            TelaAtual = 0;
1098
           \} \textbf{else if} (\mathsf{TelaAtual} == 10) \{
1099
            EEPROM.put(11, percentualV);
1100
            EEPROM.commit();
```

```
1101
              u8g2.firstPage();
1102
              do{
1103
               u8g2.setFont(u8g2\_font\_7x14B\_tf);
1104
               u8g2.drawStr(1,15,"Ajuste Vmax armazenado");
1105
              \}while(u8g2.nextPage());
1106
              delay(2000);
1107
              TelaAtual = 0;
1108
            }else if(TelaAtual == 11){
1109
              EEPROM.put(8, percentualP);
1110
              EEPROM.commit();
1111
              u8g2.firstPage();
1112
              do{
1113
               u8g2.setFont(u8g2\_font\_7x14B\_tf);\\
1114
               {\tt u8g2.drawStr(1,15,"Ajuste\ P\ armazenado");}
1115
              \\ while (u8g2.nextPage());
1116
              delay(2000);
1117
              TelaAtual = 0;
1118
            }else if(TelaAtual == 12){
1119
              EEPROM.put(9, percentuall);
1120
              EEPROM.commit();
1121
              u8g2.firstPage();
1122
              do{
1123
               u8g2.setFont(u8g2_font_7x14B_tf);
1124
               u8g2.drawStr(1,15,"Ajuste I armazenado");
1125
              }while(u8g2.nextPage());
1126
              delay(2000);
1127
              TelaAtual = 0;
1128
            }else if(TelaAtual == 13){
1129
              EEPROM.put(10, percentualD);
1130
              EEPROM.commit();
1131
              u8g2.firstPage();
1132
              do{
1133
               u8g2.setFont(u8g2_font_7x14B_tf);
1134
               {\sf u8g2.drawStr(1,15,"Ajuste\ D\ armazenado");}
1135
              }while(u8g2.nextPage());
1136
              delay(2000);
1137
              TelaAtual = 0;
1138
            }else{
1139
            TelaAtual = 0;
1140
          }
1141
            btn_3_clic = 1;
1142
          }
1143
1144
         //Debounce dos botoes
1145
         if((\mathsf{digitalRead}(\mathsf{btn}\_1) == \mathsf{HIGH})\&\&(\mathsf{btn}\_1\_\mathsf{clic} == 1))\{\mathsf{btn}\_1\_\mathsf{clic} = 0;\}
1146
         if((digitalRead(btn\_2) == HIGH)\&\&(btn\_2\_clic == 1))\{btn\_2\_clic = 0;\}
1147
         if((\mathsf{digitalRead}(\mathsf{btn}\_3) == \mathsf{HIGH})\&\&(\mathsf{btn}\_3\_\mathsf{clic} == 1))\{\mathsf{btn}\_3\_\mathsf{clic} = 0;\}
1148
         //Corrige os limites da tela inicial
1149
         item\_ant = item\_sel-1;
```

```
if(item_ant<0){item_ant = NUM_ITENS-1;}
item_pos = item_sel+1;
if(item_pos >= NUM_ITENS){item_pos = 0;}

MostraTela(); //usa a funcao para mostrar dados no display, e as funcoes do display para executar as operacoes
}
```

```
1
                                        /*Codigo auxiliar dos bitmaps
         2
                                      Jhonatas Willian Gonçalves de Moraes
         3
                                        Trabalho de Conclusao de Curso
         4
                                        Universidade Tecnologica Federal do Parana
         5
                                        Campus Apucarana
         6
                                        Engenharia Eletrica*/
         7
         8
                                        // 'StartScreen', 128x64px
        9
                                     const unsigned char epd_bitmap_StartScreen [] PROGMEM = {
10
                                               0x00, 0x00,
11
                                               0 \times 00, \ 0 \times 
12
                                                0 \times 00, 0 \times 
13
                                                14
                                                15
                                                0 \times 00, 0 \times 01, 0 \times c0, 0 \times 00, 0 \times 
16
                                                17
                                                0\times00,\ 0\times00,\ 0\times00,\ 0\times00,\ 0\times00,\ 0\times00,\ 0\times00,\ 0\times00,\ 0\times1c,\ 0\timesc0,\ 0\times00,\ 0\times00,\ 0\times00,\ 0\times01,\ 0\timesc0,\ 0\times00,
18
                                                0x00, 0x00, 0x07, 0x00, 0x00, 0x00, 0x00, 0x00, 0x1c, 0xc7, 0xc3, 0x87, 0xc6, 0x71, 0xc3, 0xe0,
19
                                                0x00, 0x00, 0x0b, 0x00, 0x00, 0x00, 0x00, 0x00, 0x00, 0x1c, 0xce, 0xe3, 0x8e, 0xe6, 0x71, 0xc6, 0x70,
20
                                                0x00, 0x00, 0x0b, 0x80, 0x00, 0x00, 0x00, 0x00, 0x1c, 0xce, 0x63, 0x8c, 0x66, 0x71, 0xc6, 0x70,
21
                                                0x00, 0x00, 0x0b, 0x80, 0x00, 0x00, 0x00, 0x00, 0x1c, 0xcf, 0xe3, 0x8c, 0x06, 0x71, 0xc6, 0x70,
22
                                                0×00, 0×00, 0×0f, 0×c0, 0×00, 0×00, 0×00, 0×00, 0×1c, 0×cf, 0×e3, 0×8c, 0×06, 0×71, 0×c6, 0×70,
23
                                                0x00, 0x00, 0x17, 0x20, 0x00, 0x00, 0x00, 0x00, 0x1d, 0xce, 0x03, 0x8c, 0x06, 0x71, 0xc6, 0x70,
24
                                                0x00, 0x00, 0x67, 0x38, 0x00, 0x00, 0x00, 0x00, 0x0f, 0x8e, 0x63, 0x8c, 0xe6, 0x71, 0xc6, 0x70,
25
                                                0x00, 0x01, 0x87, 0x70, 0x00, 0x00, 0x00, 0x00, 0x07, 0x07, 0x03, 0x87, 0xc3, 0xe0, 0xe3, 0xe0,
26
                                                0 \times 00, 0 \times 06, 0 \times 1d, 0 \times 60, 0 \times 00, 0 \times 
27
                                                0x00, 0x08, 0x6d, 0x90, 0x00, 0x00,
28
                                                0x00, 0x30, 0xc7, 0xd8, 0x00, 0x00,
29
                                                0x00, 0xc1, 0x0d, 0x54, 0x00, 0x00, 0x00, 0x00, 0x00, 0x00, 0x38, 0x00, 0x00, 0x00, 0x00, 0x00,
30
                                               0x01, 0x07, 0xd5, 0x32, 0x10, 0x00, 0x00, 0x00, 0x00, 0x00, 0x7c, 0x00, 0x00, 0x00, 0x00, 0x00,
31
                                                0 \times 03, \ 0 \times 18, \ 0 \times 64, \ 0 \times 8d, \ 0 \times 6c, \ 0 \times 00, \ 0 \times 01, \ 0 \times f0, \ 0 \times 00, \ 0 \times 
32
                                                0\times0e, 0\times23, 0\timesb0, 0\times02, 0\times86, 0\times00, 0\times03, 0\times98, 0\times00, 0\times70, 0\times00, 0\times00
33
                                                0\times09,\ 0\timesc2,\ 0\times18,\ 0\times03,\ 0\times99,\ 0\times00,\ 0\times03,\ 0\times99,\ 0\timescc,\ 0\timesfc,\ 0\times7c,\ 0\times7e,\ 0\times1f,\ 0\times1f,\ 0\timesc3,\ 0\timese0,\ 
34
                                                0x0b, 0xce, 0x06, 0x0c, 0x21, 0x80, 0x03, 0x99, 0xcc, 0x70, 0xee, 0x77, 0x3b, 0x9f, 0xe7, 0x70,
35
                                                0x07, 0x52, 0xc9, 0xd0, 0xc3, 0x00, 0x03, 0x99, 0xcc, 0x70, 0xce, 0x67, 0x33, 0x9b, 0x67, 0x30,
36
                                                0x09, 0xe6, 0x30, 0x61, 0x04, 0x80, 0x03, 0xf9, 0xcc, 0x70, 0xce, 0x67, 0x33, 0x9b, 0x67, 0x30,
37
                                                0x08, 0xaf, 0x20, 0x86, 0x08, 0x80, 0x03, 0xf9, 0xcc, 0x70, 0xce, 0x67, 0x33, 0x9b, 0x67, 0x30,
38
                                                0x09, 0x7e, 0xc3, 0x08, 0x33, 0x00, 0x03, 0x99, 0xcc, 0x70, 0xce, 0x67, 0x33, 0x9b, 0x67, 0x30,
39
                                                0x07, 0xe0, 0x2c, 0x30, 0x44, 0x00, 0x03, 0x99, 0xcc, 0x70, 0xce, 0x67, 0x33, 0x98, 0x67, 0x30,
40
                                                0×00, 0×00, 0×18, 0×41, 0×88, 0×00, 0×03, 0×98, 0×f8, 0×3c, 0×7c, 0×67, 0×1f, 0×18, 0×63, 0×e0,
41
                                                0\times00,\ 0\times00,\ 0\times61,\ 0\times82,\ 0\times30,\ 0\times00,\ 0\times00,
42
                                                0×00, 0×00, 0×82, 0×0c, 0×40, 0×00, 0×00, 0×00, 0×00, 0×00, 0×00, 0×00, 0×00, 0×00, 0×00, 0×00,
```

```
43
                                                      0x00, 0x01, 0x6c, 0x11, 0x80, 0x00, 0x00,
44
                                                        0×00, 0×01, 0×30, 0×22, 0×00, 0×00, 0×00, 0×00, 0×00, 0×00, 0×00, 0×00, 0×00, 0×00, 0×00, 0×00,
45
                                                        0×00, 0×01, 0×38, 0×cc, 0×00, 0×00, 0×00, 0×00, 0×00, 0×00, 0×00, 0×00, 0×00, 0×00, 0×00, 0×00, 0×00,
46
                                                        0x00, 0x01, 0xaf, 0x10, 0x00, 0x07, 0xe3, 0xe0,
47
                                                        0x00, 0x01, 0xc6, 0x20, 0x00, 0x00, 0x00, 0x00, 0x00, 0x00, 0x00, 0x00, 0x00, 0x0e, 0xe7, 0x70,
48
                                                        0 \times 00, 0 \times 01, 0 \times 24, 0 \times c0, 0 \times 00, 0 \times 
49
                                                        0x00, 0x01, 0xfd, 0x00, 0x0e, 0x67, 0xf0,
50
                                                        0×00, 0×00, 0×27, 0×00, 0×00, 0×00, 0×00, 0×00, 0×00, 0×00, 0×00, 0×00, 0×00, 0×0e, 0×67, 0×f0,
51
                                                        0×00, 0×00, 0×3c, 0×00, 0×00, 0×00, 0×00, 0×00, 0×00, 0×00, 0×00, 0×00, 0×00, 0×00, 0×0e, 0×67, 0×00,
52
                                                        0×00, 0×00, 0×00, 0×00, 0×00, 0×00, 0×00, 0×00, 0×00, 0×00, 0×00, 0×00, 0×00, 0×06, 0×67, 0×30,
53
                                                        0x00, 0x07, 0xe3, 0xe0,
54
                                                        0 \times 00, 0 \times 
55
                                                        0 \times 00, 0 \times 
56
                                                        0 \times 00, 0 \times 
57
                                                        0 \times 00, 0 \times 
58
                                                        0×00, 0×00, 0×00, 0×00, 0×00, 0×1f, 0×00, 0×00, 0×00, 0×00, 0×00, 0×78, 0×c0, 0×01, 0×c0, 0×00,
59
                                                        0\times00,\ 0\times00,\ 0\times00,\ 0\times00,\ 0\times00,\ 0\times33,\ 0\times80,\ 0\times00,\ 0\times00,\ 0\times00,\ 0\times00,\ 0\times00,\ 0\times00,\ 0\times00,\ 0\times00,\ 0\times00,
60
                                                        0x00, 0x00, 0x00, 0x00, 0x00, 0x30, 0x19, 0xcf, 0xc3, 0xe3, 0x38, 0xc0, 0xc3, 0xe1, 0xc3, 0xe0,
61
                                                      0x00, 0x00, 0x00, 0x00, 0x00, 0x30, 0x19, 0xcc, 0xe6, 0x73, 0x79, 0xf8, 0xc7, 0x31, 0xc7, 0x30,
62
                                                        0x00, 0x00, 0x00, 0x00, 0x00, 0x1f, 0x19, 0xcc, 0xe6, 0x73, 0x80, 0xc0, 0xc7, 0x01, 0xc7, 0x30,
63
                                                        0x00, 0x00, 0x00, 0x00, 0x00, 0x03, 0x99, 0xcc, 0xe7, 0xf3, 0x00, 0xc0, 0xc7, 0x01, 0xc7, 0xf0,
64
                                                        0x00, 0x00, 0x00, 0x00, 0x00, 0x03, 0x99, 0xcc, 0xe6, 0x03, 0x00, 0xc0, 0xc7, 0x01, 0xc7, 0x00,
65
                                                        0x00, 0x00, 0x00, 0x00, 0x00, 0x33, 0x99, 0xcc, 0xe6, 0x63, 0x00, 0xc0, 0xc7, 0x31, 0xc7, 0x30,
66
                                                        0x00, 0x00, 0x00, 0x00, 0x00, 0x33, 0x9f, 0x8f, 0xc7, 0xe3, 0x00, 0xc0, 0xc3, 0xf1, 0xc7, 0xf0,
67
                                                        0x00, 0x00, 0x00, 0x00, 0x00, 0x1f, 0x0f, 0x8f, 0xc3, 0xe3, 0x00, 0xc0, 0xc3, 0xe1, 0xc3, 0xe0,
68
                                                        0×00, 0×00, 0×00, 0×00, 0×00, 0×00, 0×00, 0×00, 0×00, 0×00, 0×00, 0×00, 0×00, 0×00, 0×00, 0×00,
69
                                                        0 \times 00, 0 \times 
70
                                                        0 \times 00, 0 \times 
71
                                                      0 \times 00, 0 \times 
72
                                                      0 \times 00, 0 \times 
73
                                                      74
                                             };
75
76
77
78
79
80
                                              // 'Bussolalcon', 16x16px
81
                                             const unsigned char epd_bitmap_Bussolalcon [] PROGMEM = {
82
                                                      0x07, 0xe0, 0x18, 0x98, 0x20, 0x9c, 0x50, 0x3a, 0x48, 0x6a, 0x81, 0xd1, 0x82, 0xa1, 0x87, 0xc7,
83
                                                      0xe5, 0x41, 0x8b, 0x81, 0x97, 0x01, 0x6c, 0x0a, 0x78, 0x06, 0x30, 0x84, 0x18, 0x98, 0x07, 0xe0
84
                                           };
85
                                             // 'GPSIcon', 16x16px
86
                                           const unsigned char epd_bitmap_GPSIcon [] PROGMEM = {
87
                                                      0x40, 0x00, 0x20, 0x00, 0xfc, 0x00, 0x87, 0xc0, 0x7b, 0x70, 0x16, 0x10, 0x0c, 0x18, 0x04, 0x34,
88
                                                     0x3c, 0x47, 0x23, 0xd8, 0x3c, 0xbb, 0x0c, 0x86, 0x1a, 0x81, 0x03, 0x80, 0x00, 0x00, 0x00, 0x00
89
                                             };
90
                                              // 'ItemIco', 16x16px
91
                                          const unsigned char epd_bitmap_ltemlco [] PROGMEM = {
```

```
92
               0x00, 0x00, 0x00, 0x00, 0x30, 0x00, 0x30, 0x00, 0x20, 0x70, 0x1f, 0x90, 0x17, 0x90, 0x17, 0x88,
  93
               0x15, 0x88, 0x17, 0x88, 0x16, 0x08, 0x3f, 0xf8, 0x00, 0x00, 0x00, 0x00, 0x00, 0x00, 0x00, 0x00, 0x00
  94
            };
  95
  96
            // 'Bandeiralcon', 16x16px
  97
            const unsigned char epd_bitmap_Bandeiralcon [] PROGMEM = {
  98
               0x00, 0x3c, 0xf8, 0xc3, 0x67, 0x01, 0x60, 0x01, 0x60, 0x01, 0x60, 0x01, 0x60, 0x01, 0x60, 0x01,
  99
               0x60, 0x3d, 0x78, 0xc3, 0x67, 0x00, 0x60, 0x00, 0x60, 0x00, 0x60, 0x00, 0x60, 0x00, 0x60, 0x00
100
            };
101
             // 'Cartaolcon', 16x16px
102
            const unsigned char epd_bitmap_Cartaolcon [] PROGMEM = {
103
               0x0f, 0xfe, 0x1a, 0xaa, 0x2a, 0xaa, 0x6a, 0xaa, 0xa0, 0x03, 0xa0, 0x03, 0x80, 0x02, 0x40, 0x02,
104
               0x80, 0x02, 0xff, 0xfe
105
            };
106
            // 'Turbinalcon1', 16x16px
107
            const unsigned char epd_bitmap_Turbinalcon1 [] PROGMEM = {
108
               0x07,\ 0xe0,\ 0x1b,\ 0x98,\ 0x22,\ 0x44,\ 0x42,\ 0x22,\ 0x42,\ 0x22,\ 0x82,\ 0x61,\ 0x82,\ 0x41,\ 0x81,\ 
109
               0x9e, 0x61, 0xa1, 0xff, 0xc2, 0xc0, 0x64, 0x4c, 0x58, 0x44, 0x20, 0x44, 0x18, 0x44, 0x07, 0xc4
110
111
             // 'Turbinalcon2', 16x16px
112
            const unsigned char epd_bitmap_Turbinalcon2 [] PROGMEM = {
113
               0x07, 0xe0, 0x1b, 0x98, 0x22, 0x44, 0x42, 0x22, 0x42, 0x22, 0x82, 0x61, 0x82, 0x41, 0x81, 0x81,
114
               0x9e, 0x61, 0xa1, 0xff, 0xc2, 0xc0, 0x64, 0x4e, 0x58, 0x42, 0x20, 0x44, 0x18, 0x48, 0x07, 0xce
115
            };
116
117
             // 'Navelcon', 16x16px
118
            \textbf{const unsigned char } \texttt{epd\_bitmap\_Navelcon} \ [] \ \mathsf{PROGMEM} = \{
119
               0x01, 0x80, 0x01, 0x80, 0x01, 0x80, 0x02, 0x40, 0x02, 0x40, 0x02, 0x40, 0x02, 0x40, 0x02, 0x40, 0x02,
120
               0x85, 0xa1, 0xc9, 0x93, 0xb0, 0x0d, 0x83, 0xc1, 0x80, 0x01, 0x90, 0x09, 0x9e, 0x79, 0xf3, 0xcf
121
            };
122
             // 'Infolcon', 16x16px
123
            \textbf{const unsigned char } \texttt{epd\_bitmap\_Infolcon} \ [] \ \mathsf{PROGMEM} = \{
124
               0x1f,\ 0xf8,\ 0x10,\ 0x08,\ 0x10,\ 0x08,\ 0x1c,\ 0x38,\ 0x04,\ 0x20,\ 0x04,\ 0x20,\ 0x04,\ 0x20,\ 0x04,\ 0x20,
125
               0 \times 04, \ 0 \times 20, \ 0 \times 04, \ 0 \times 20, \ 0 \times 04, \ 0 \times 20, \ 0 \times 10, \ 0 \times 10, \ 0 \times 08, \ 0 \times 10, \ 0 \times 08, \ 0 \times 1f, \ 0 \times f8
126
            };
127
128
             // 'engrenagem', 16×16px
129
            const unsigned char epd_bitmap_engrenagem [] PROGMEM = {
130
               0x01, 0x80, 0x03, 0xc0, 0x1c, 0x38, 0x2f, 0xf4, 0x32, 0x4c, 0x34, 0x2c, 0x59, 0x9a, 0xd2, 0x4b,
131
               0xd2, 0x4b, 0x59, 0x9a, 0x34, 0x2c, 0x32, 0x4c, 0x2f, 0xf4, 0x1c, 0x38, 0x03, 0xc0, 0x01, 0x80
132
             };
133
134
135
             // 'P', 16×16px
136
137
            \textbf{const unsigned char } \texttt{epd\_bitmap\_P} ~ [] ~ \mathsf{PROGMEM} = \{
138
               0x01,\ 0x80,\ 0x03,\ 0xc0,\ 0x1c,\ 0x38,\ 0x2f,\ 0xf4,\ 0x32,\ 0x4c,\ 0x34,\ 0x2c,\ 0x59,\ 0x9a,\ 0xd2,\ 0x4b,
139
               0xd2, 0x4b, 0x59, 0xff, 0x34, 0x40, 0x32, 0x5e, 0x2f, 0xd2, 0x1c, 0x5e, 0x03, 0xd0, 0x01, 0xd0
140 };
```

```
141
                                                      // 'I', 16x16px
142
                                                        const unsigned char epd\_bitmap\_I [] PROGMEM = \{
143
                                                                   0x01, 0x80, 0x03, 0xc0, 0x1c, 0x38, 0x2f, 0xf4, 0x32, 0x4c, 0x34, 0x2c, 0x59, 0x9a, 0xd2, 0x4b,
144
                                                                  0xd2, 0x4b, 0x59, 0xff, 0x34, 0x40, 0x32, 0x5e, 0x2f, 0xcc, 0x1c, 0x4c, 0x03, 0xcc, 0x01, 0xde
145
146
                                                          // 'D', 16x16px
147
                                                        const unsigned char epd_bitmap_D [] PROGMEM = \{
148
                                                                  0x01, 0x80, 0x03, 0xc0, 0x1c, 0x38, 0x2f, 0xf4, 0x32, 0x4c, 0x34, 0x2c, 0x59, 0x9a, 0xd2, 0x4b,
149
                                                                   0xd2, 0xdb, 0x59, 0xff, 0x34, 0x40, 0x32, 0x5c, 0x2f, 0xd2, 0x1c, 0x52, 0x03, 0xd2, 0x01, 0xdc
150
                                                          };
151
152
153
154
                                                          // Array of all bitmaps for convenience. (Total bytes used to store images in PROGMEM = 144)
155
                                                          \textbf{const int} \ \mathsf{epd\_bitmap\_allArray\_LEN} = 13;
156
                                                        \textbf{const unsigned char*} \ \mathsf{Bitmap\_lcons}[13] = \{
157
                                                                   epd_bitmap_Bussolalcon,
158
                                                                   epd_bitmap_GPSIcon,
159
                                                                   epd_bitmap_ItemIco,
160
                                                                     epd_bitmap_Bandeiralcon,
161
                                                                     epd_bitmap_Cartaolcon,
162
                                                                     epd_bitmap_Turbinalcon1,
163
                                                                     epd_bitmap_Turbinalcon2,
164
                                                                     epd_bitmap_Navelcon,
165
                                                                   epd_bitmap_Infolcon,
166
                                                                   epd_bitmap_engrenagem,
167
                                                                   epd_bitmap_P,
168
                                                                   epd_bitmap_I,
169
                                                                   epd_bitmap_D
170
171
172
                                                        };
173
174
175
176
                                                          // 'BarraRolagem', 8x64px
177
                                                        \textbf{const unsigned char } \texttt{epd\_bitmap\_BarraRolagem} \ [] \ \mathsf{PROGMEM} = \{
178
                                                                   0x00, 0x00, 0x02, 0x00,
179
                                                                   180
                                                                   181
                                                                   0 \times 02, \ 0 \times 00, \ \ 0 \times 
182
                                                        };
183
                                                          // 'BordaSelec', 128x21px
184
                                                          const unsigned char epd_bitmap_BordaSelec [] PROGMEM = {
185
                                                                   0x1f, 0xff, 0xfe, 0x00,
186
                                                                   0 \times 20, 0 \times 00, 0 \times 01, 0 \times 00, 0 \times 
187
                                                                   0 \times 40, 0 \times 00, 0 \times 
188
                                                                   0 \times 40, 0 \times 00, 0 \times 
189
                                                                   0 \times 40, 0 \times 00, 0 \times
```

```
190
                                                                                                                                                0 \times 40, 0 \times 00, 0 \times 
191
                                                                                                                                                0\times40,\ 0\times00,\ 0\times01,\ 0\times80,
192
                                                                                                                                                0\times40,\ 0\times00,\ 0\times01,\ 0\times80,
193
                                                                                                                                                0 \times 40,\ 0 \times 00,\ 0 \times 01,\ 0 \times 80,
194
                                                                                                                                                0\times40,\ 0\times00,\ 0\times01,\ 0\times80,
195
                                                                                                                                                0\times40,\ 0\times00,\ 0\times01,\ 0\times80,
196
                                                                                                                                                0 \times 40,\ 0 \times 00,\ 0 \times 01,\ 0 \times 80,
197
                                                                                                                                                0 \times 40, 0 \times 00, 0 \times 01, 0 \times 80, 0 \times 00, 0 \times 
198
                                                                                                                                                0 \times 40, 0 \times 00, 0 \times 01, 0 \times 80, 0 \times 00, 0 \times 
199
                                                                                                                                                0\times40,\ 0\times00,\ 0\times01,\ 0\times80,
200
                                                                                                                                                0 \times 40, 0 \times 00, 0 \times 01, 0 \times 80, 0 \times 00, 0 \times 
201
                                                                                                                                                0 \times 40, 0 \times 00, 0 \times 
202
                                                                                                                                                0 \times 40, 0 \times 00, 0 \times 
203
                                                                                                                                                0 \times 20,\ 0 \times 00,\ 0
204
                                                                                                                                                0x1f, 0xff, 0x00,
   205
                                                                                                                                                0x0f,\ 0xff,\ 
   206
                                                                                                                        };
```